

# **Pohyb buněk a buňkami zprostředkovaný pohyb**

prof. Mgr. Vítězslav Bryja, Ph.D.

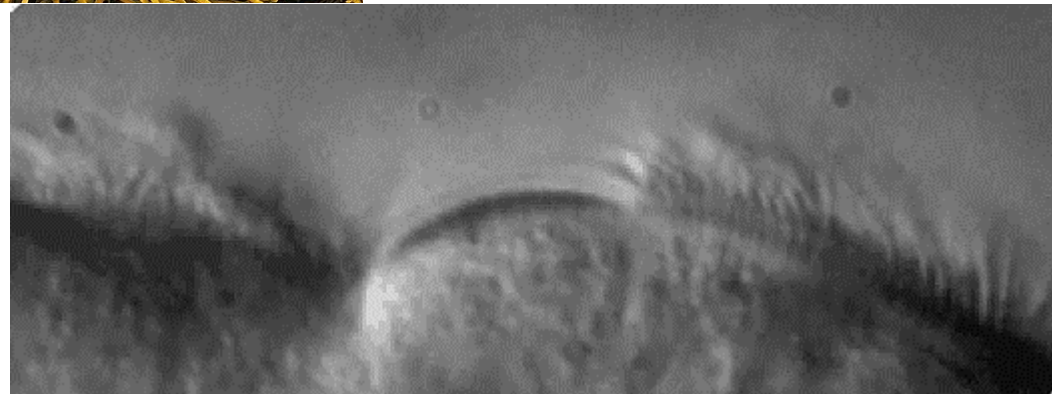
## Obsah

- ▶ Pohyb materiálu vně buněk pomocí pohyblivých cilií
- ▶ Využití aktino-myosinových vztahů pro pohyb svalů a živočichů
- ▶ Pohyb samostatné buňky po povrchu
- ▶ Pohyby organel i buněk v procesu buněčného dělení (mitózy)

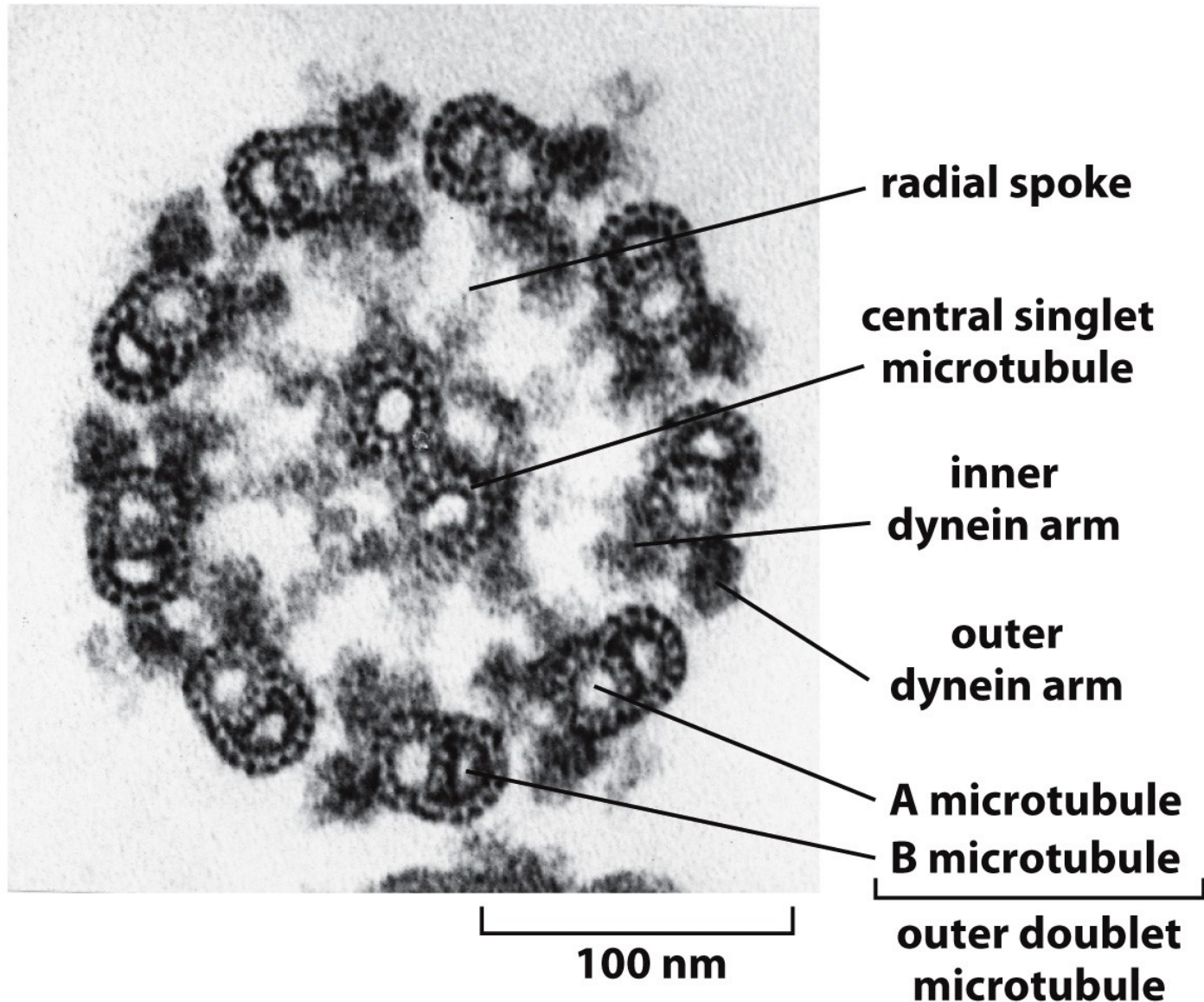
## Pohyb materiálu vně buněk pomocí pohyblivých cilií



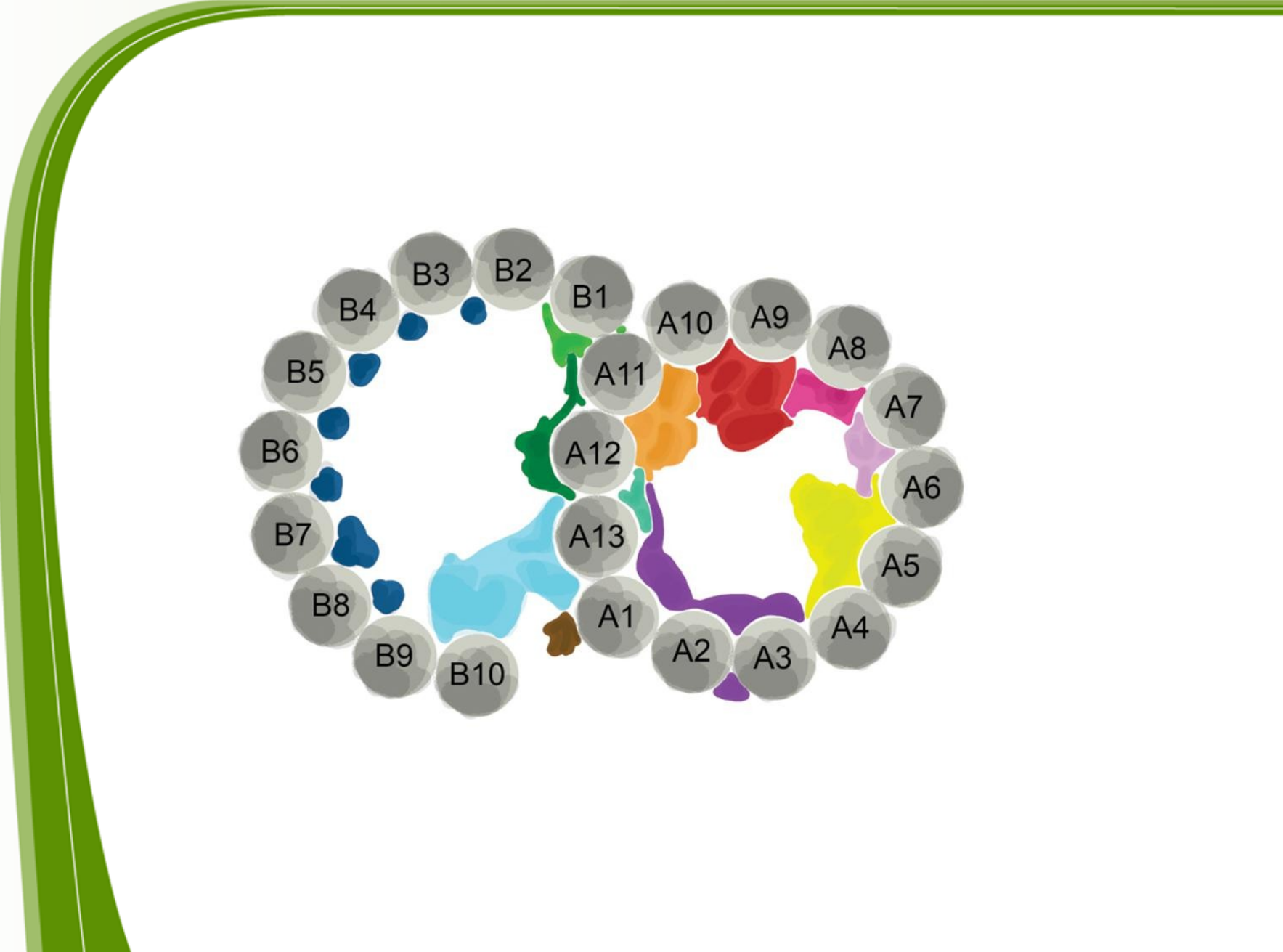
- ▶ Vylučování hlenu v dýchacích cestách
- ▶ Sestup vajíčka ve vejcovodech
- ▶ Proudění mozkomíšního moku v mozkových komorách



# Průřez pohyblivou cilií



# POHYB



# Pohyblivé řasinky

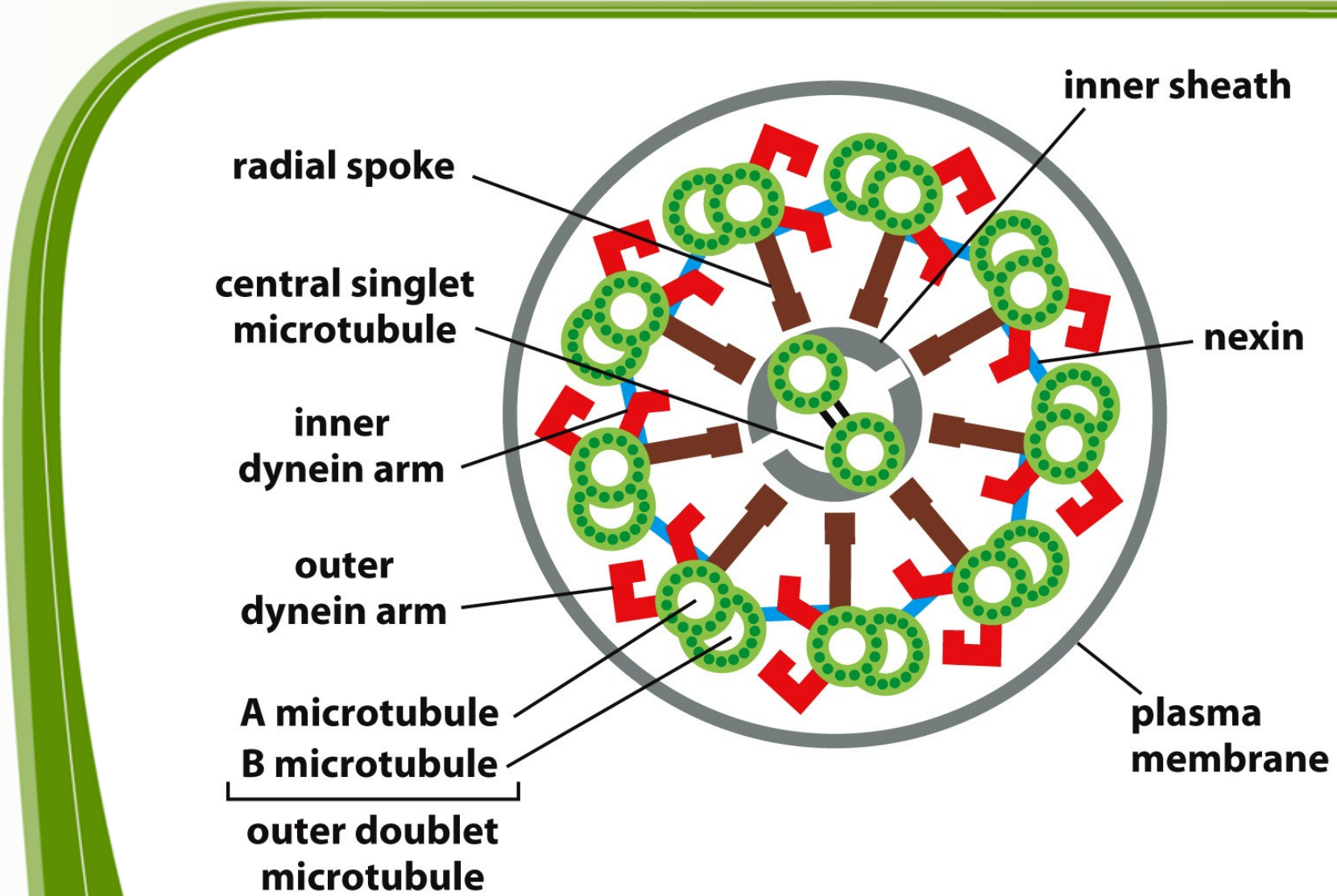


Figure 16-63b Molecular Biology of the Cell 6e (© Garland Science 2015)

# POHYB

## Dyneinové komplexy v pohyblivé cilii

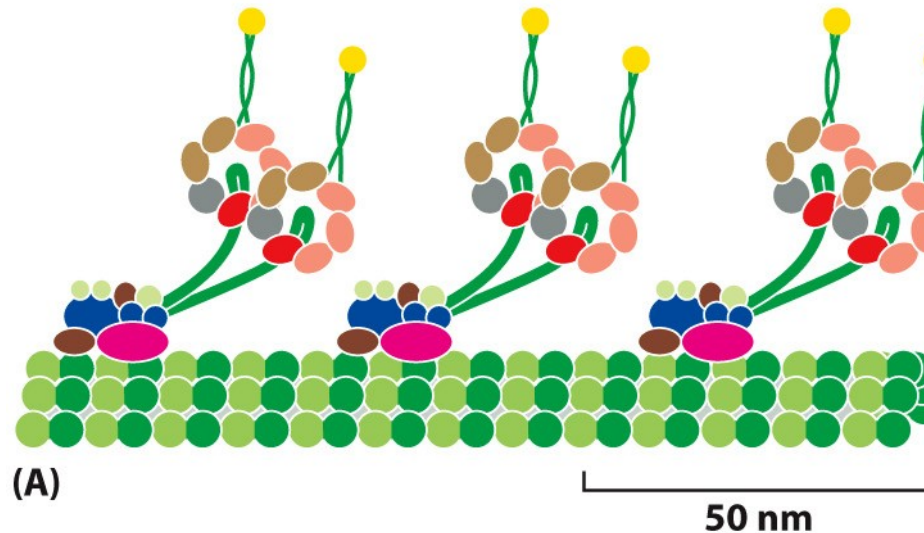
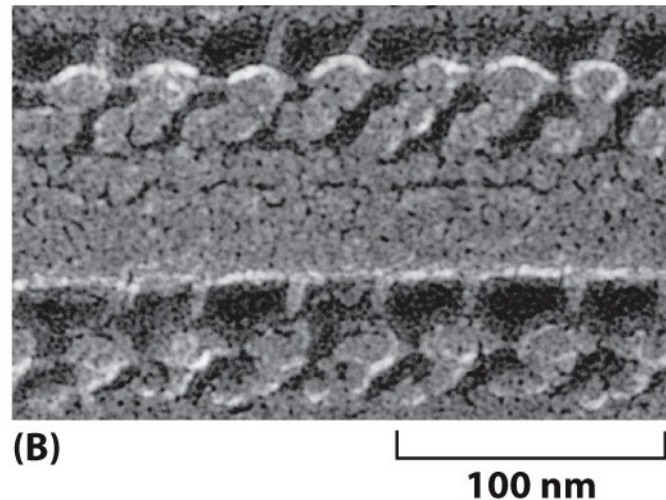


Figure 16-64 Molecular Biology of the Cell 6e (© Garland Science 2015)



# Pohyb řasinky je umožněn můstky mezi paralelními mikrotubuly – brání vzájemnému posunu

## POHYB

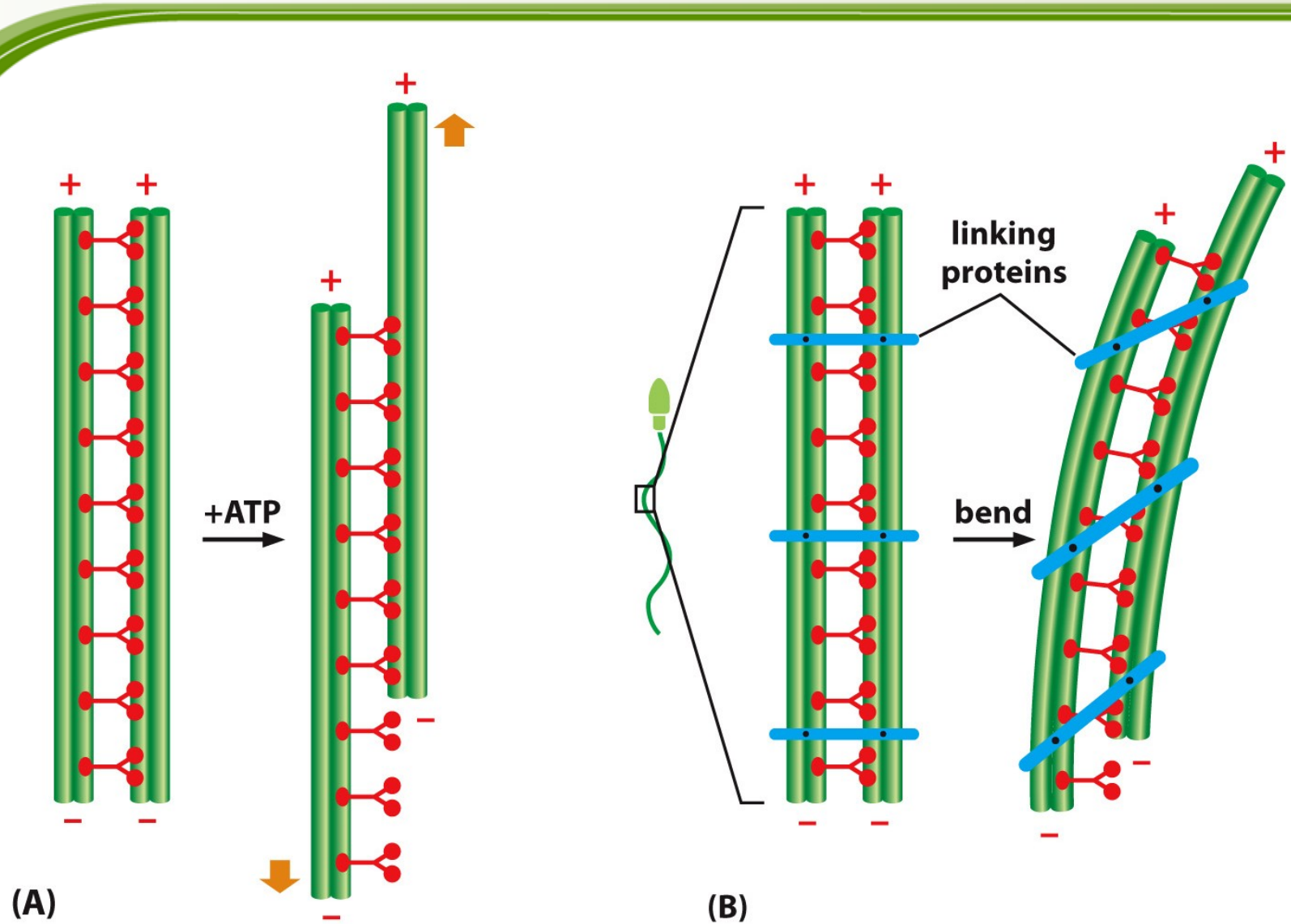
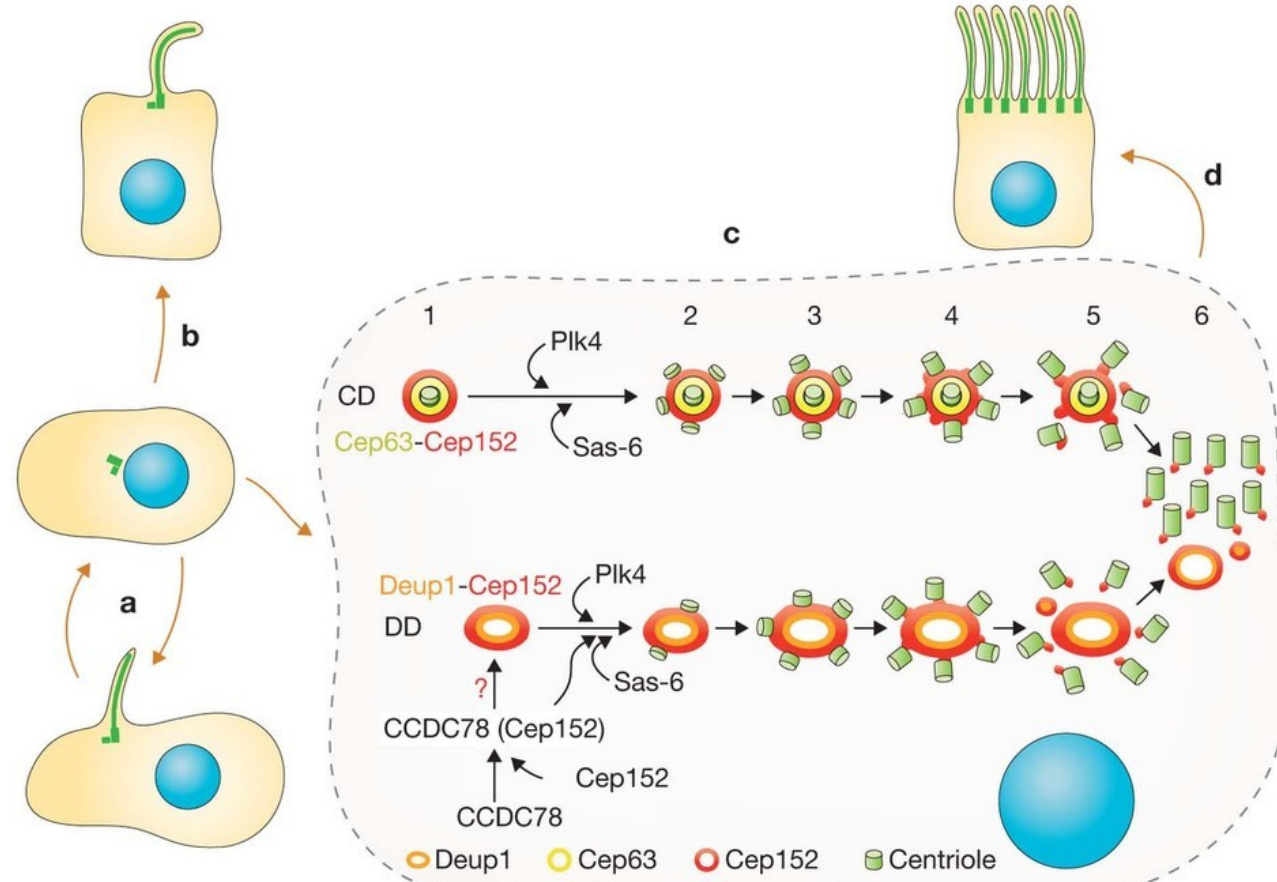


Figure 16-65 Molecular Biology of the Cell 6e (© Garland Science 2015)

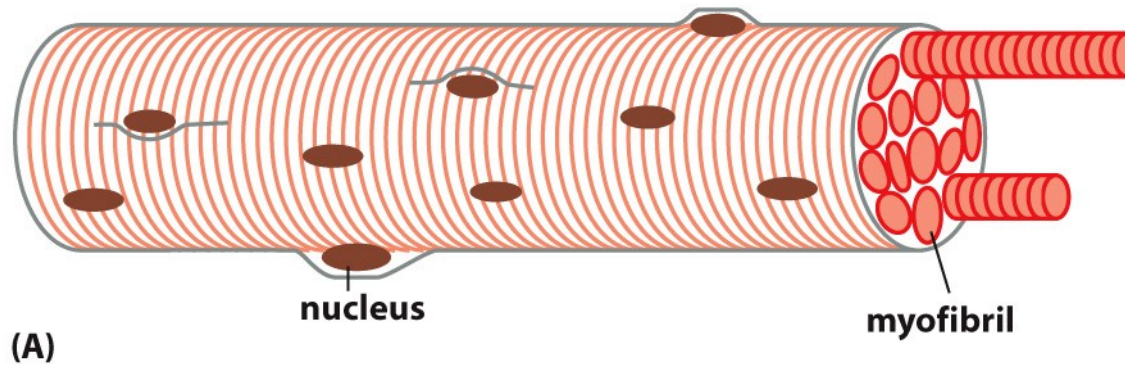
# Jak se může tolík cilií uchytit k jednomu bazálnímu tělísку?

- ▶ Klíčová role kinázy Plk4 – normálně reguluje duplikaci centriol

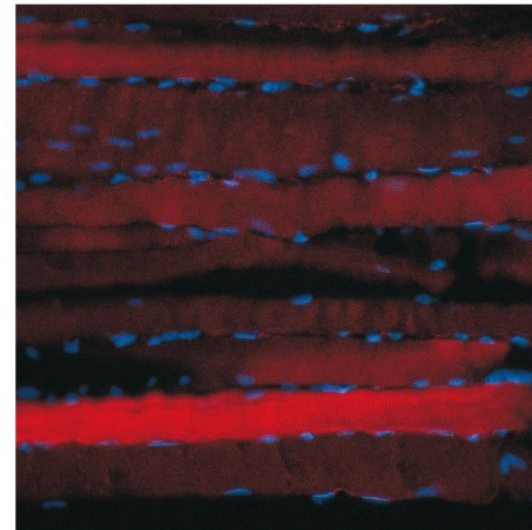


# Příčně pruhovaný sval

► Soubení vzniklé splynutím svalových prekurzorů



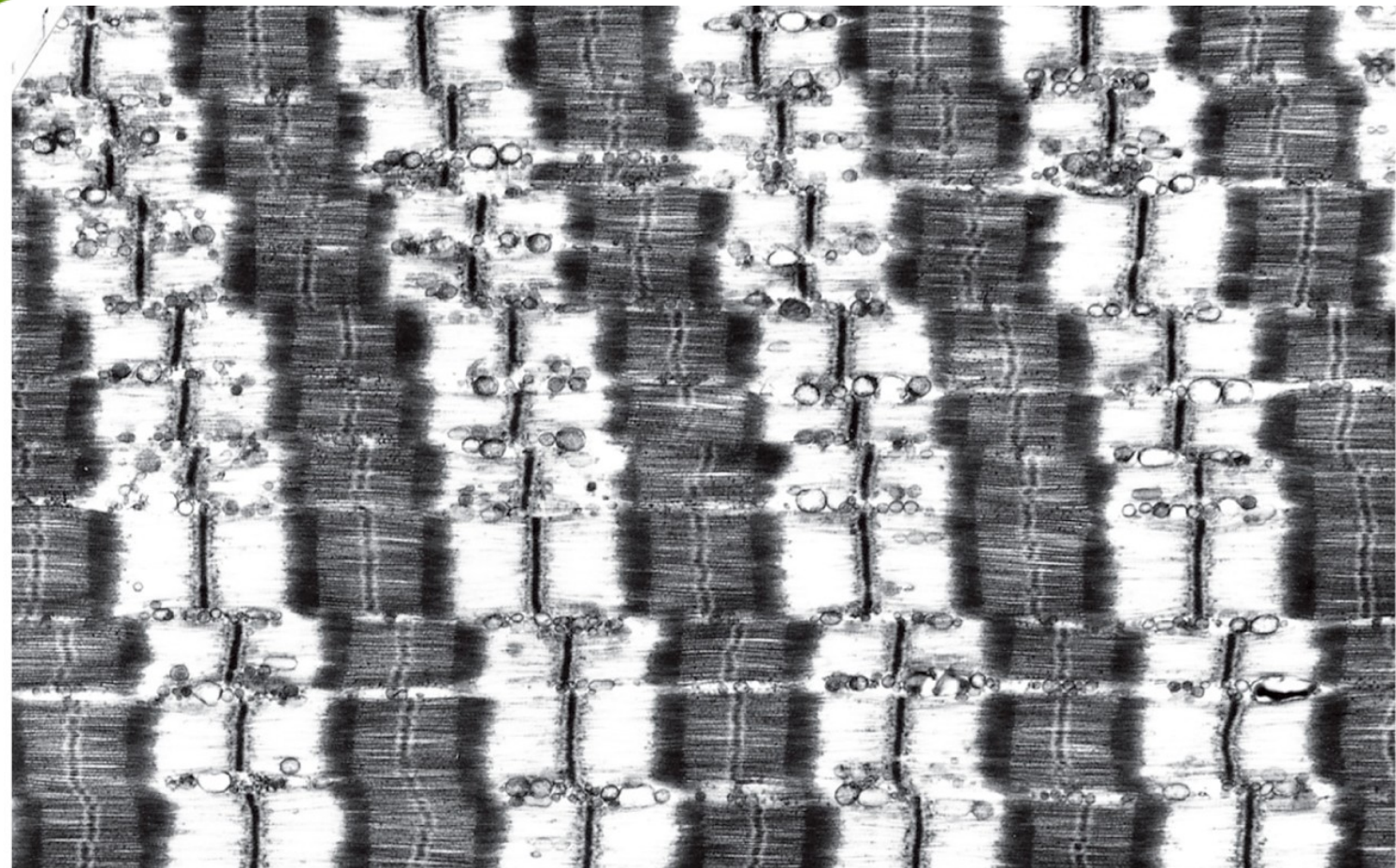
(A)



(B)

50 µm

# Jak funguje svalový stah?



2 μm

Figure 16-32a Molecular Biology of the Cell 6e (© Garland Science 2015)

## Jak funguje svalový stah?

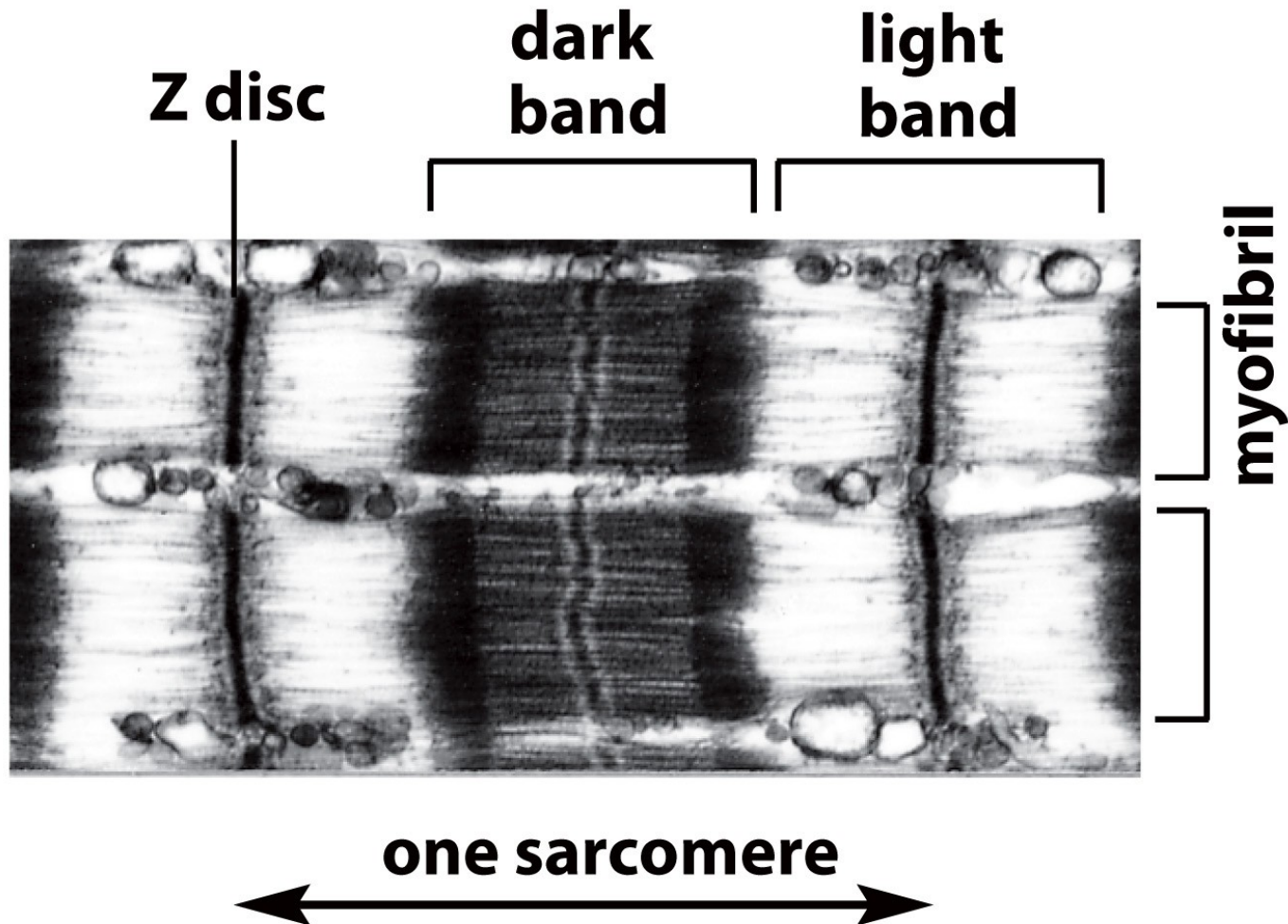


Figure 16-32b Molecular Biology of the Cell 6e (© Garland Science 2015)

# Jak funguje svalový stah?

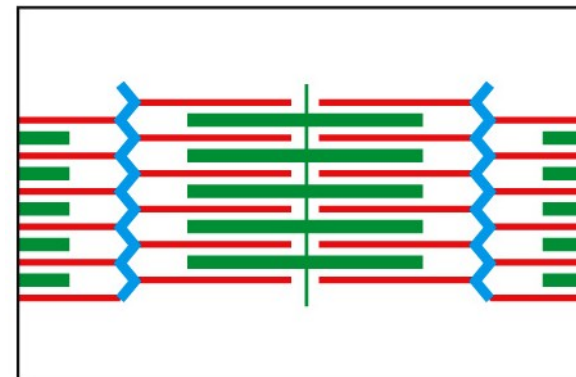
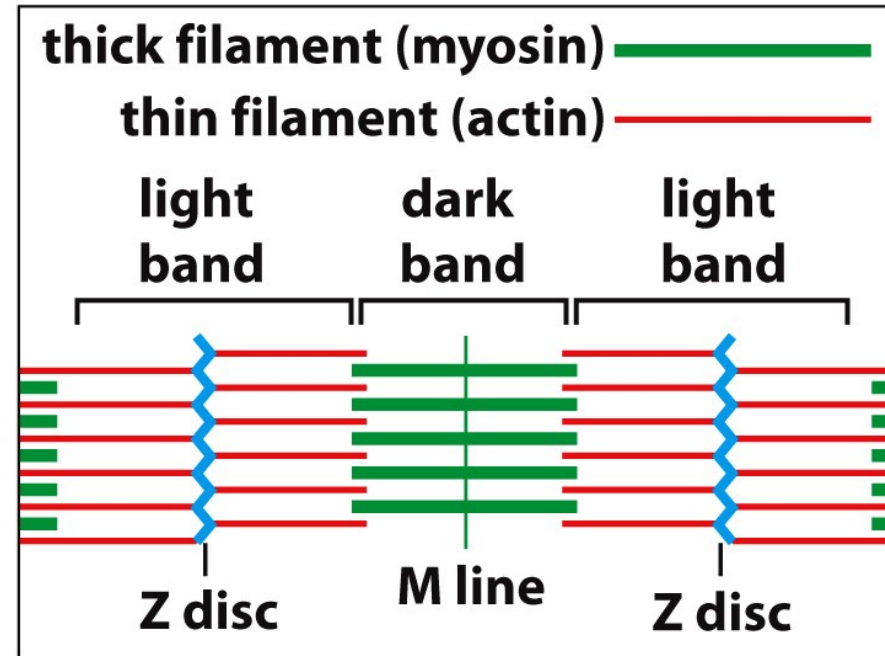
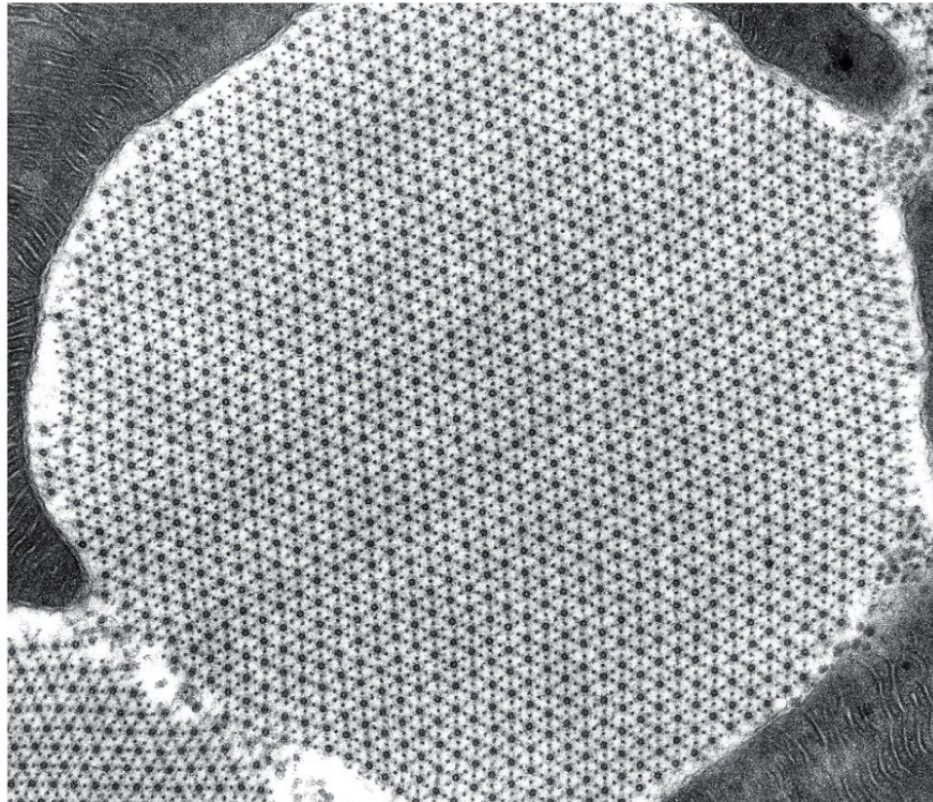


Figure 16-32cd Molecular Biology of the Cell 6e (© Garland Science 2015)

# Příčný řez svalovým vlákном (octomilka)



1 μm

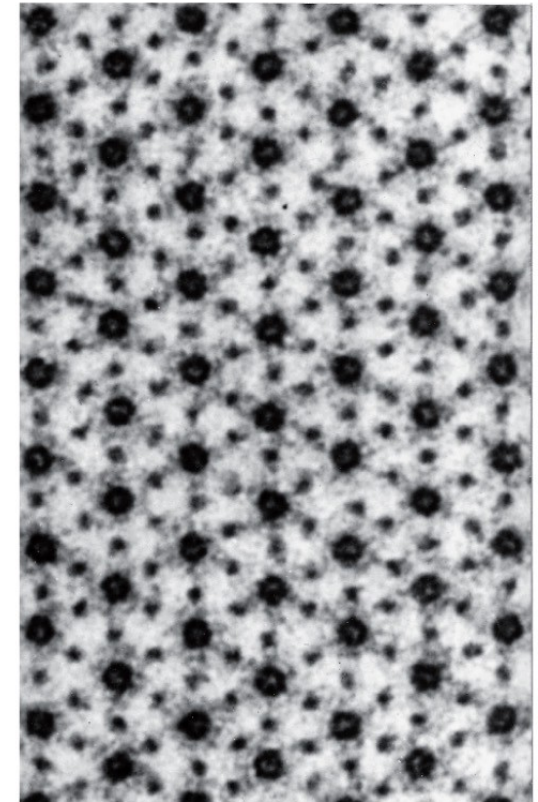


Figure 16-33 Molecular Biology of the Cell 6e (© Garland Science 2015)

# Jak funguje svalový stah?

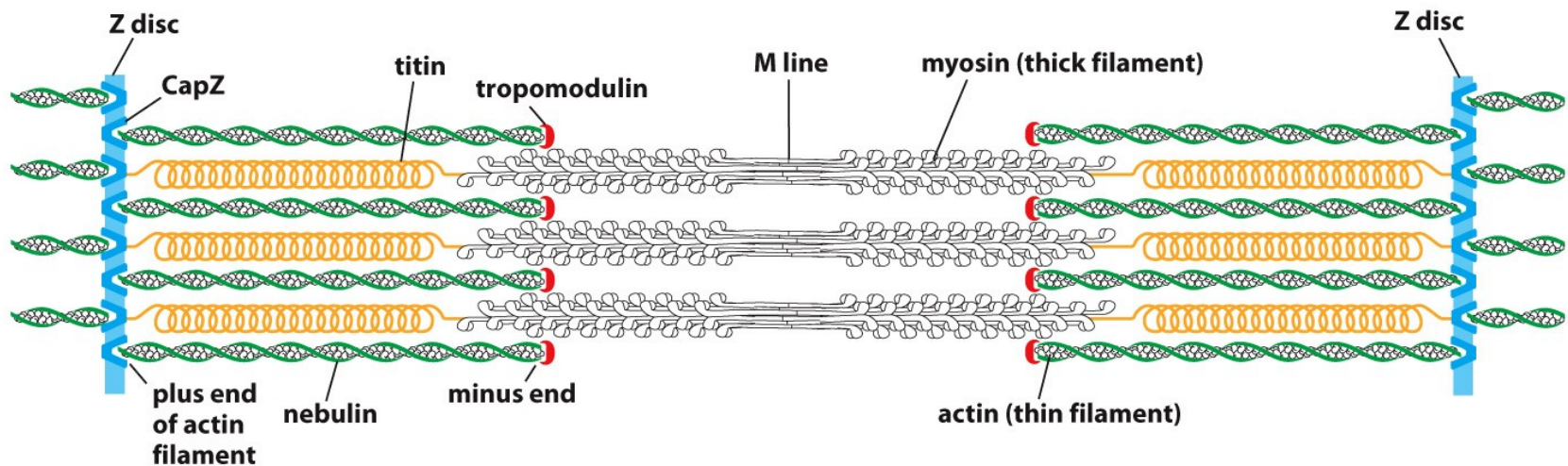
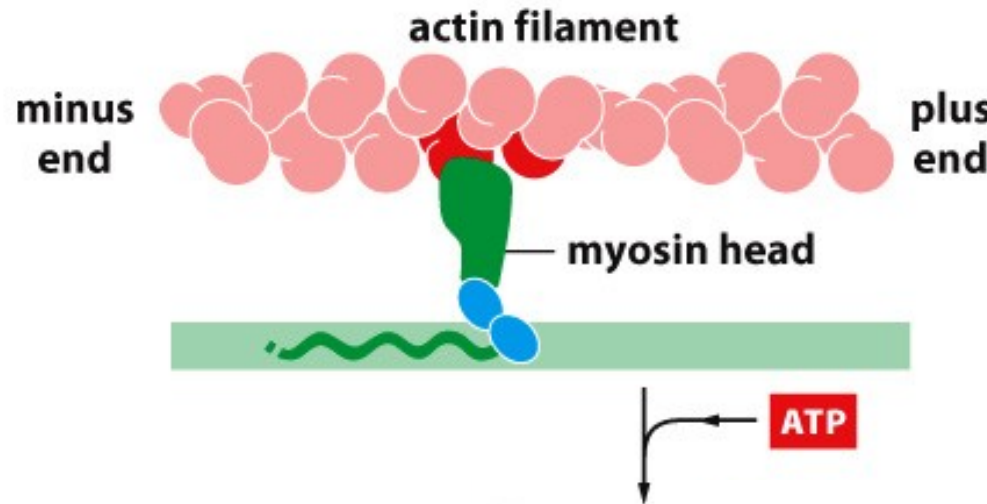


Figure 16-34 Molecular Biology of the Cell 6e (© Garland Science 2015)

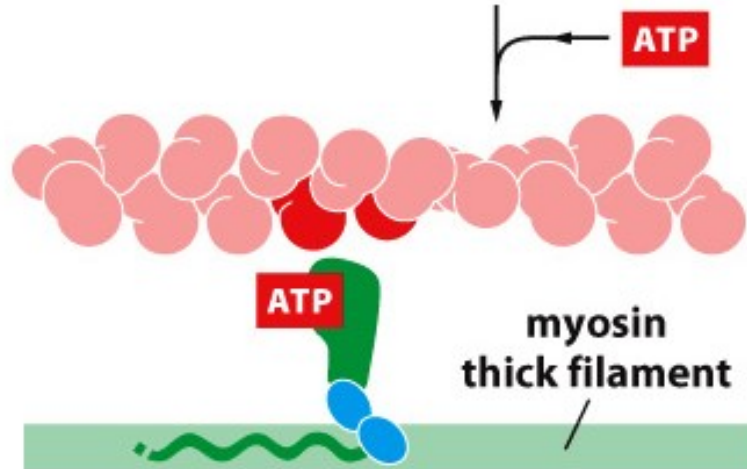
- ◆ Nebulin – molekulární pravítko, ochrana konců – tropomodulin (minus) a Z disk (CapZ a aktinin)
- ◆ Zajímavost: **Titin** (jméno souvisí s bájnými Titány), též **konektin**, je obrovský elastický protein nacházející se v sarkomeře v příčně pruhované svalovině. Je to zřejmě nejdelší lidský protein: je vytvářen jako jediný polypeptid, který má u člověka délku 34 350 aminokyselin a má molekulární hmotnost asi 3 700 kDa. Výroba titinu na ribozomu zabere neuvěřitelně 2–3 hodiny (u běžných bílkovin to je otázka několika minut). Na délku má asi 1,2 mikrometru, tedy řádově stejně jako například buňka bakterií. Je to třetí nejpočetnější protein ve svalech – dospělý člověk má asi 0,5 kg titinu.

# Jak funguje svalový stah?



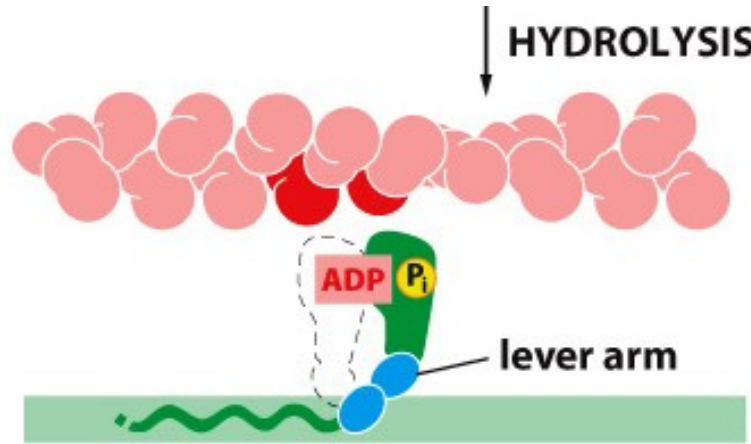
- ▶ na začátku cyklu je myosinová hlavička bez navázанého nukleotidu pevně semknuta s aktinovým filamentem (angl. rigor configuration → rigor mortis)
- ▶ v aktivně pracujícím svalu je tento stav velmi krátkodobý a je rychle ukončen navázáním molekuly ATP

## Jak funguje svalový stah?



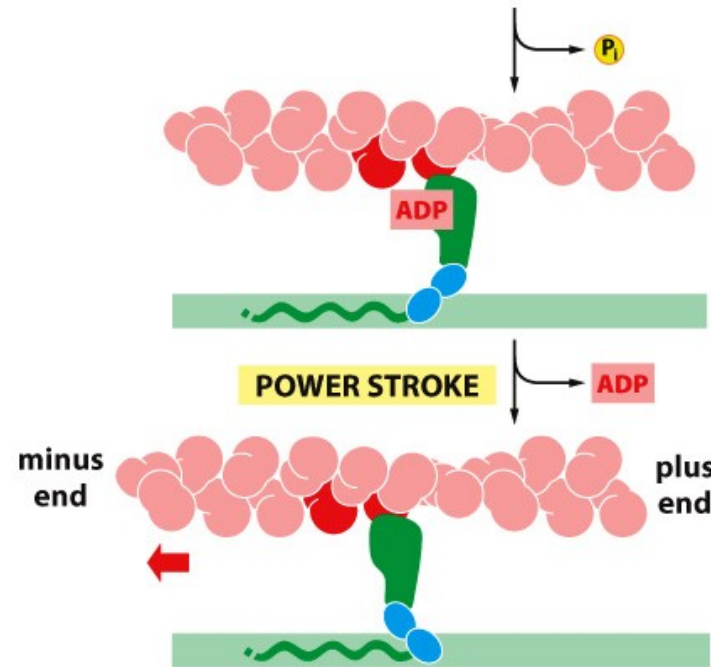
- ➔ molekula ATP se váže do velkého záhybu na zadní straně hlavičky myosinu (na nejvzdálenější místo od aktin. filamenta) a způsobuje nepatrnou změnu konformace místa, kde se k myosinu váže aktin, čímž sníží afinitu hlavičky myosinu k aktinu a umožní pohyb podél filamenta

# Jak funguje svalový stah?



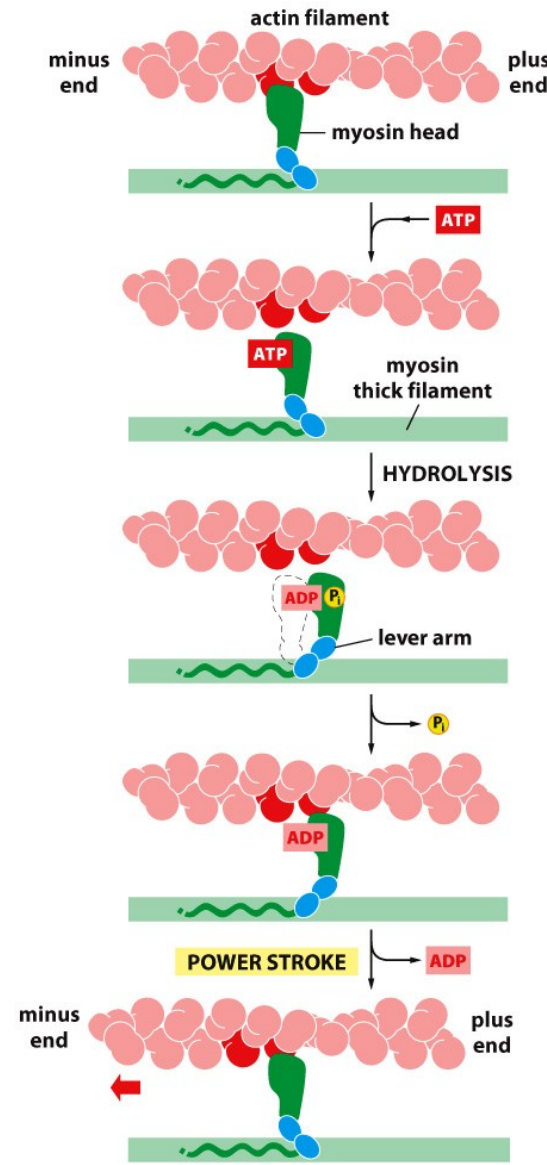
- ▶ záhyb na myosinu se jako mušle uzavírá okolo molekuly ATP, spouští se pohyb levého ramena myosinu, které posouvá hlavičku myosinu podél aktinového filamenta o vzdálenost přibližně 5 nm
- ▶ nastává hydrolýza ATP, ale ADP a anorg. fosfát stále zůstávají připojeny k myosinu

# Jak funguje svalový stah?

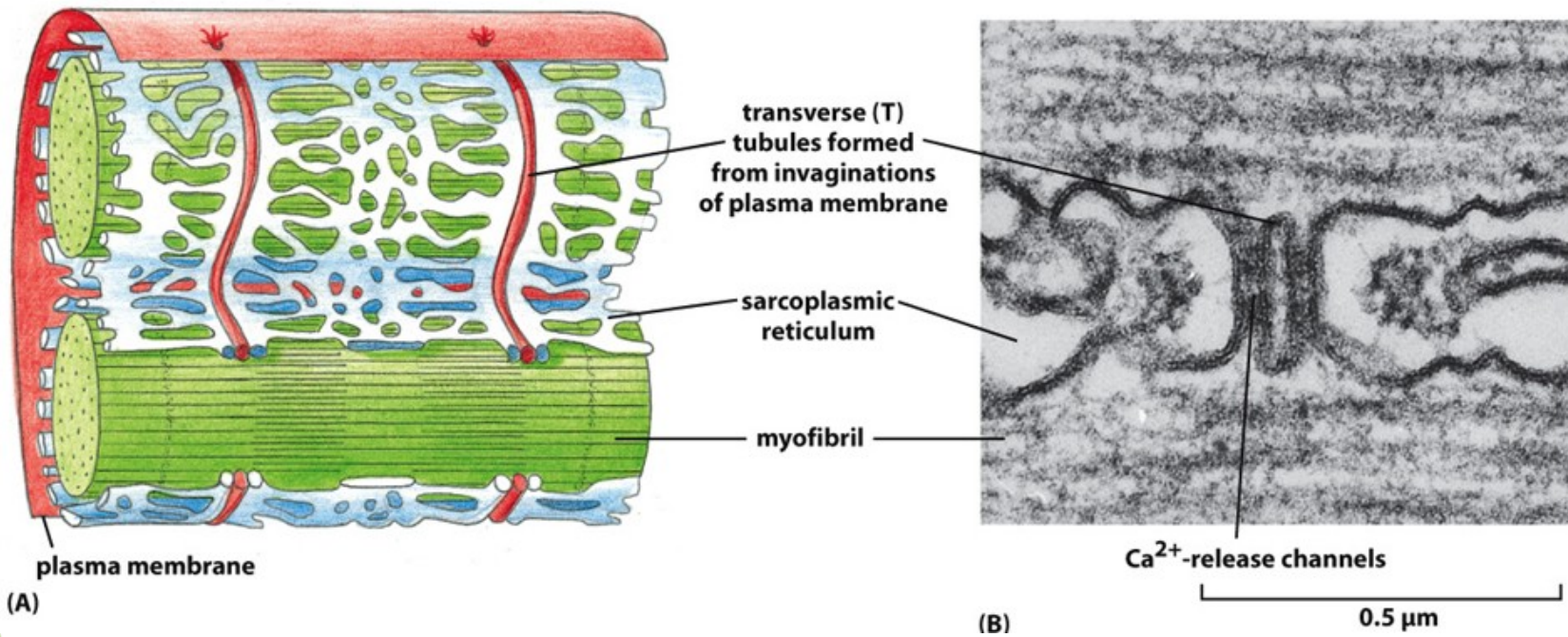


- ➔ slabá vazba myosinu k novému místu na aktinovém filamentu způsobí uvolnění anorg. fosfátu, čímž se zesílí vazba myosinu k aktinovému filamentu
- ➔ uvolnění anorg. fosfátu vede ke změně tvaru myosinu - nabývá původní konformace, ztrácí ADP a svalový stah se vrací na začátek cyklu (ale nacházíme se o kus dál na aktinovém filamentu)

# Jak funguje svalový stah?



# Jak se koordinovaně a rychle posunou tisíce molekul myosinu po aktinu?



- ▶ V buňce je udržovaná nízká koncentrace  $\text{Ca}^{2+}$  iontů, které jsou aktivně pumpovány vně buňky a do endoplazmatického retikula (u svalu nazývané sarkoplazmatické retikulum)

# Jak funguje svalový stah?

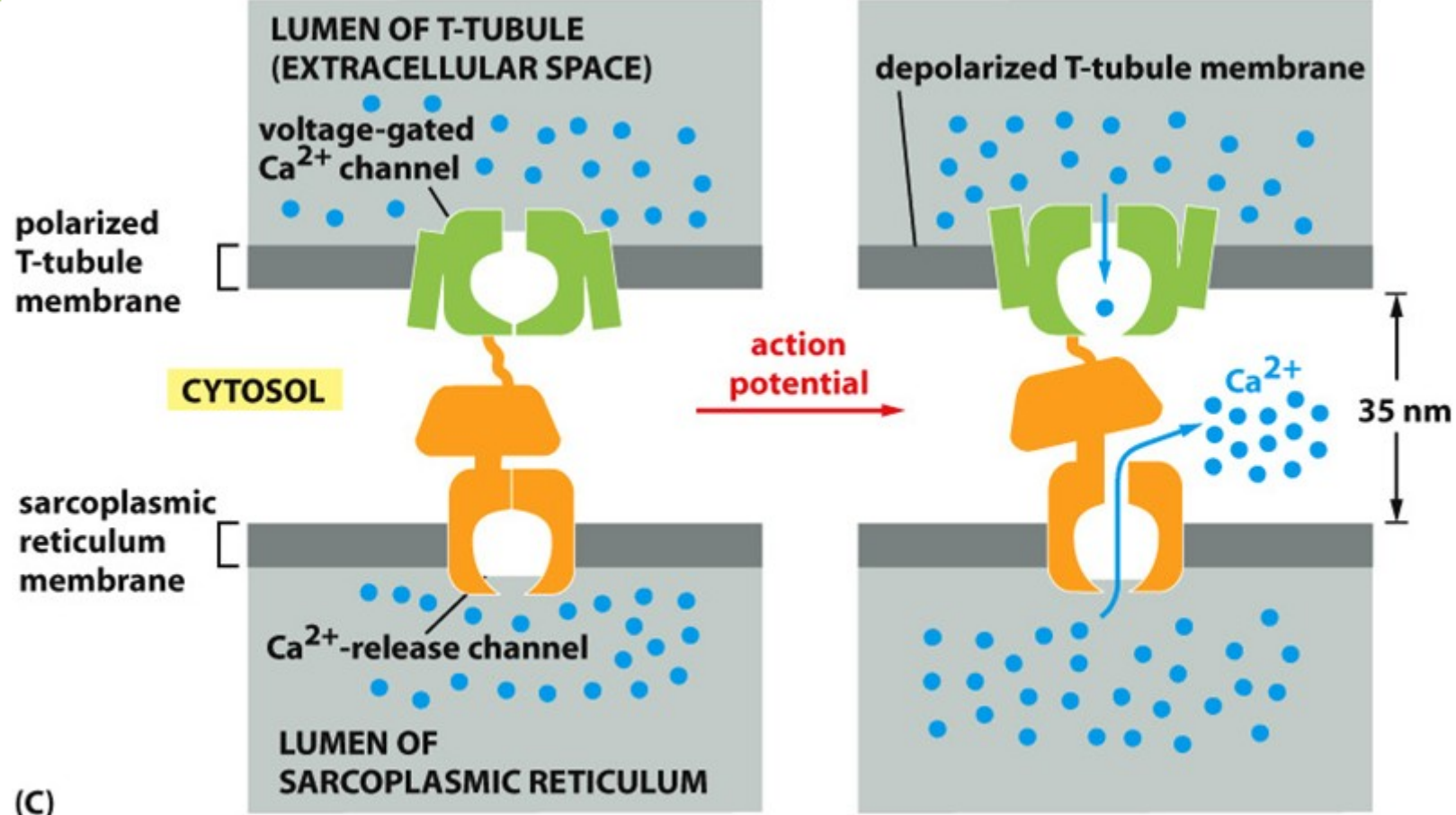
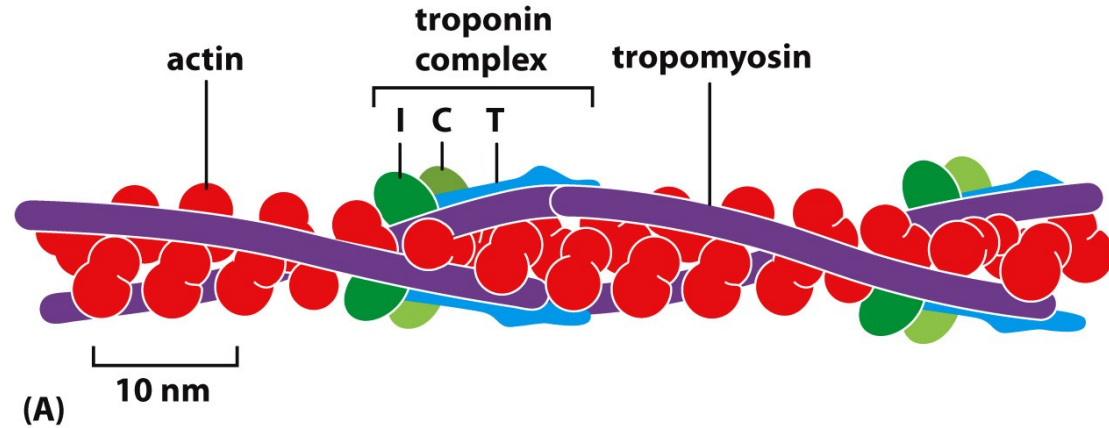


Figure 16-35 Molecular Biology of the Cell 6e (© Garland Science 2015)

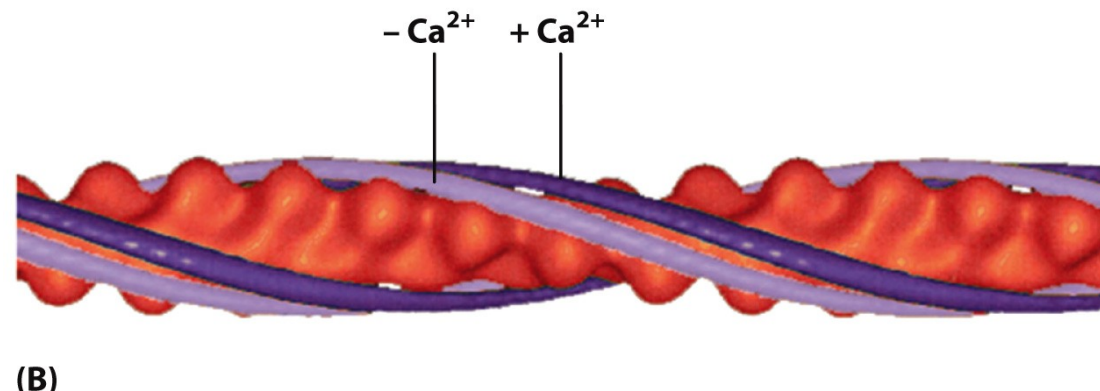
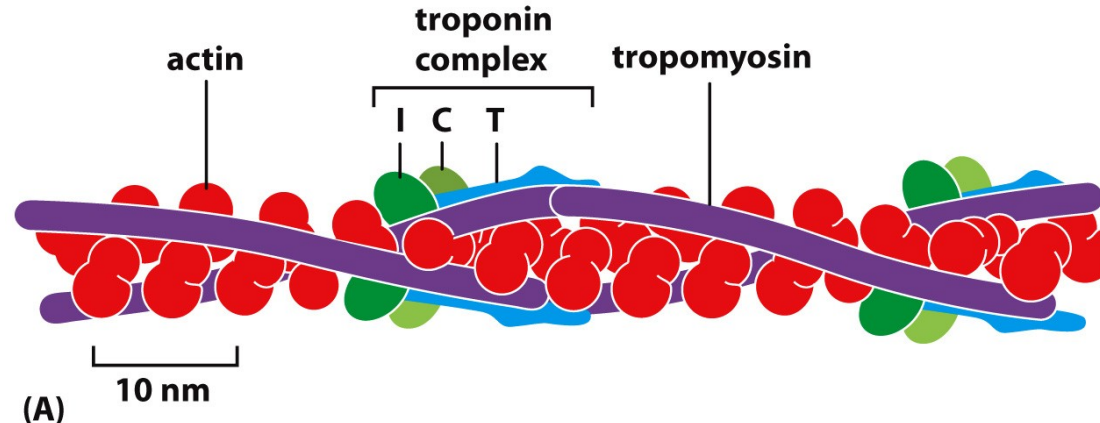
# Role troponinu a tropomyosinu

- ▶ Troponin – váže Ca<sup>2+</sup>
- ▶ Tropomyosin – blokuje na aktinu vazebná místa pro myosin



# Role troponinu a tropomyosinu

- ▶ Troponin – váže  $\text{Ca}^{2+}$
- ▶ Tropomyosin – blokuje na aktinu vazebná místa pro myosin
- ▶ Vazba  $\text{Ca}^{2+}$  iontů – změna konformace, které posune tropomyosin a umožní pohyb myosinu po aktinu

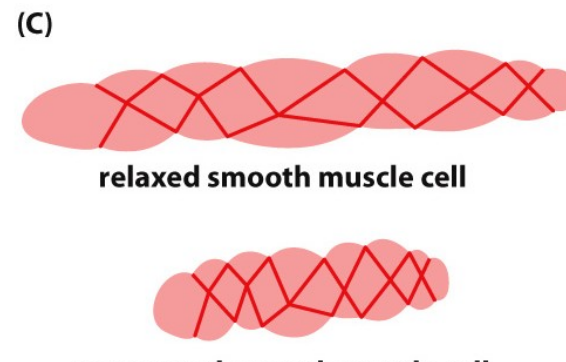
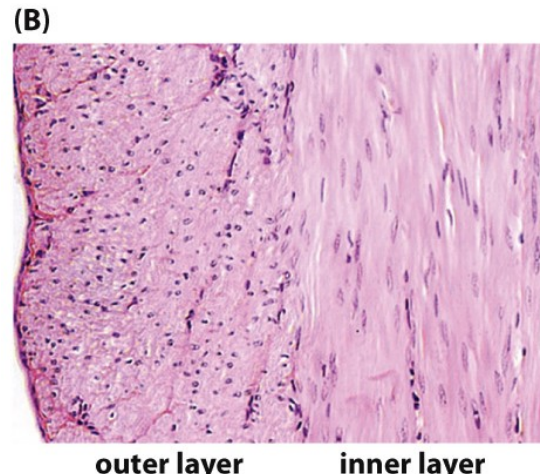
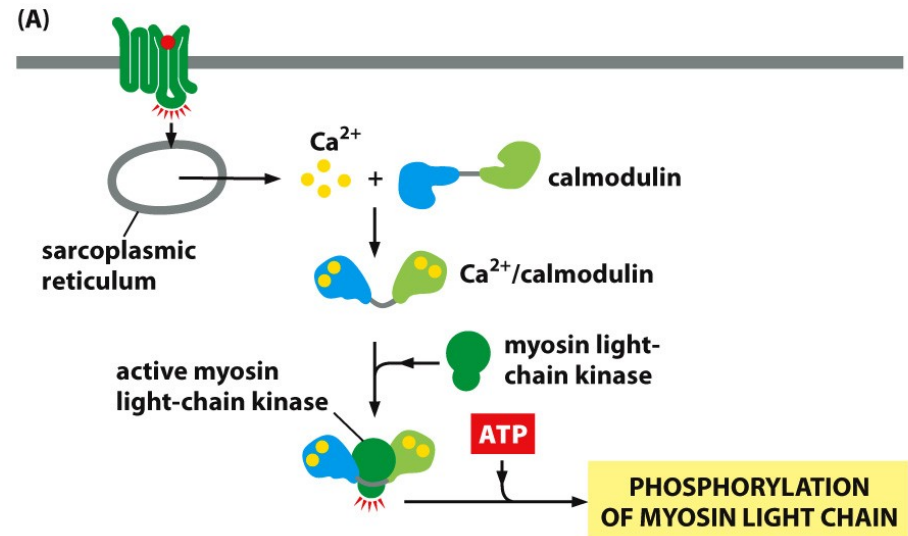




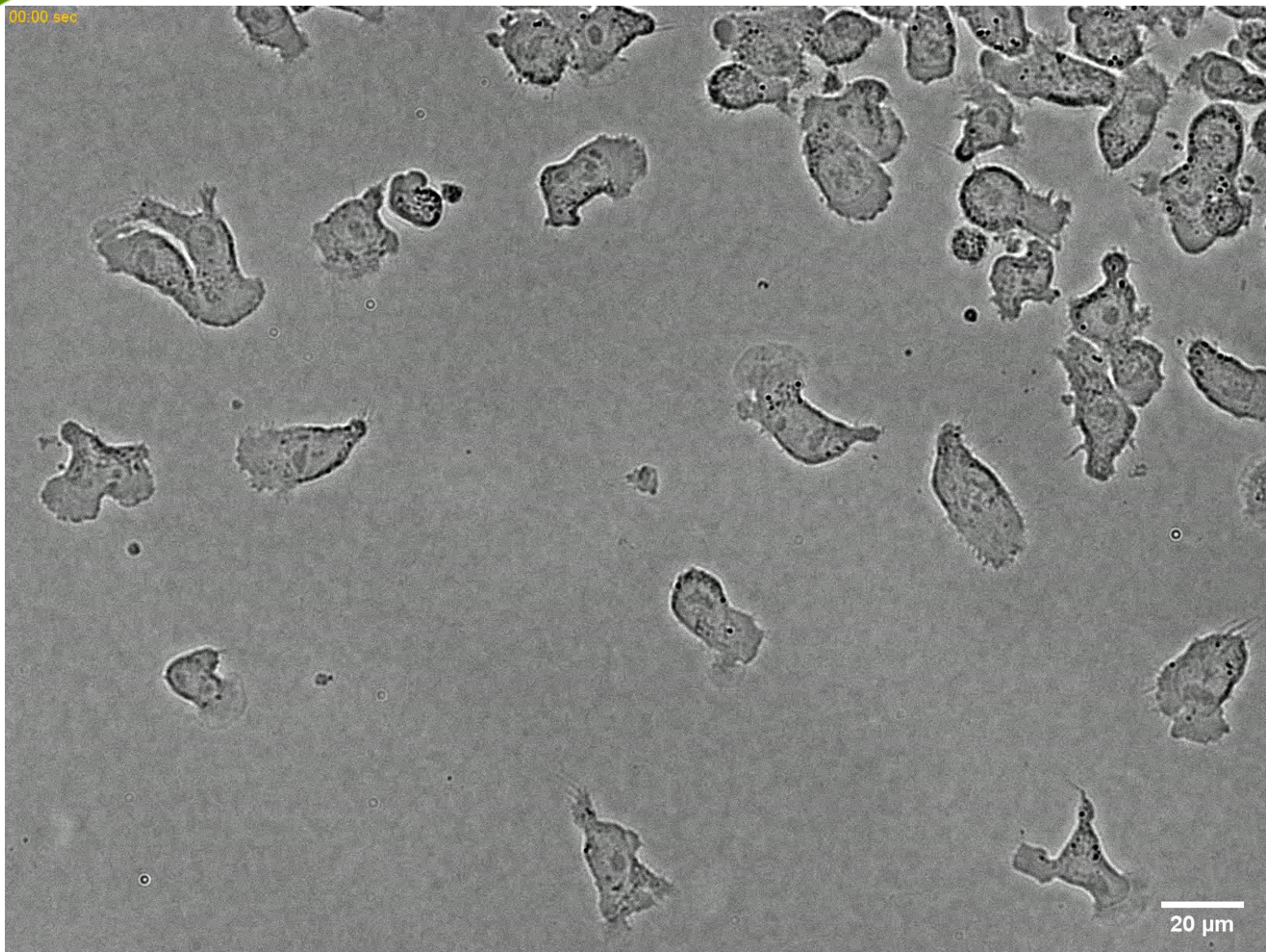
*[www.AlilaMedicalMedia.com](http://www.AlilaMedicalMedia.com)*

# Hladký sval – v principu podobný, v detailu jiný

- ▶ Místo troponinu calmodulin
- ▶ Aktivace vyžaduje fosforylaci a aktivaci MLCK (myosin light chain kinase)
- ▶ Myosin v hladké svalovině interaguje s aktinem pouze po fosforylaci



## Buněčný pohyb – B-lymfocyt

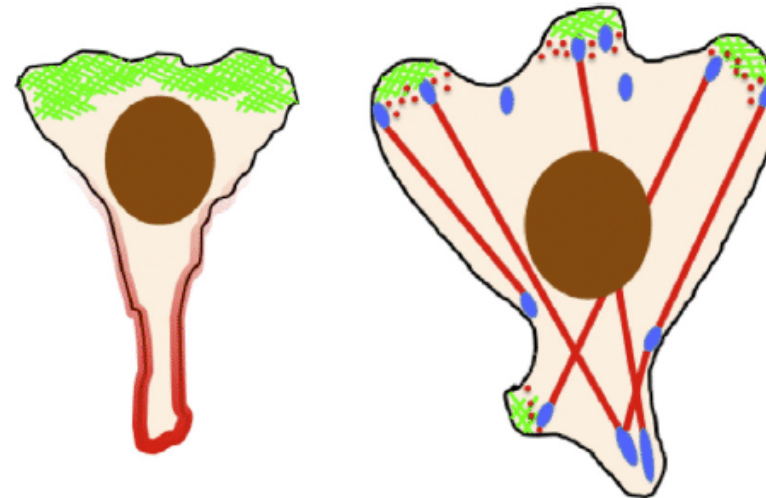


# Dva extrémní mody migrace: Améboidní vs. mesenchymální

Dendritic F-actin

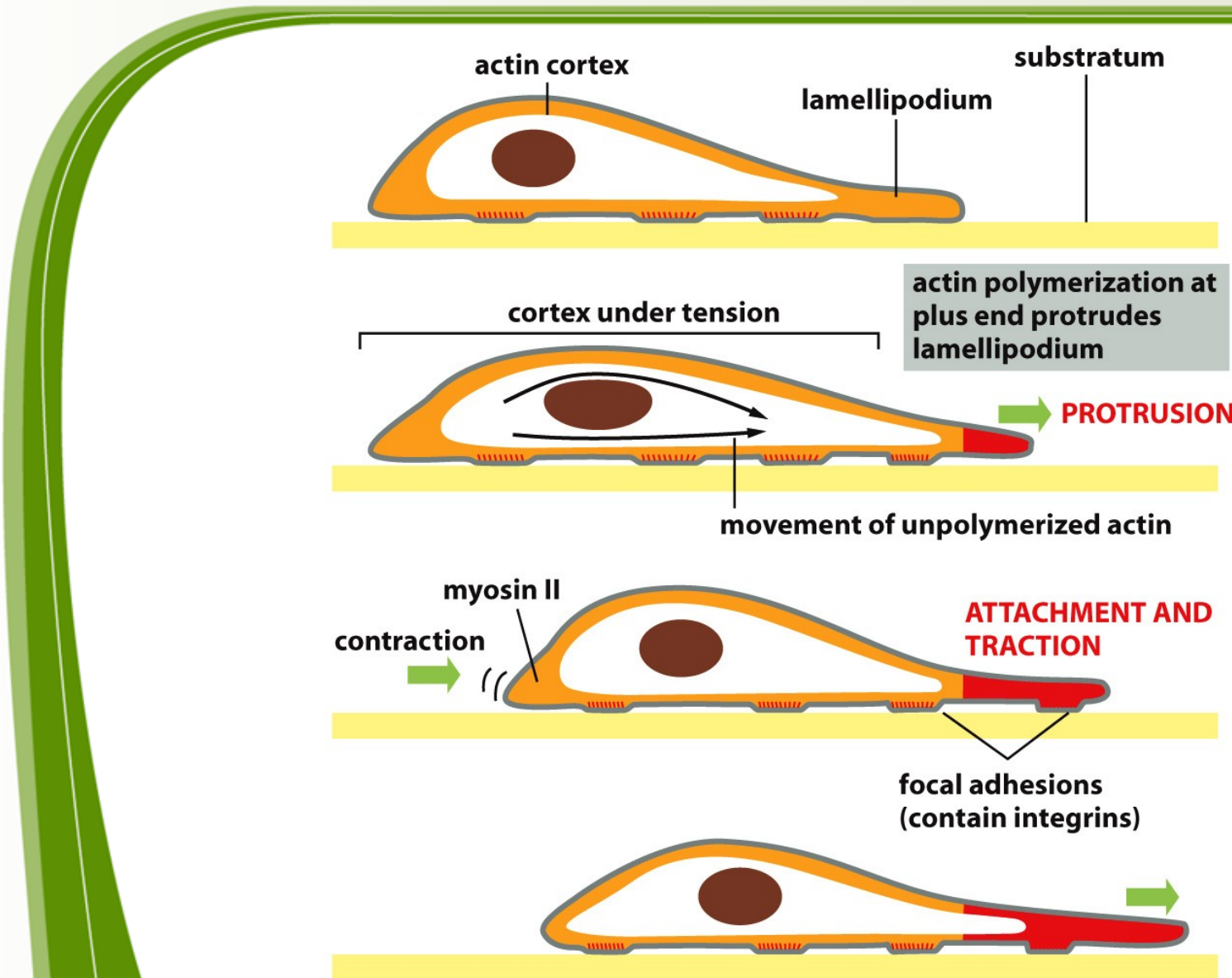
Myosin II structures

Focal adhesions



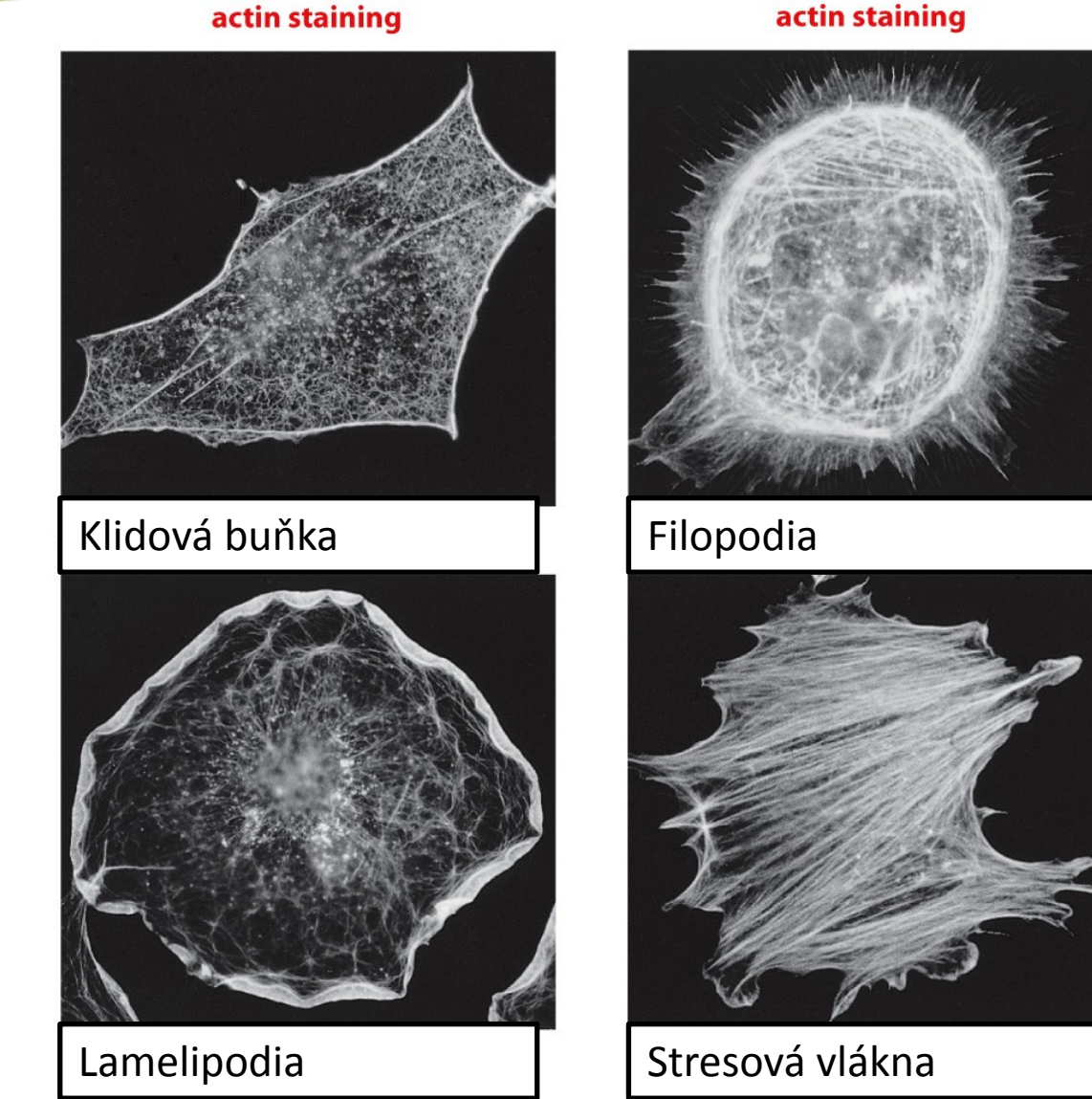
	Amoeboid	Mesenchymal
Migration speed	Fast, ~ 10 µm/min	Slow, < 1 µm/min
Polarity	Well-defined front and rear	Multiple, competing lamellipodia
Adhesion	Relatively weak, mostly intercellular	Strong, mostly ECM with well-defined adhesion complexes
Migration mechanics <i>in vivo</i>	Squeezing through pores in matrix/stroma	Traction via adhesion to ECM, matrix degradation as necessary
Organization of action cytoskeleton	Thick dendritic actin network at the cell front; elsewhere, cortical actomyosin mediates contractility beneath the plasma membrane	Dendritic F-actin in lamellipodia; acto-myosin minifilaments mediate contractility behind the leading edge(s) and form thick stress fibers attached to focal adhesions
Chemoattractant receptors	GPCRs	RTKs

# Pohyb buňky po substrátu



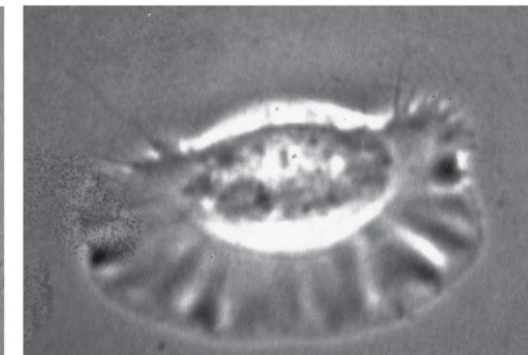
# POHYB

## Pohyb buňky po substrátu

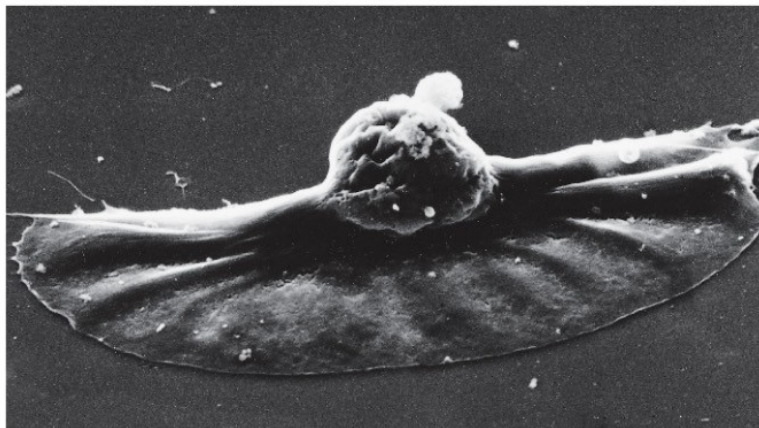


# POHYB

## Pohyb buňky po substrátu – model keratocytů (v kůži ryb a obojživelníků)

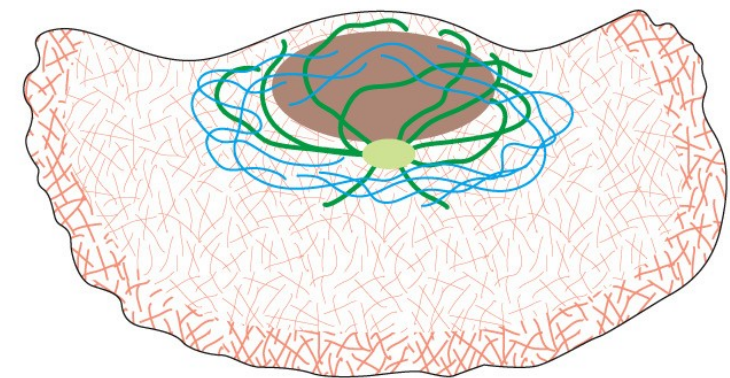


(A)



(B)

10 µm



(C)

Figure 16-77 Molecular Biology of the Cell 6e (© Garland Science 2015)

## Aktinová síť v lamelipodiu – klíčová role Arp2/3

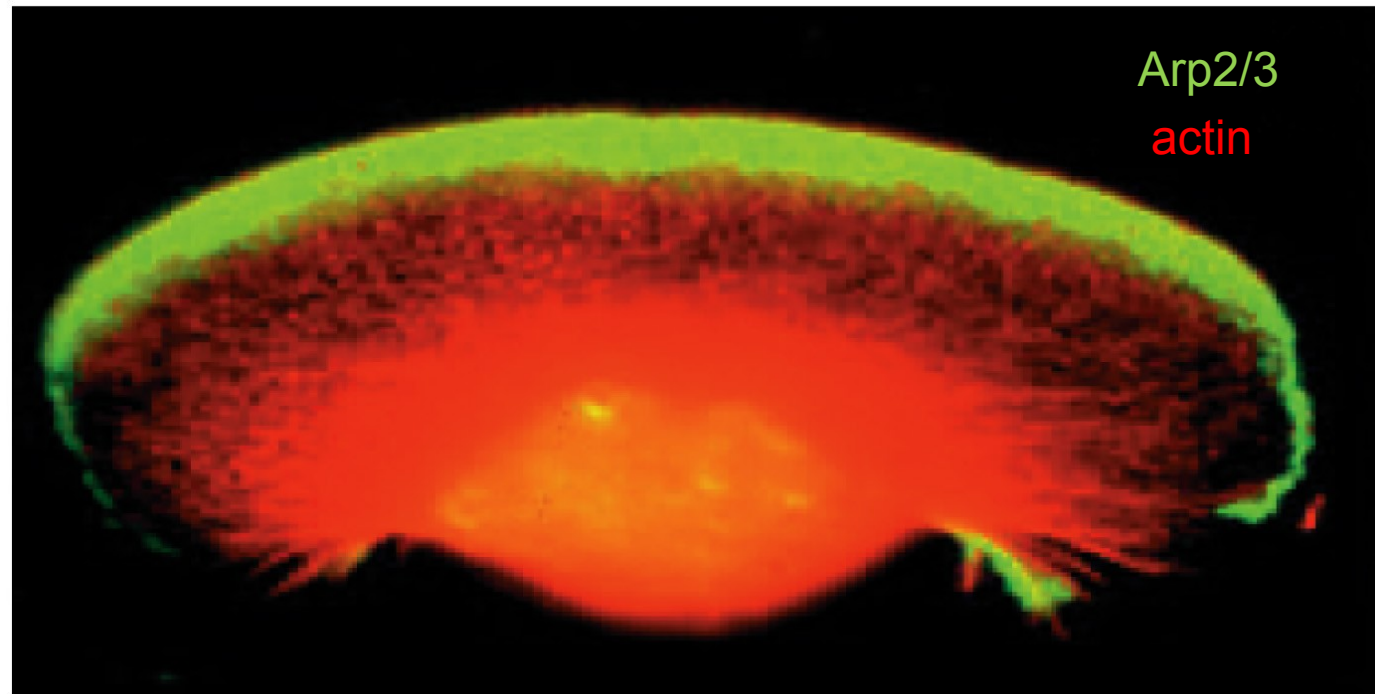


Figure 16-78a Molecular Biology of the Cell 6e (© Garland Science 2015)

# Aktinová síť v lamelipodiu – klíčová role Arp2/3

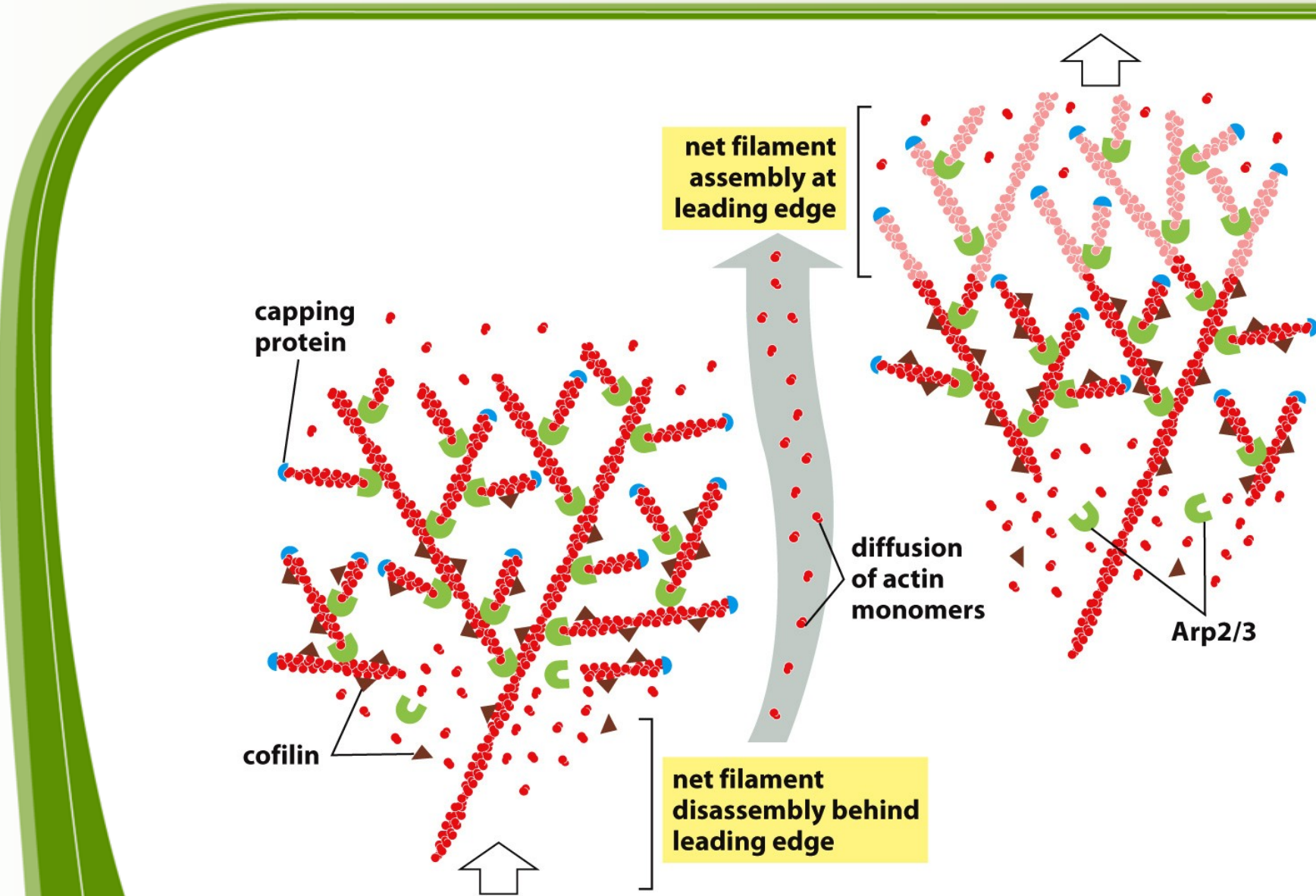


Figure 16-80 Molecular Biology of the Cell 6e (© Garland Science 2015)

# Aktinová síť v lamelipodiu – klíčová role Arp2/3

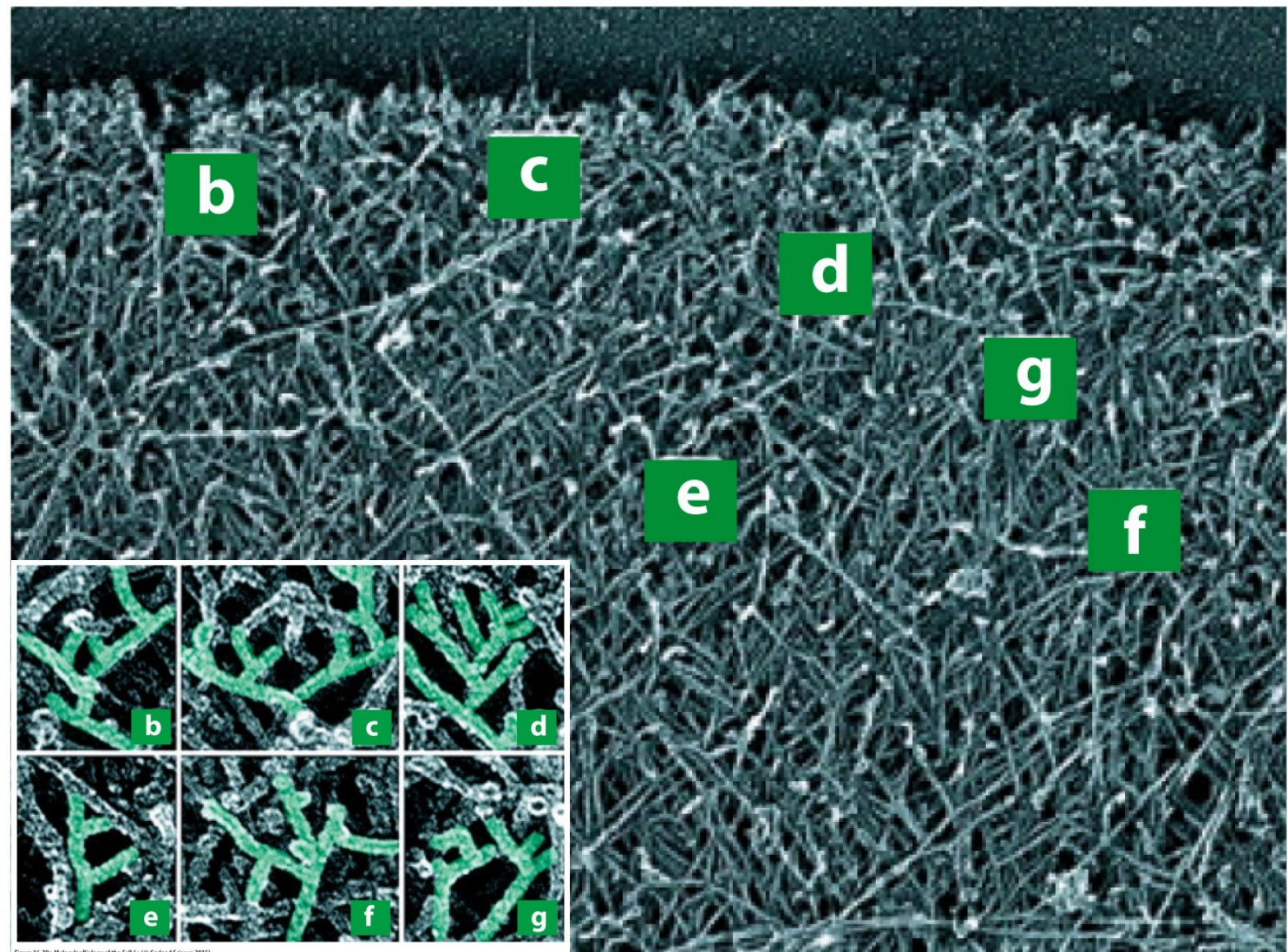


Figure 16-78b Molecular Biology of the Cell 6e (© Garland Science 2015)

Figure 16-78b Molecular Biology of the Cell 6e (© Garland Science 2015)

# Destabilizace aktinu kofilinem – mimo leading edge

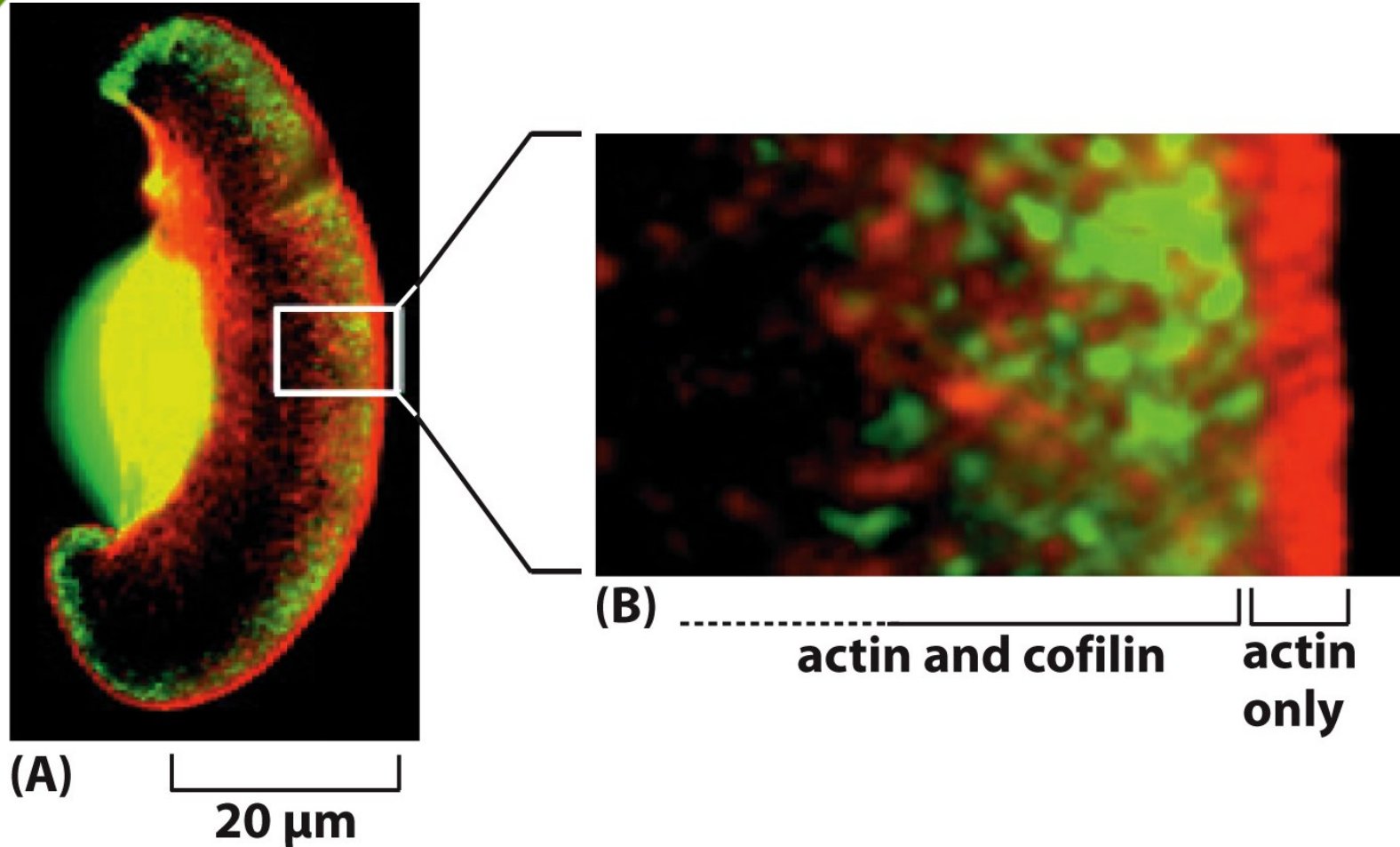


Figure 16-79 Molecular Biology of the Cell 6e (© Garland Science 2015)

# Pohyb buňky po substrátu – klíčová role integrinů

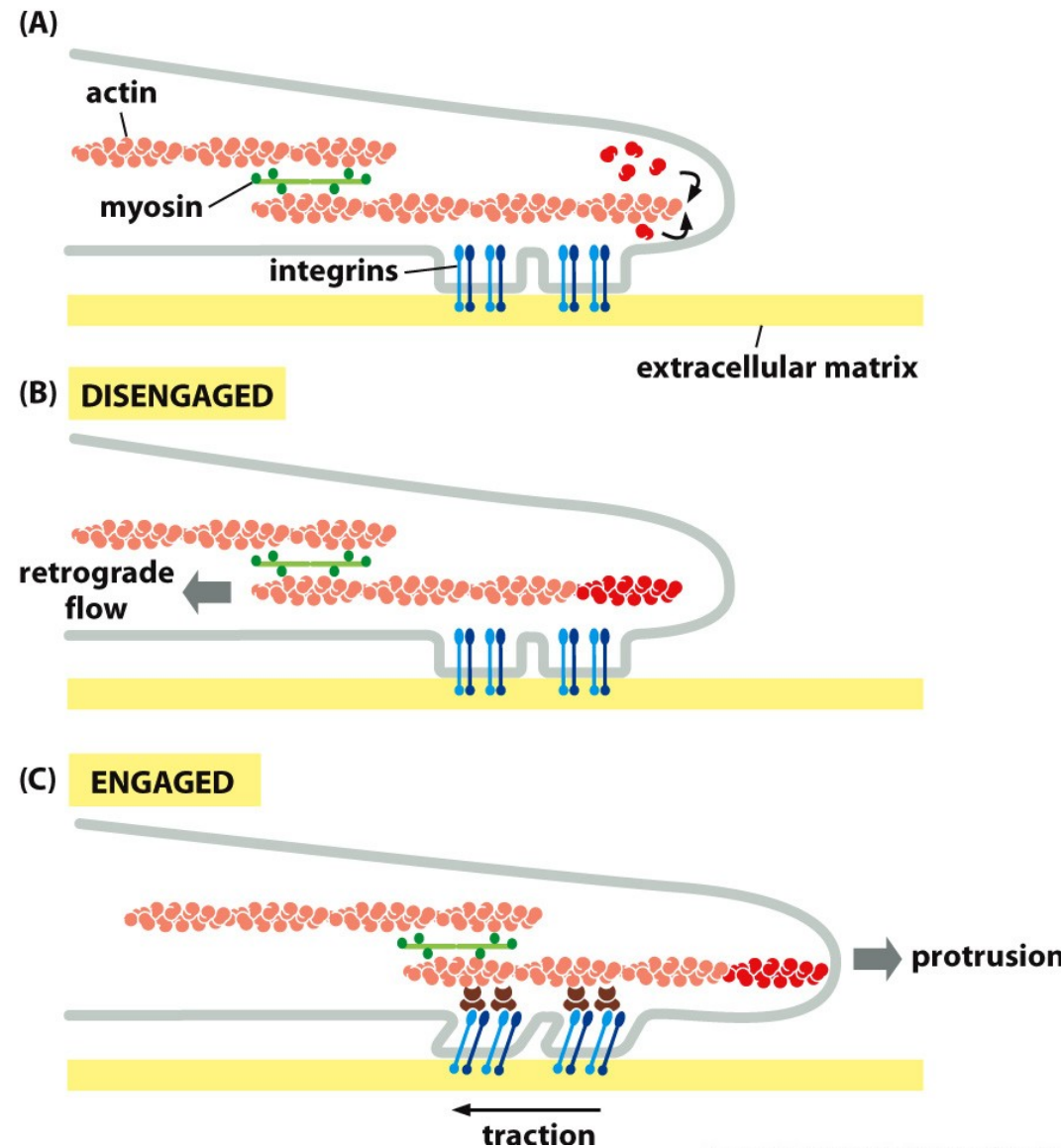
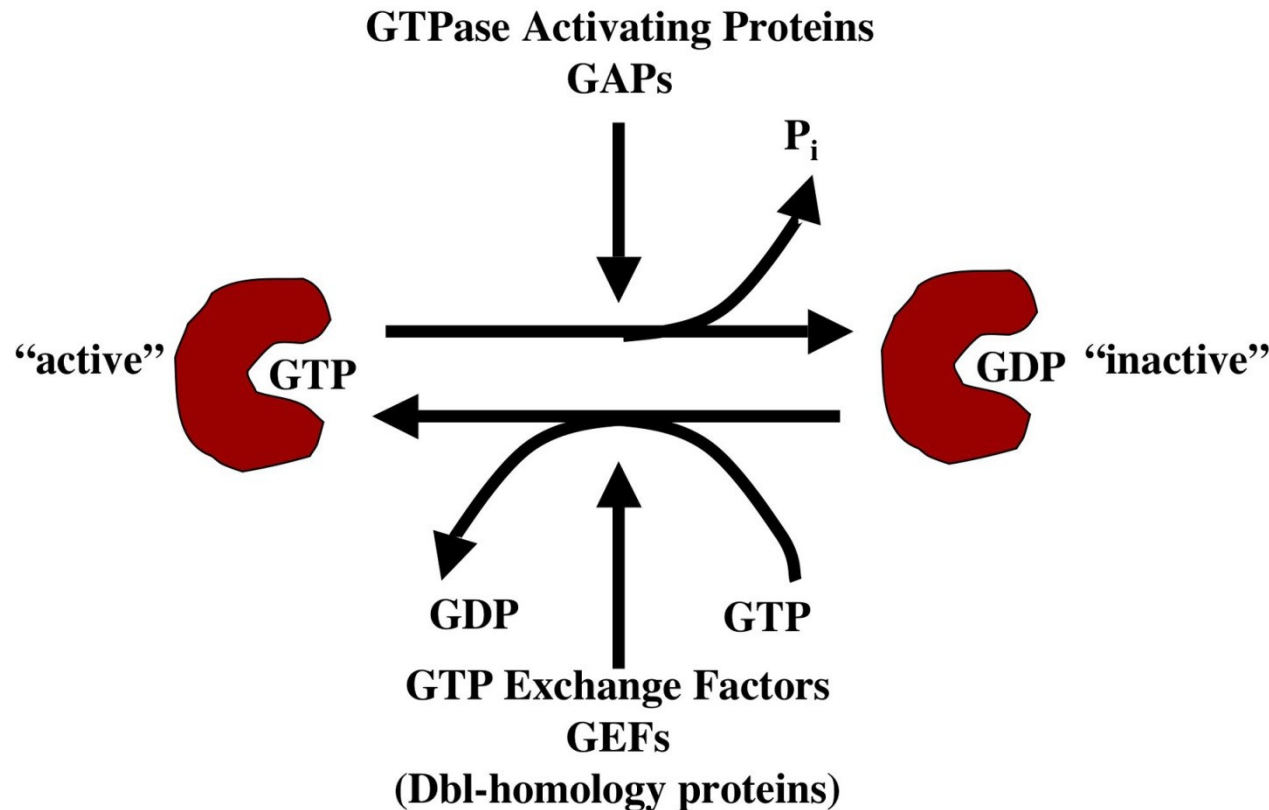


Figure 16-82 Molecular Biology of the Cell 6e (© Garland Science 2015)

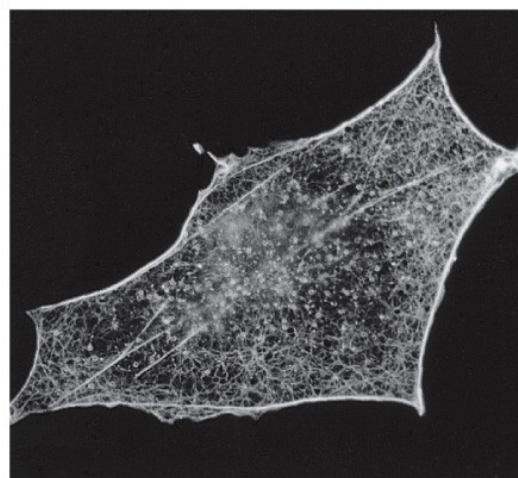
# Malé GTPázy z Rho rodiny jsou klíčové regulátory cytoskeletu

(přeskočíme trošku dopředu o jednu přednášku)



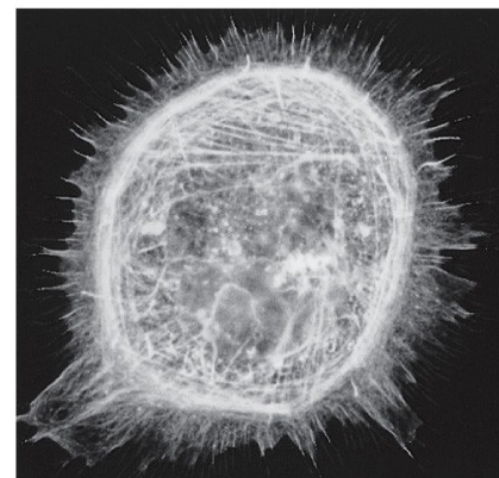
# Malé GTPázy z Rho rodiny jsou klíčové regulátory cytoskeletu

actin staining

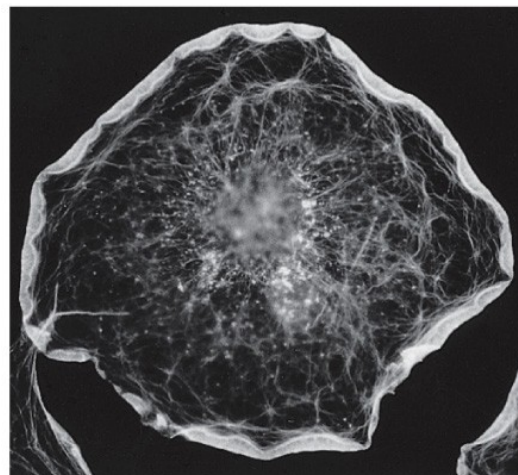


(A) QUIESCENT CELLS

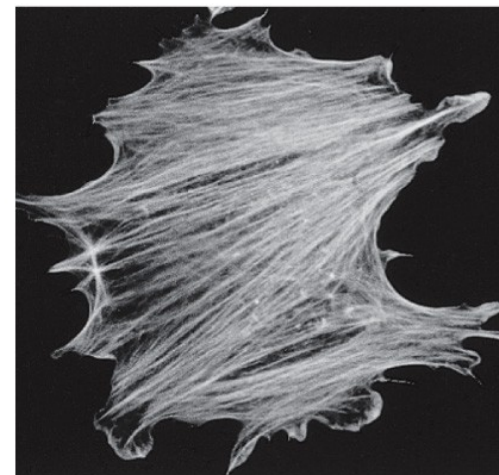
actin staining



(B) Cdc42 ACTIVATION



(C) Rac ACTIVATION

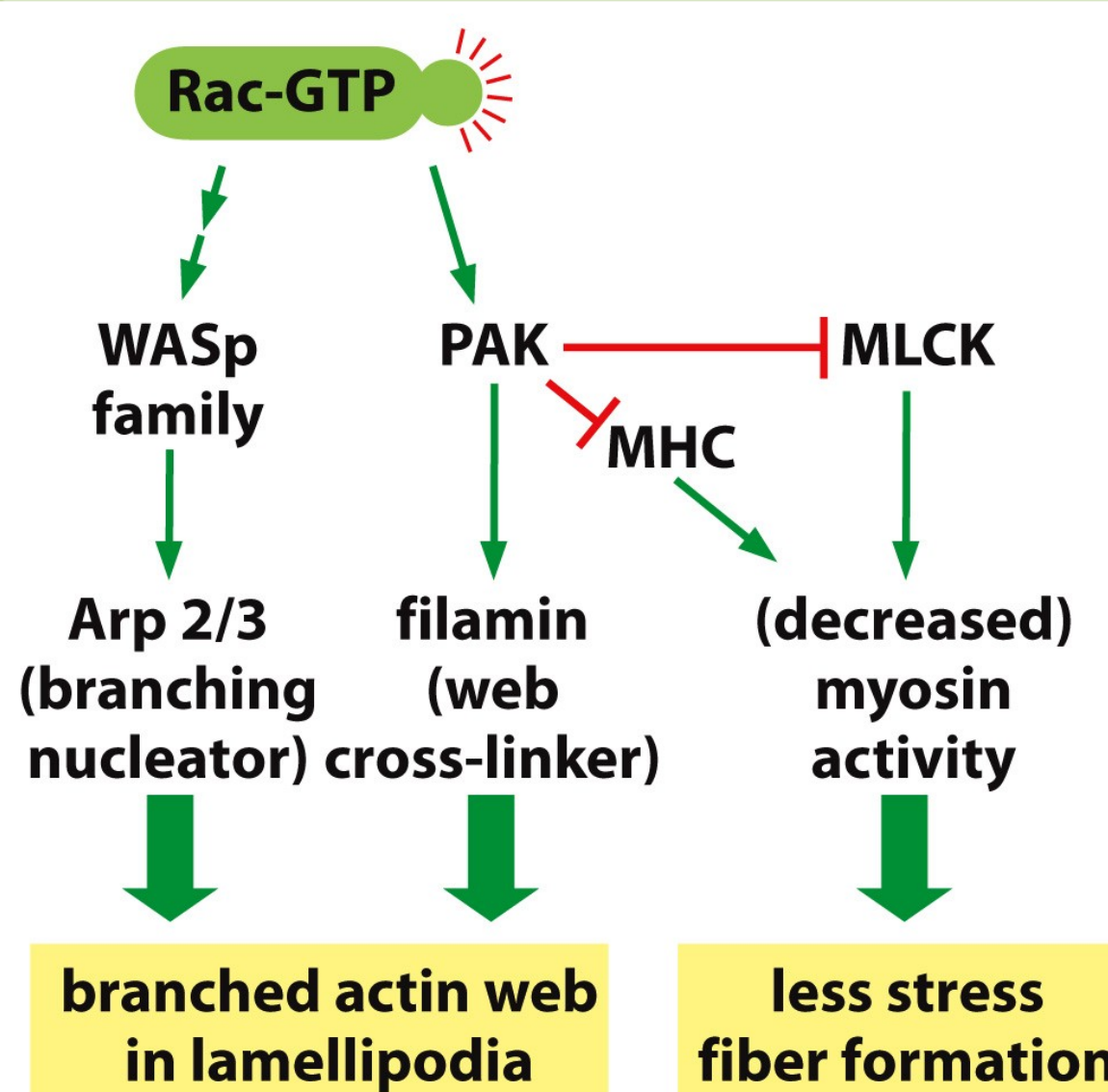


(D) Rho ACTIVATION

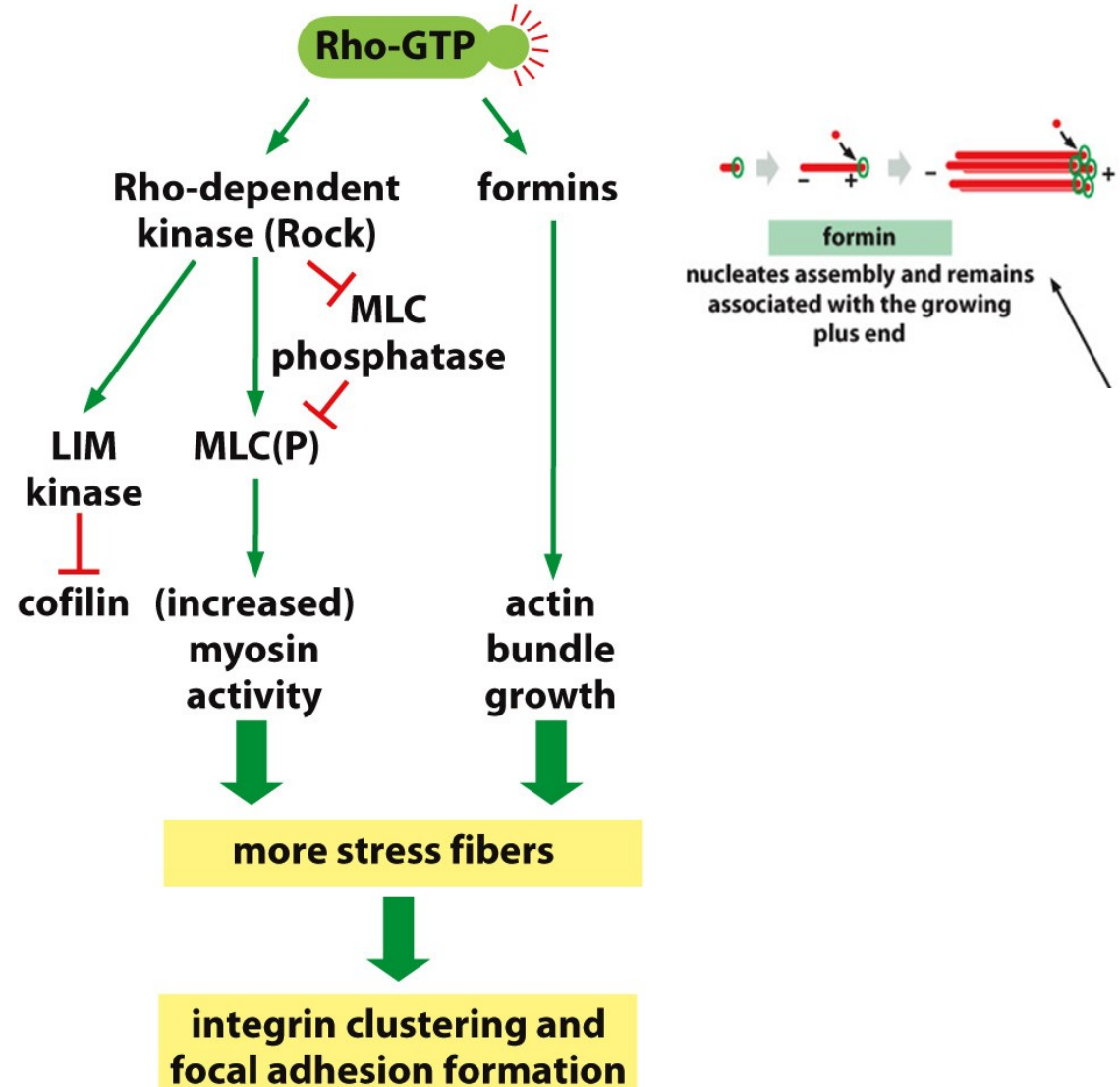
20  $\mu$ m

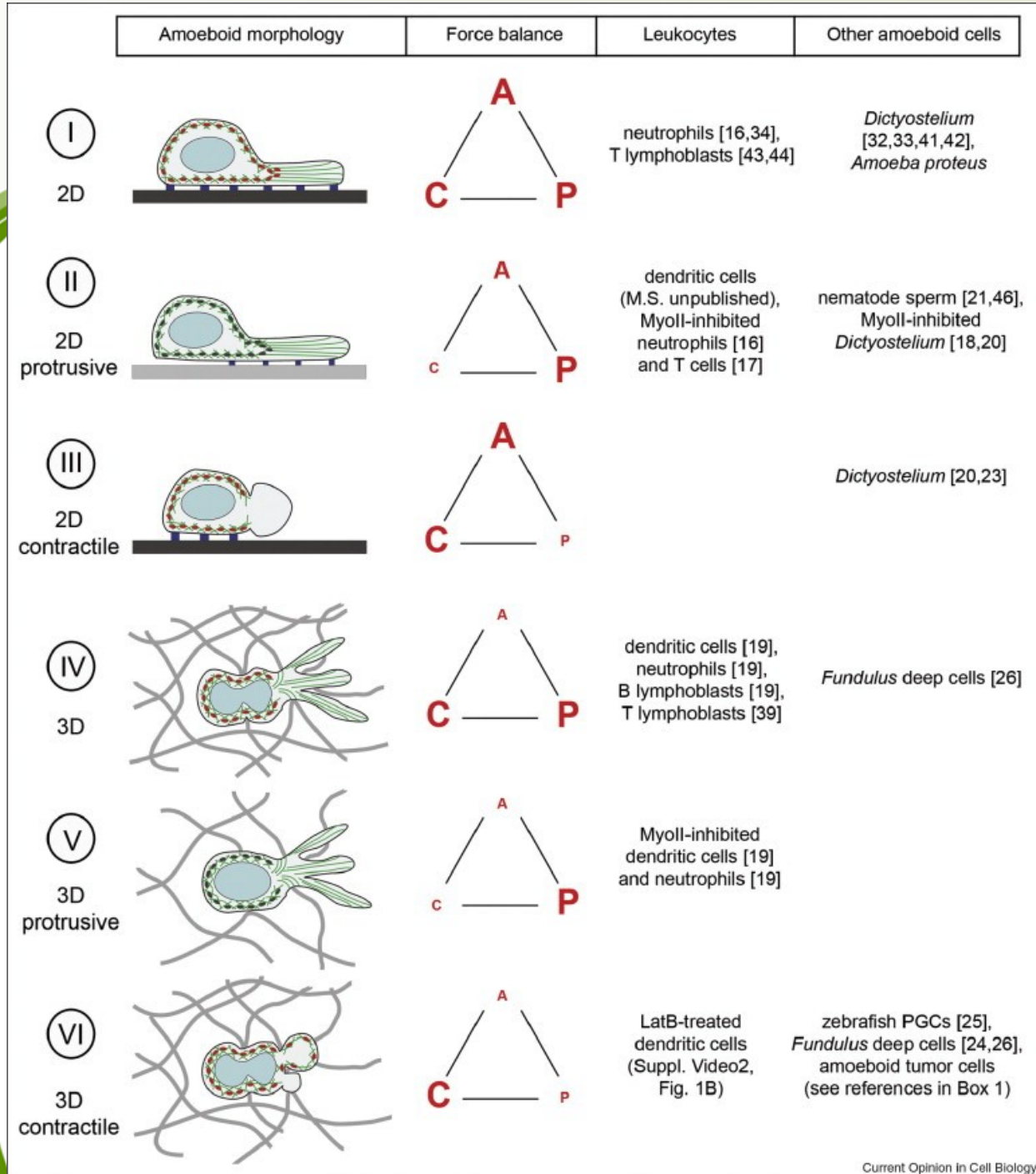
# Malé GTPázy z Rho rodiny jsou klíčové regulátory cytoskeletu

POHYB



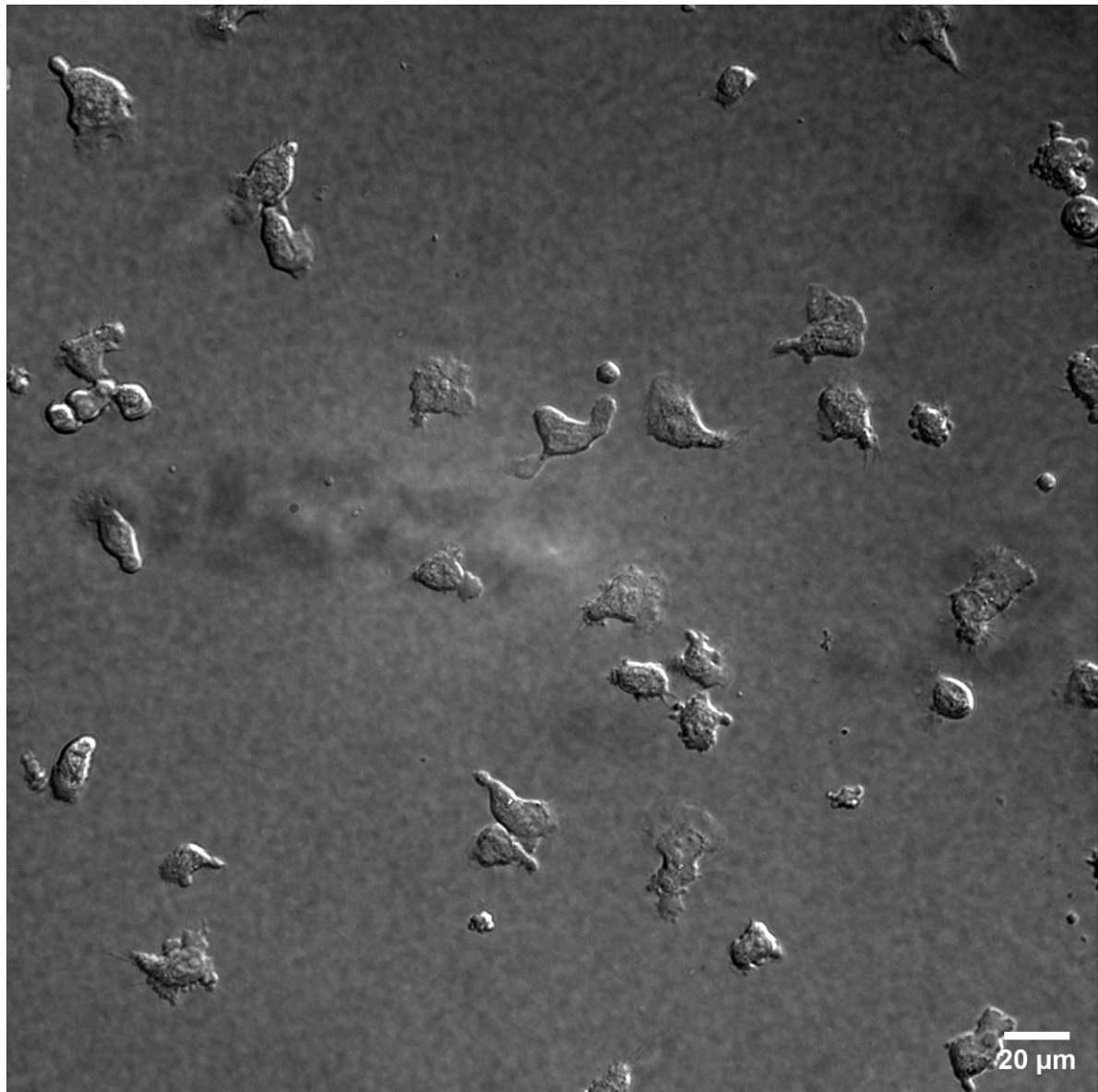
# Pohyb buňky po substrátu





Adhesion  
Protrusion  
Contraction

# POHYB



## Jak buňka určí směr?

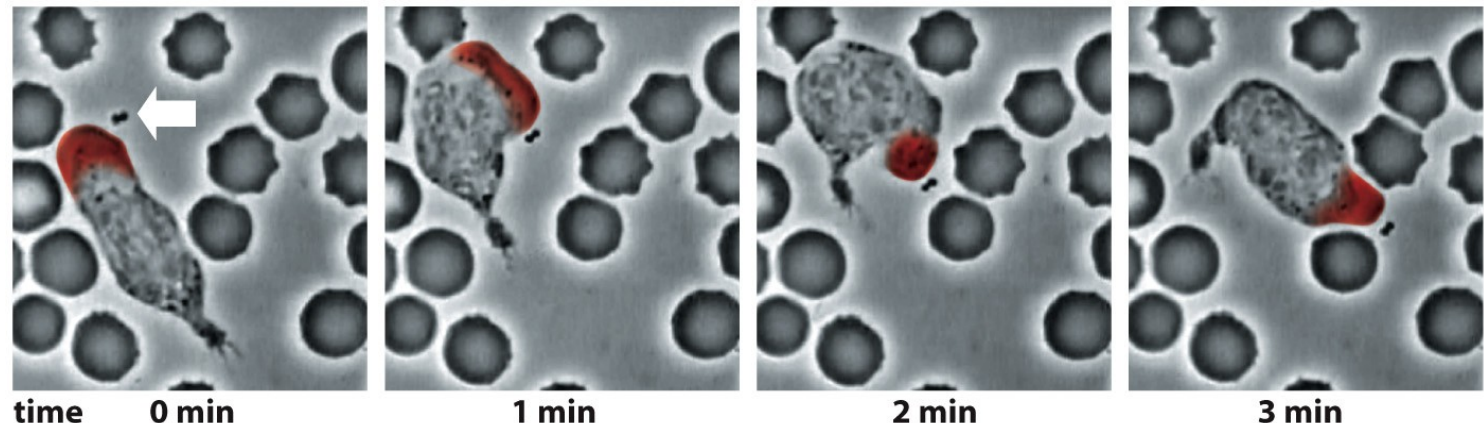
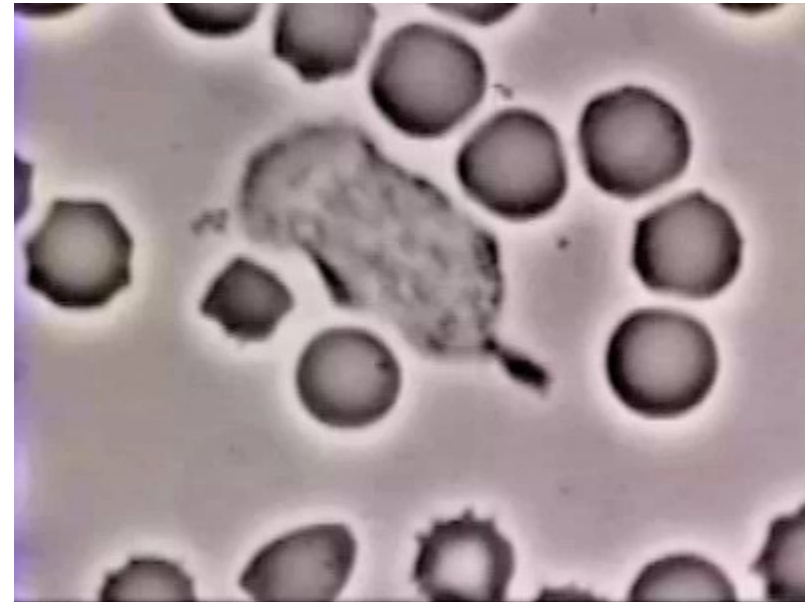


Figure 16-3 Molecular Biology of the Cell 6e (© Garland Science 2015)

# Pohyb buňky po substrátu

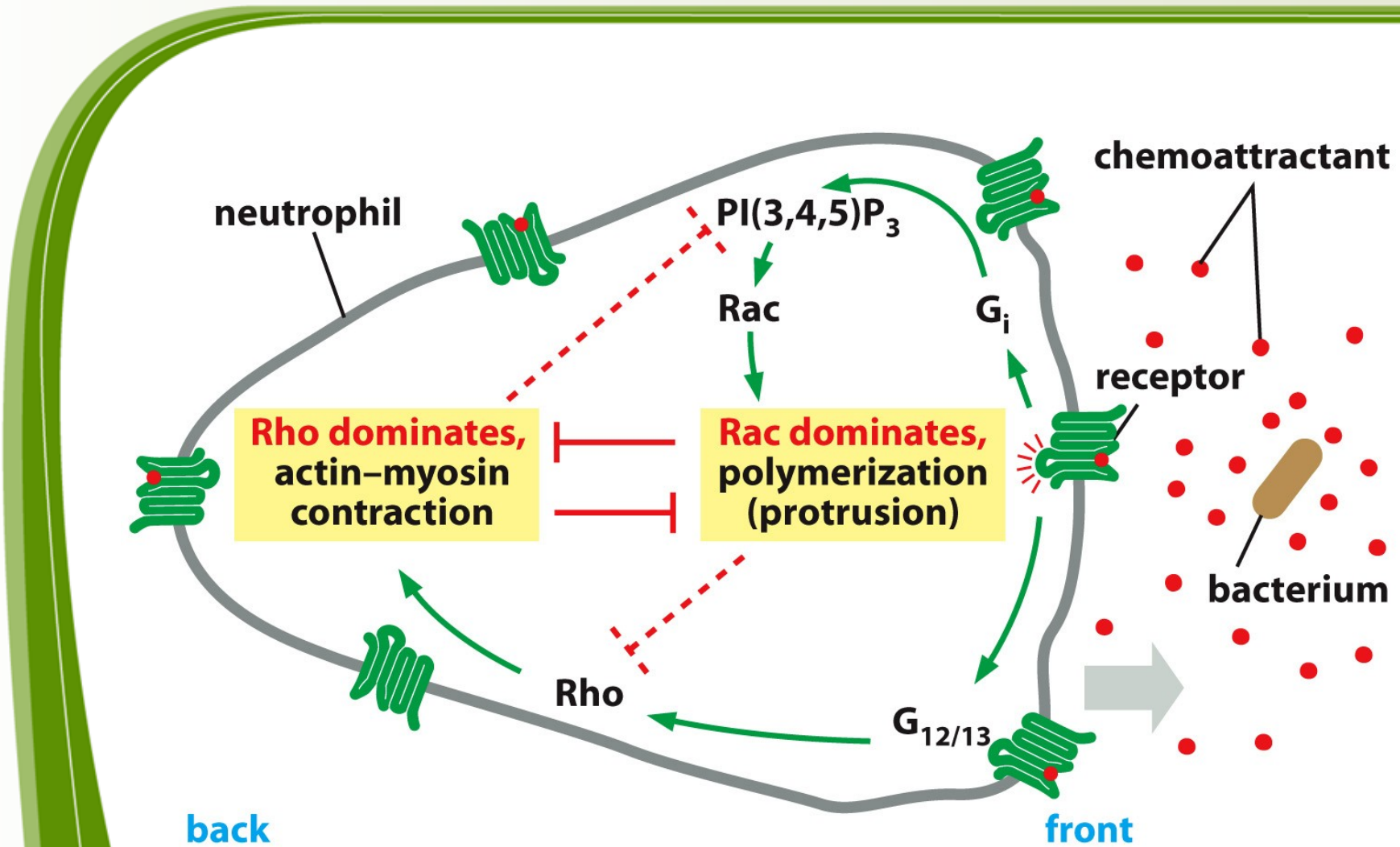


Figure 16-86b Molecular Biology of the Cell 6e (© Garland Science 2015)

## **Mechanika buněčného dělení**

# Buněčný cyklus - připomenutí

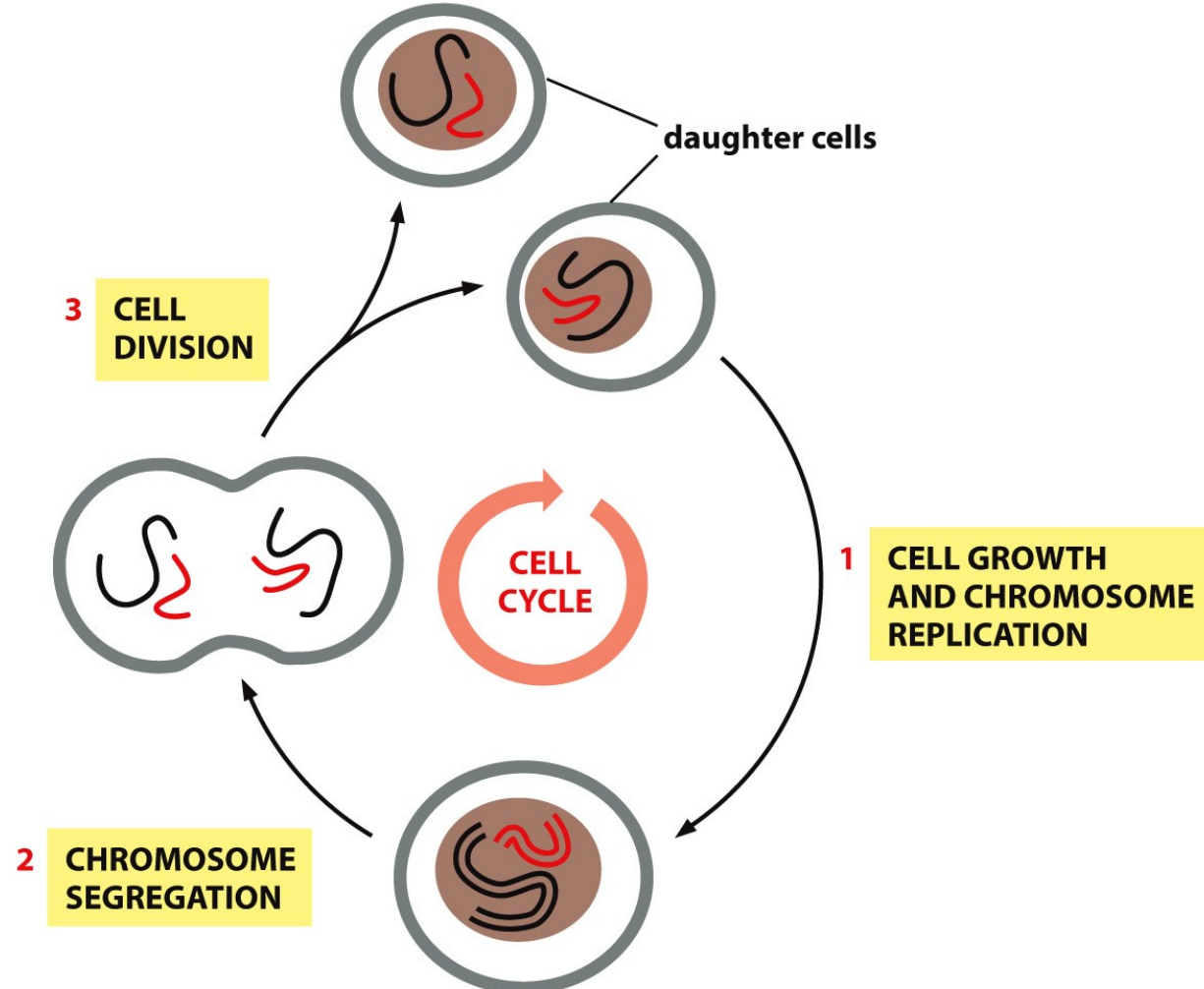
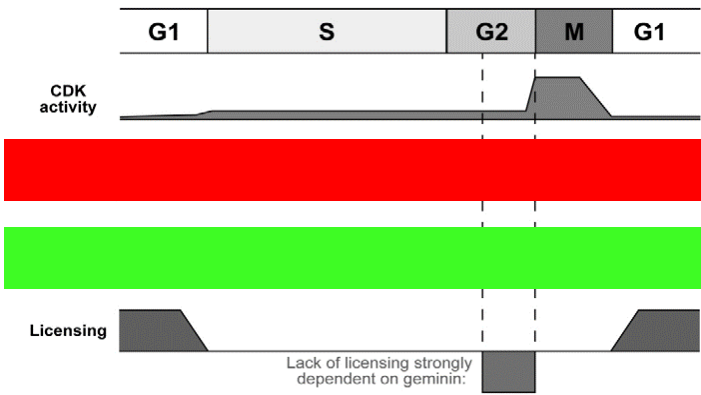
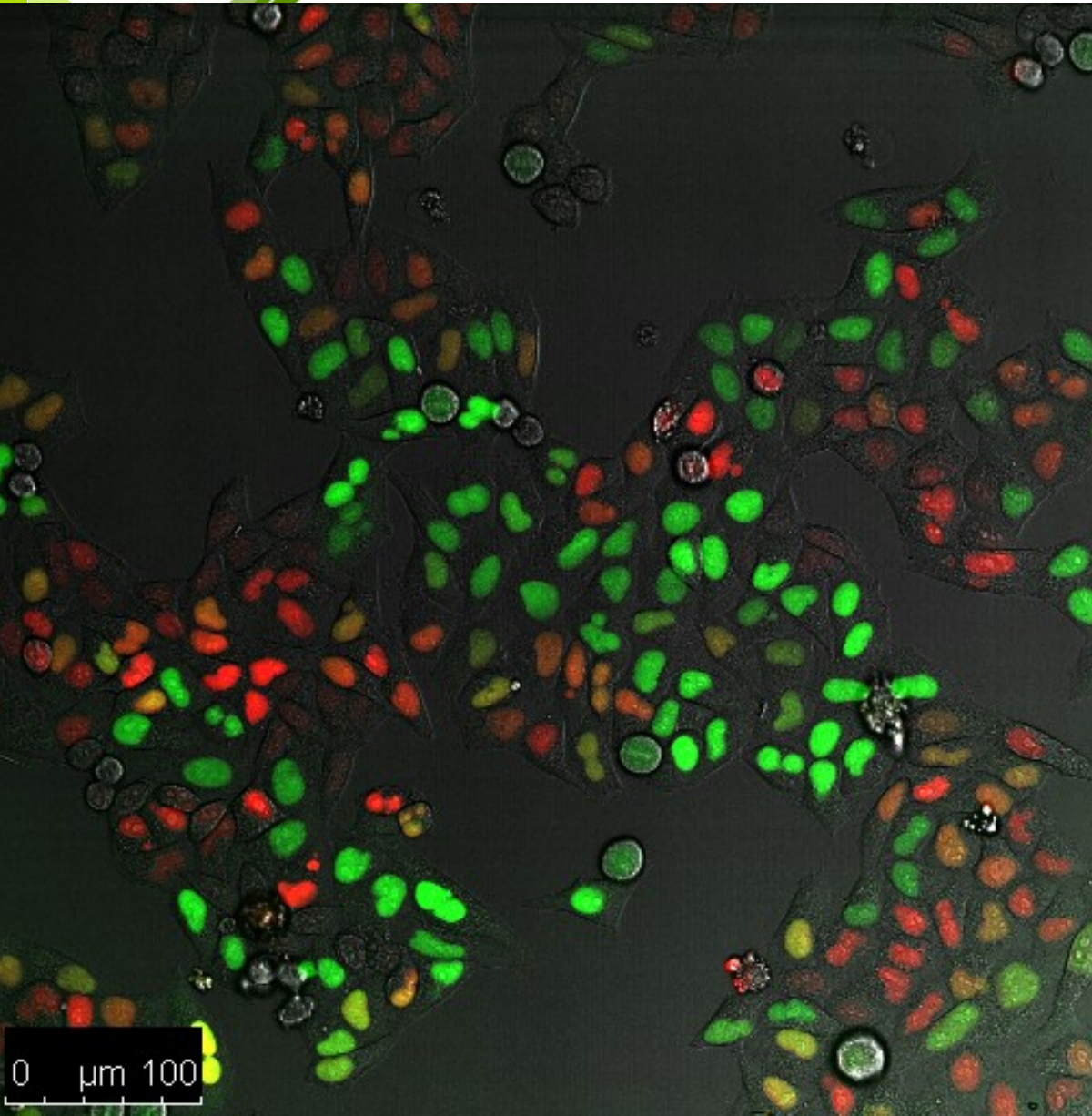


Figure 17-1 Molecular Biology of the Cell 6e (© Garland Science 2015)

B

## HeLa buňky – systém Fucci



# Mechanika buněčného dělení

Aktin – červeně  
Tubulin – zeleně  
DNA - hnědě

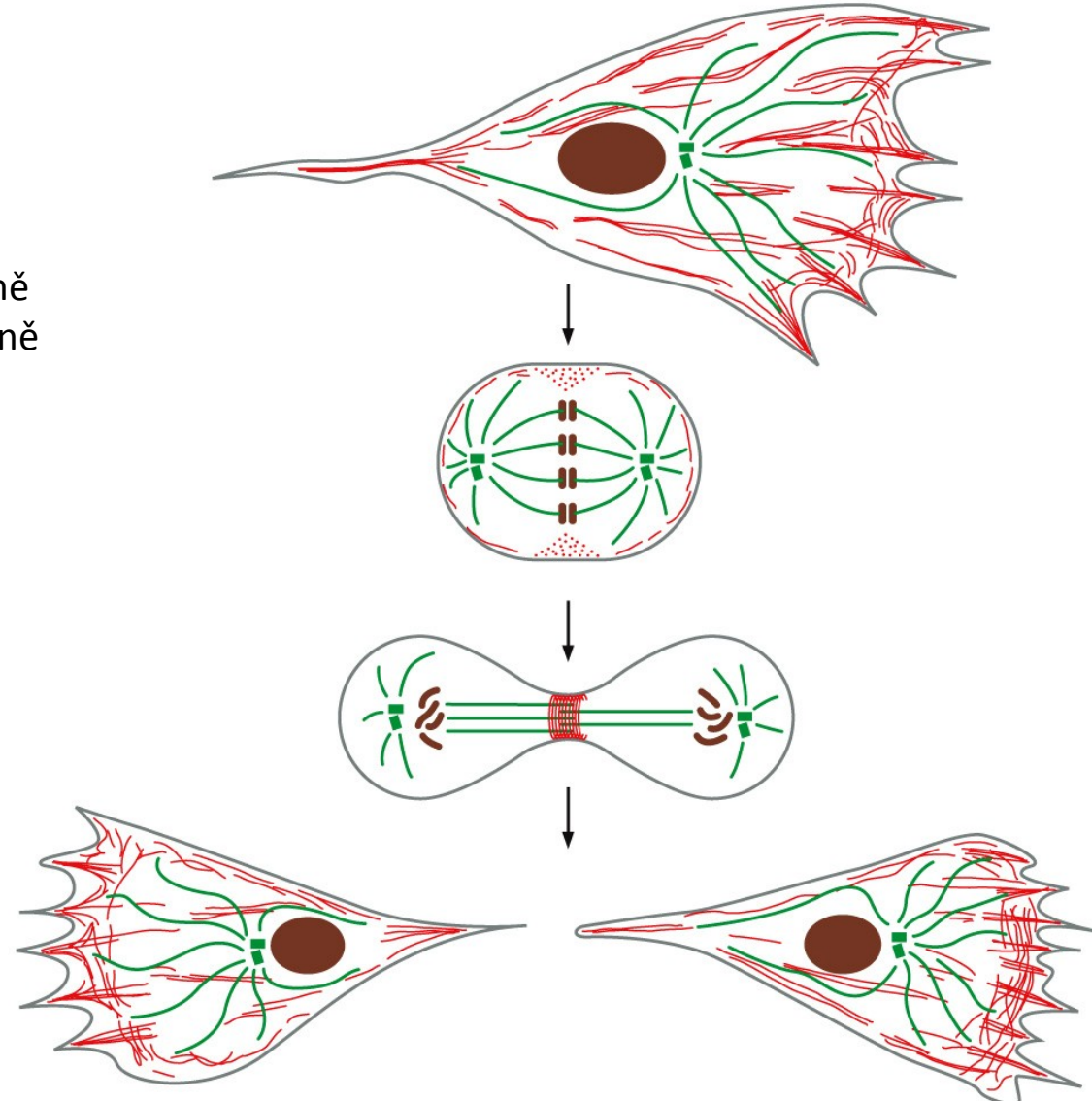
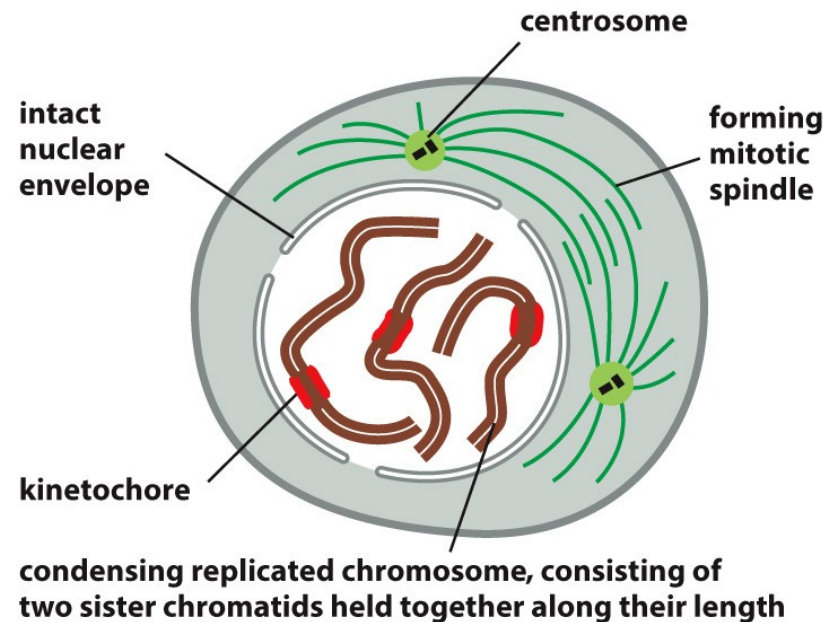


Figure 16-2 Molecular Biology of the Cell 6e (© Garland Science 2015)

# Mitoza - shrnutí

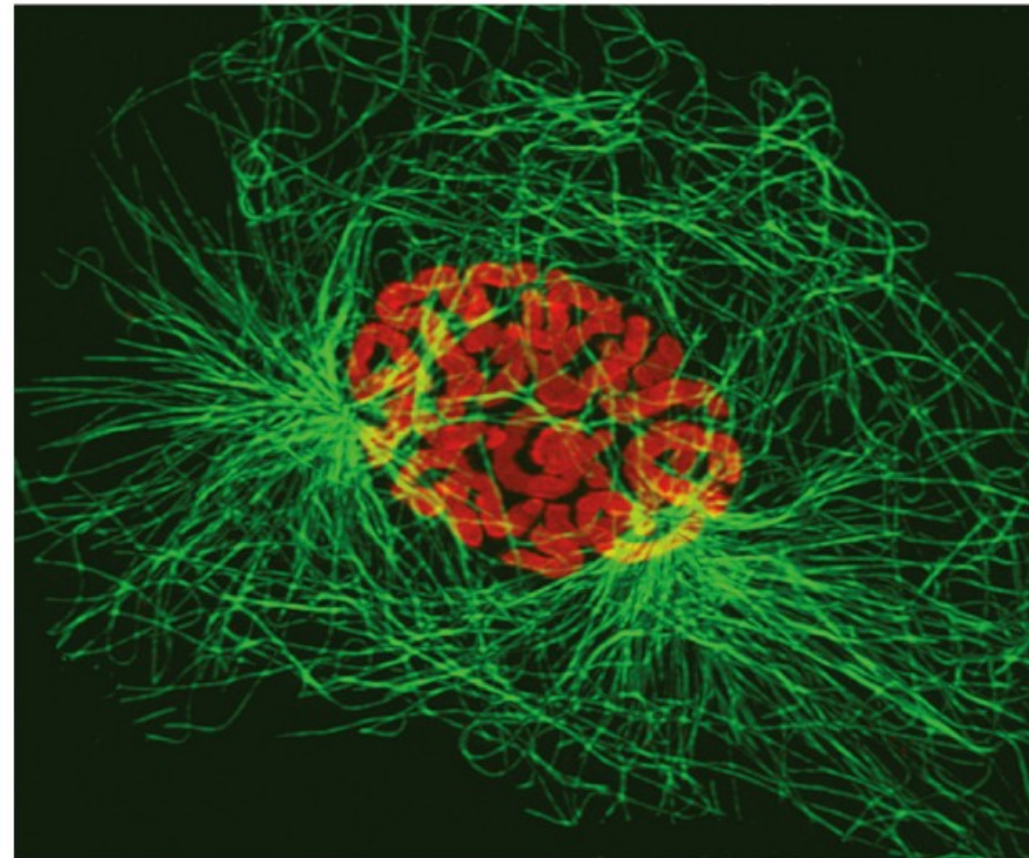
## 1 PROFÁZE



- ➔ replikované chromozomy kondenzují (každý se skládá ze dvou blízce spojených sesterských chromatid); mimo jádro se mezi dvěma centrosomy, které se zreplikovaly a rozdělily, sestavuje mitotické vřeténko
- ➔ v diploidních buňkách je po dvou kopiích od každého chromozomu

## Mechanika buněčného dělení

### 1 PROFÁZE



► chromozomy červeně,  
mikrotubuly zeleně

## Sesterské chromatidy jsou po replikaci spojeny koheziny

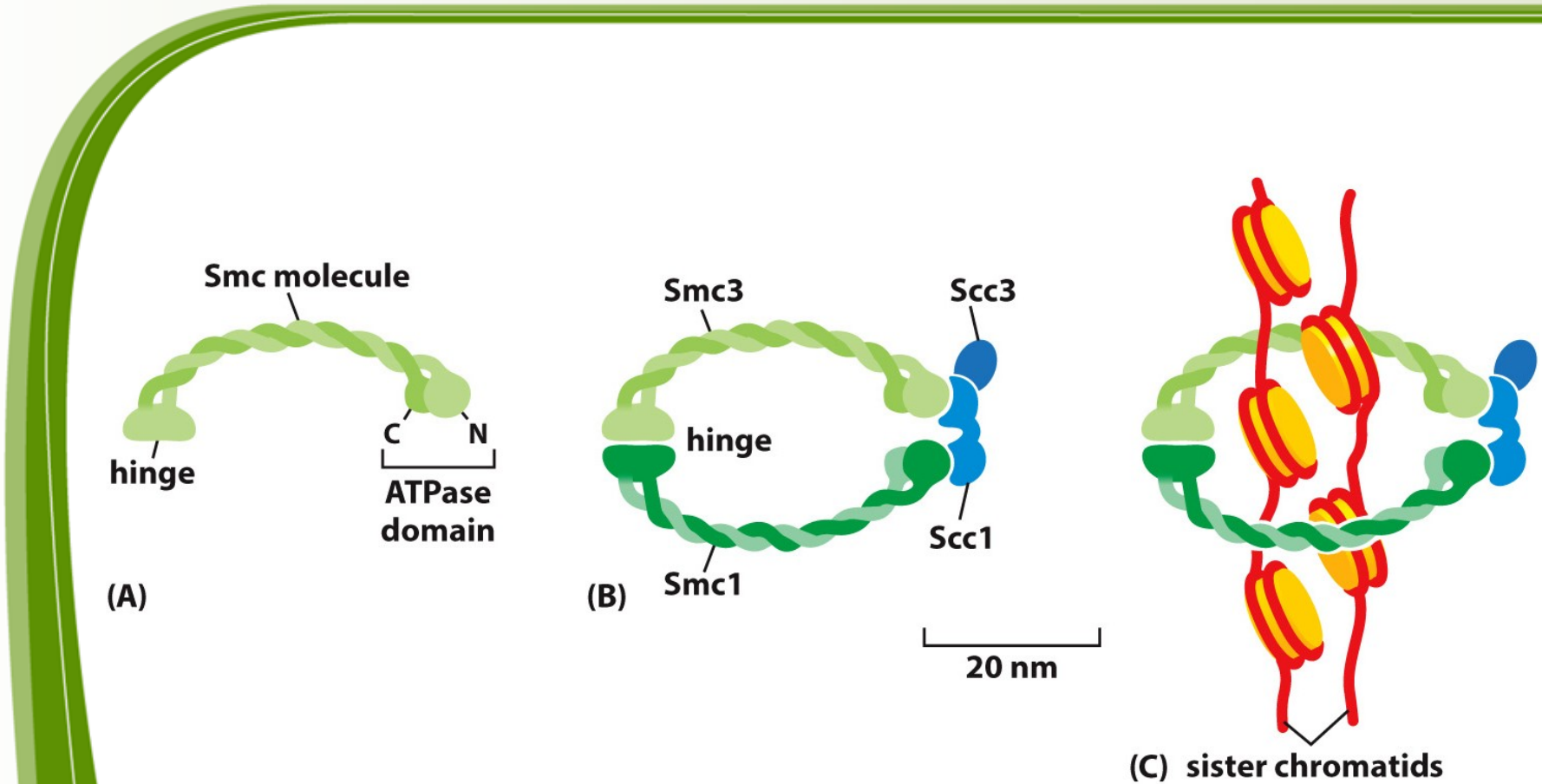


Figure 17-19 Molecular Biology of the Cell 6e (© Garland Science 2015)

Smc – Structural Maintenance of Chromosomes

## V profázi dochází ke kondenzaci chromozómů kondenziny

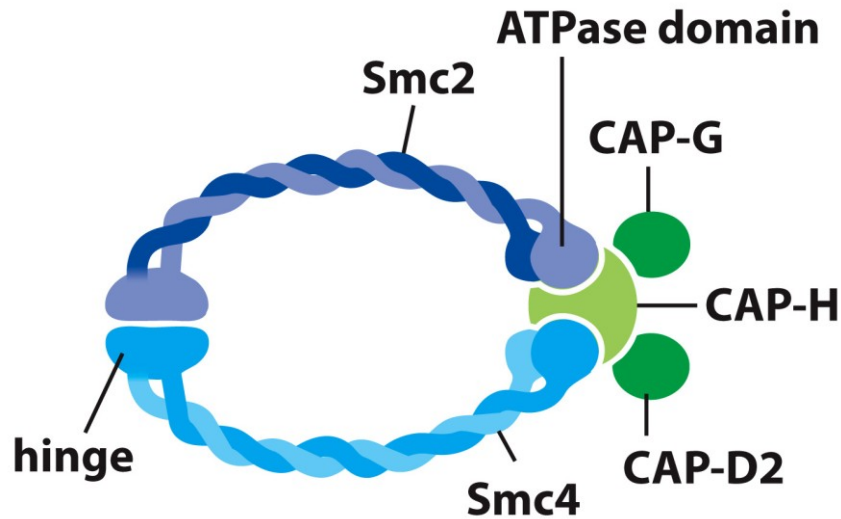
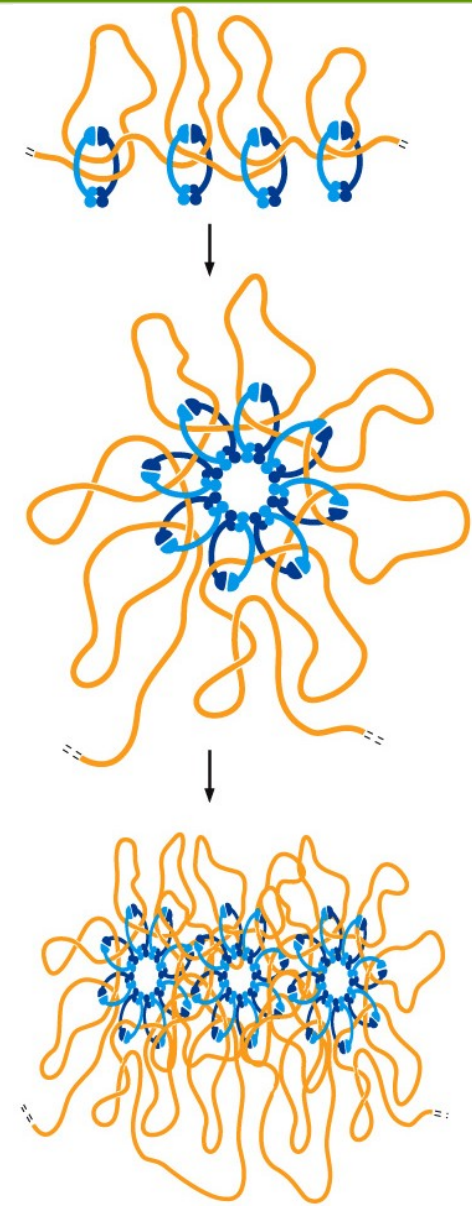


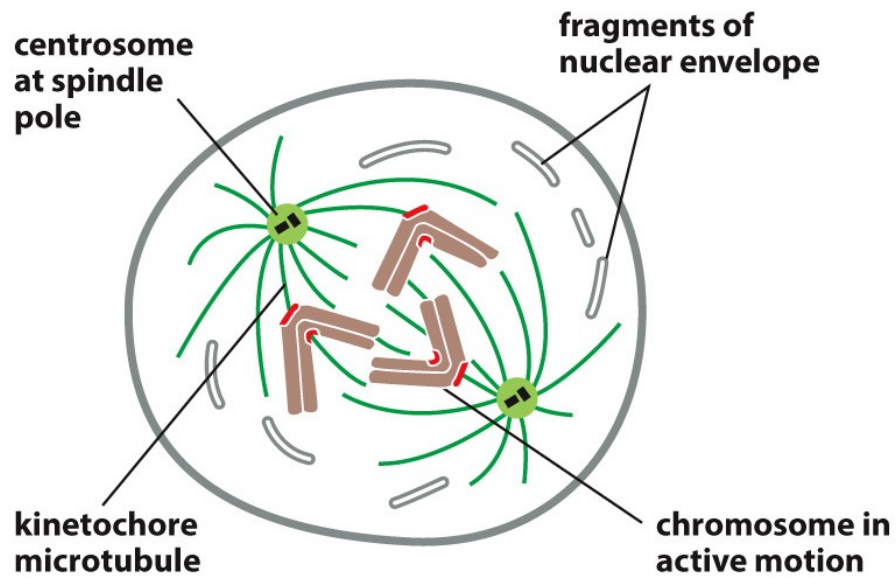
Figure 17-22a Molecular Biology of the Cell 6e (© Garland Science 2015)

- Podobné kohezinům
- Spojují DNA do struktur vyššího rádu v průběhu profáze



# Mechanika buněčného dělení

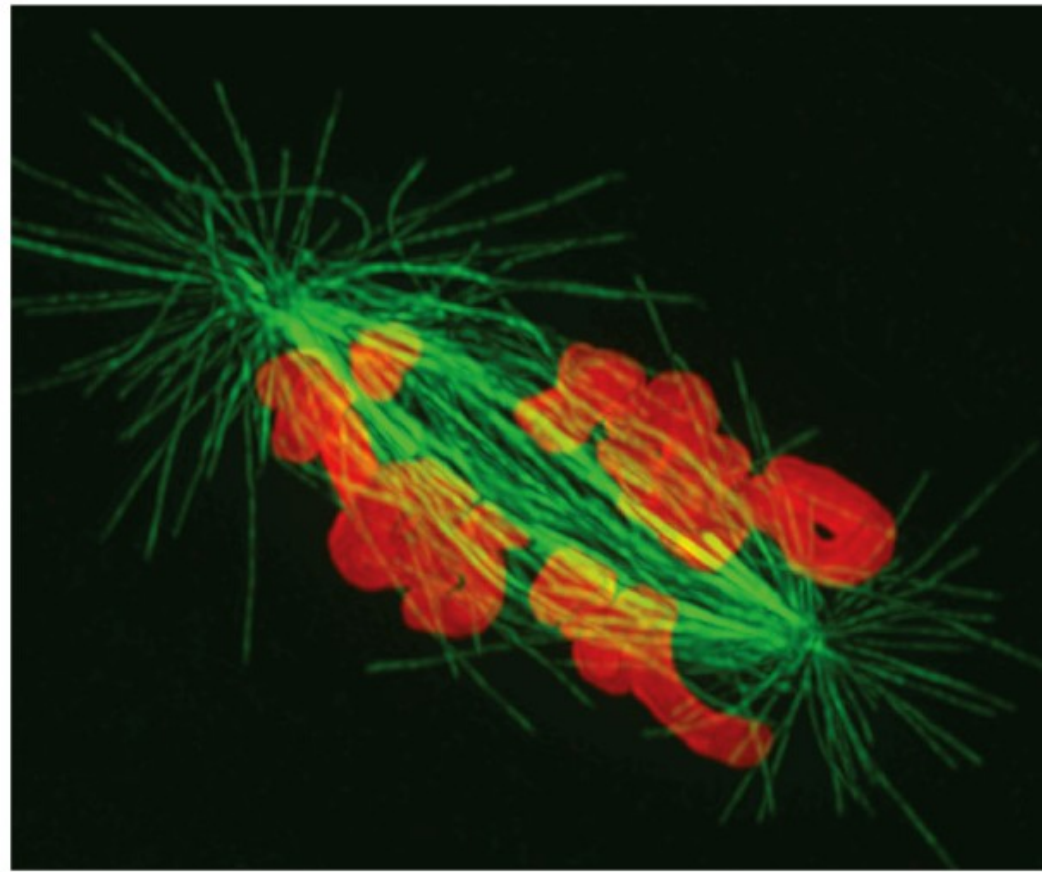
## 2 PROMETAFAZE



- ▶ profáze náhle přechází do prometafáze rozpadem jaderné membrány
- ▶ chromozomy se tak nyní mohou svými kinetochory napojit na mikrotubuly dělicího vřeténka a začít se aktivně pohybovat

# Mechanika buněčného dělení

## 2 PROMETAFAZE



► chromozomy červené,  
mikrotubuly zeleně

# Tři hlavní typy mikrotubulů v mitóze

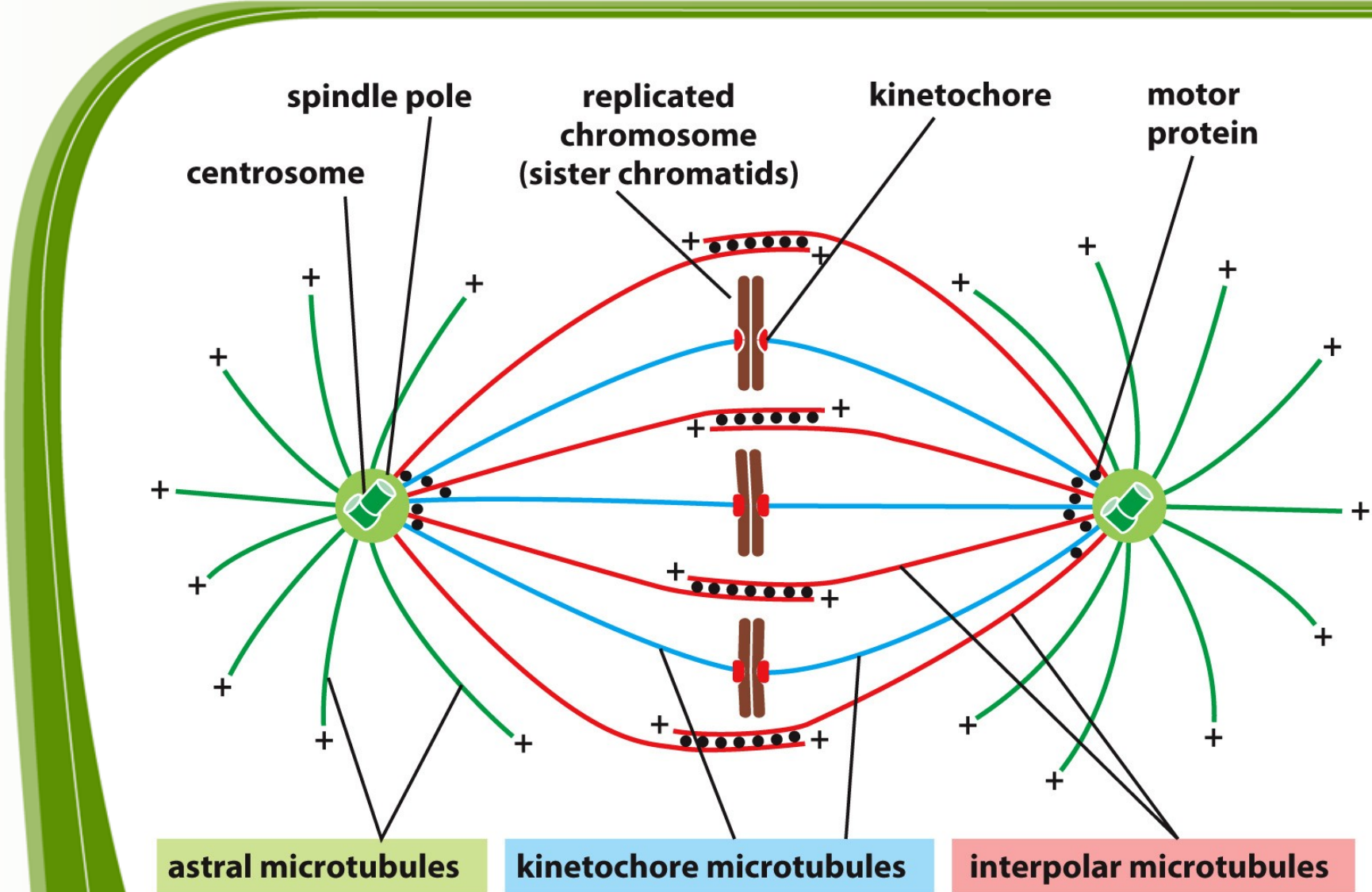


Figure 17-23 Molecular Biology of the Cell 6e (© Garland Science 2015)

# Shrnutí tvorby mitotického vřeténka: profáze-metafáze

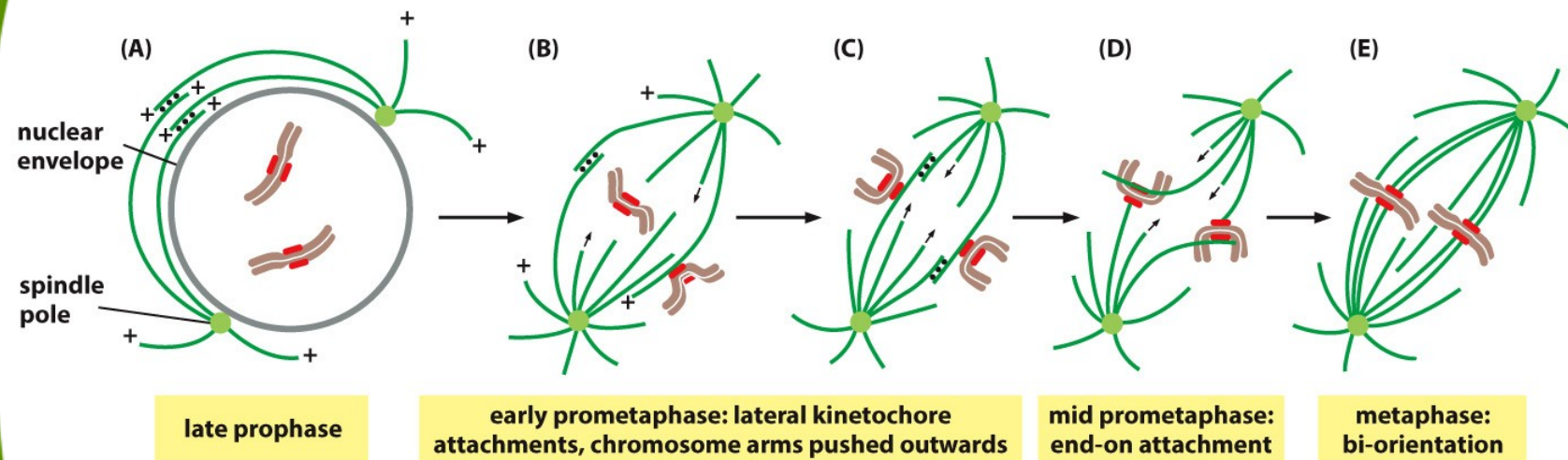


Figure 17-32 Molecular Biology of the Cell 6e (© Garland Science 2015)

# Hlavní cytoskeletární motory zahrnuté v mitoze a jejich funkce

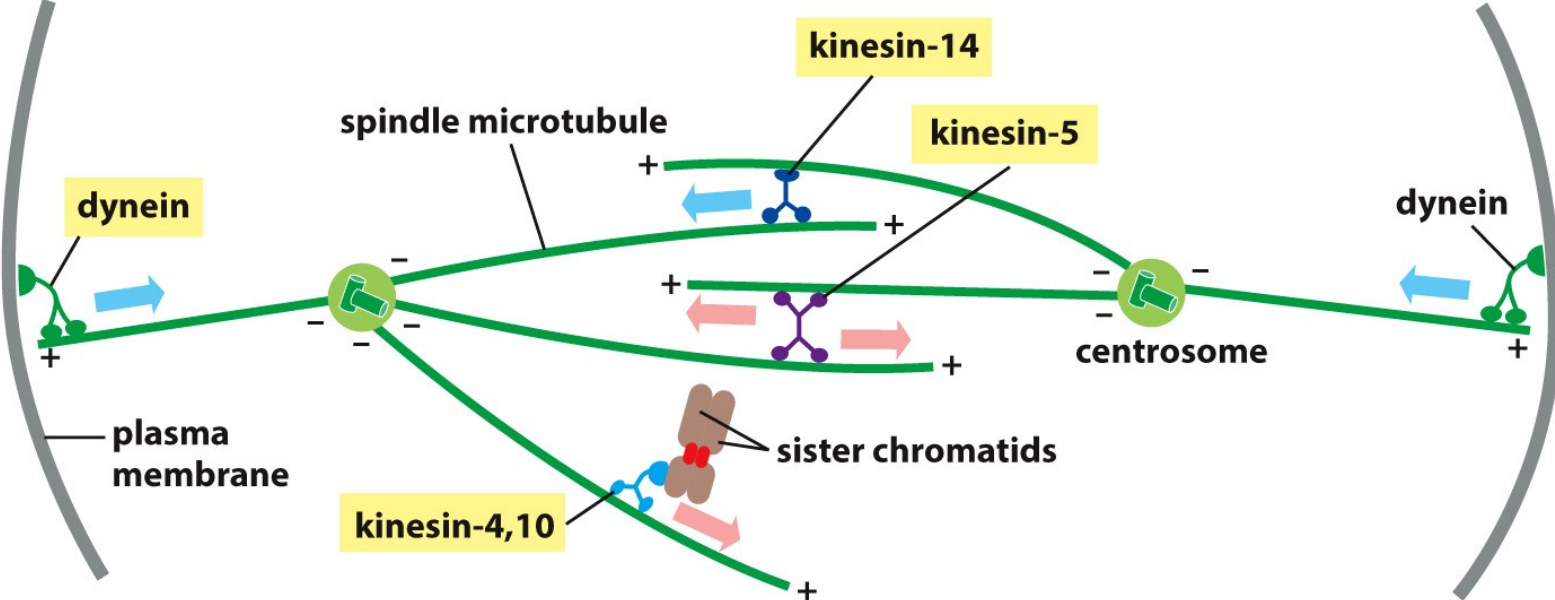


Figure 17-25 Molecular Biology of the Cell 6e (© Garland Science 2015)

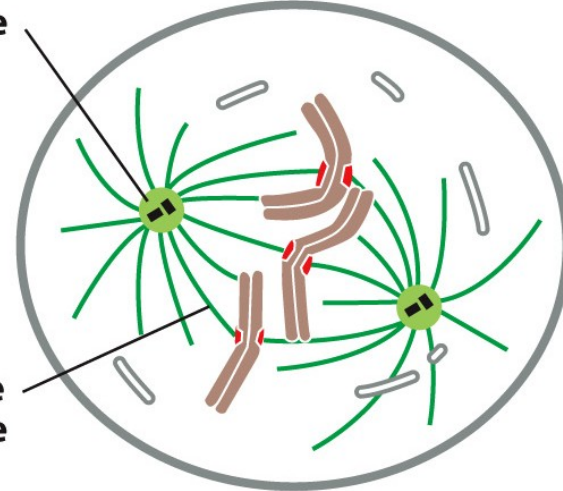
- Kinesin 5 – organizace interpolárních mikrotubulů
- Kinesin 4/10 - transport zachycených chromozomů k +konci mikrotubulů
- Kinesin 14 – atypický (putuje k -konci) kinezin navigující mikrotubuly
- Dynein – připojený k plazmatické membráně „táhne“ astrální mikrotubuly a určuje pozici centrosomu

# Mechanika buněčného dělení

## 3 METAFÁZE

centrosome at  
spindle pole

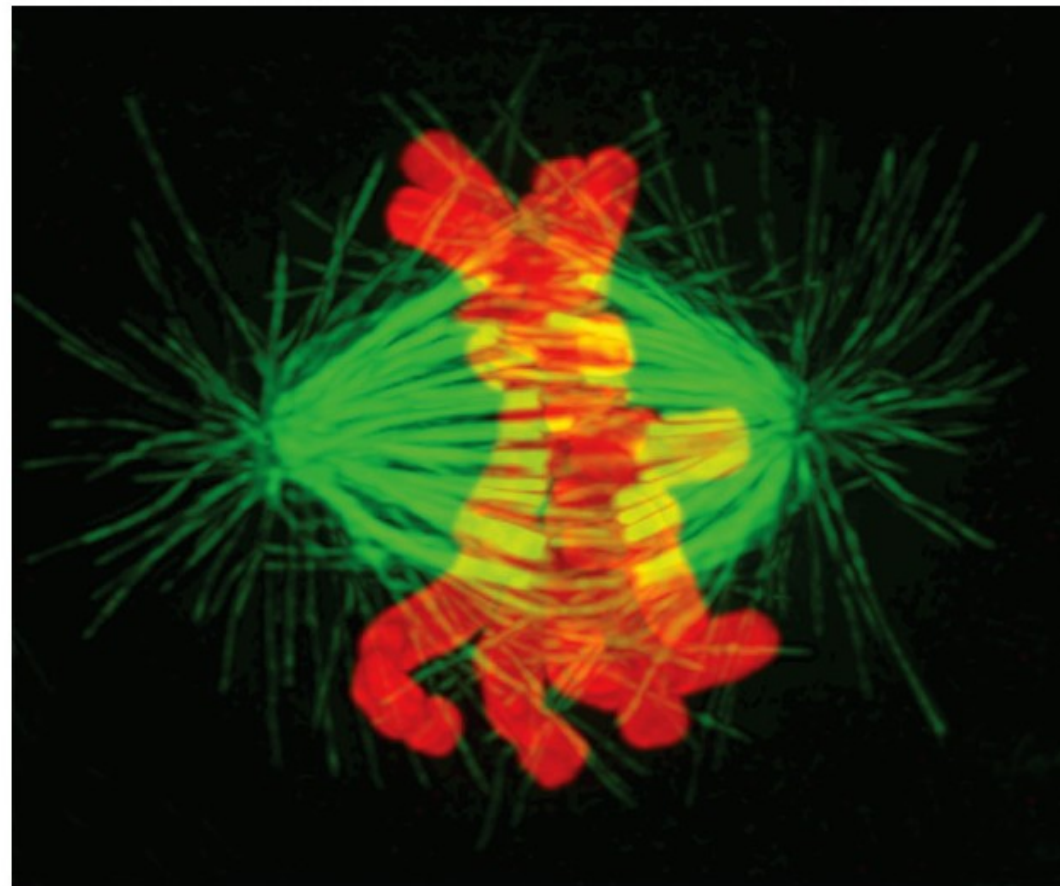
kinetochore  
microtubule



- ▶ v metafázi jsou chromozomy seřazeny v rovníkové oblasti mezi póly dělicího vřeténka
- ▶ kinetochorové mikrotubuly jsou připojeny na sesterské chromatidy a přitahují je k opačným pólům dělicího vřeténka

# Mechanika buněčného dělení

## 3 METAFÁZE



► chromozomy červené,  
mikrotubuly zeleně

# Připojení mikrotubulů ke kinetochore ře metafázních chromozomů

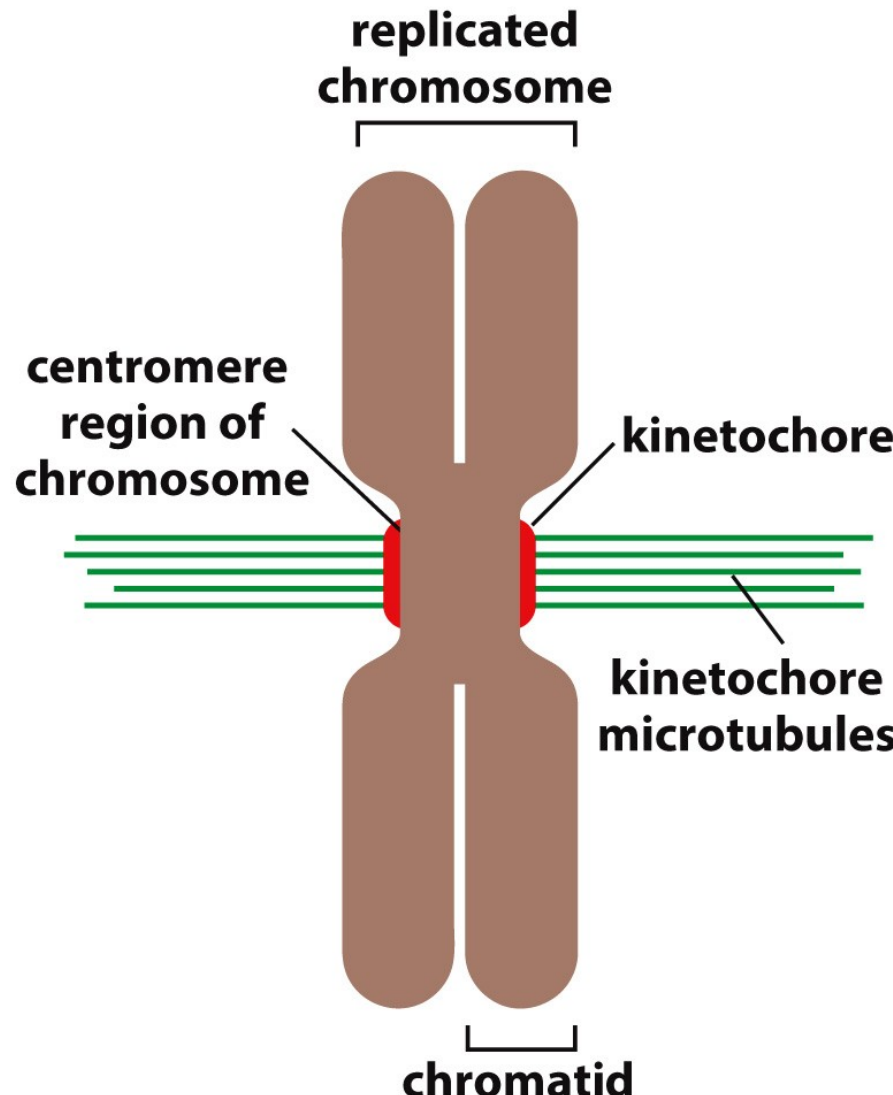


Figure 17-30b Molecular Biology of the Cell 6e (© Garland Science 2015)

# Chromozomy nejsou pouzí pasažéři: Aktivace malé GTPázy Ran v metafázi

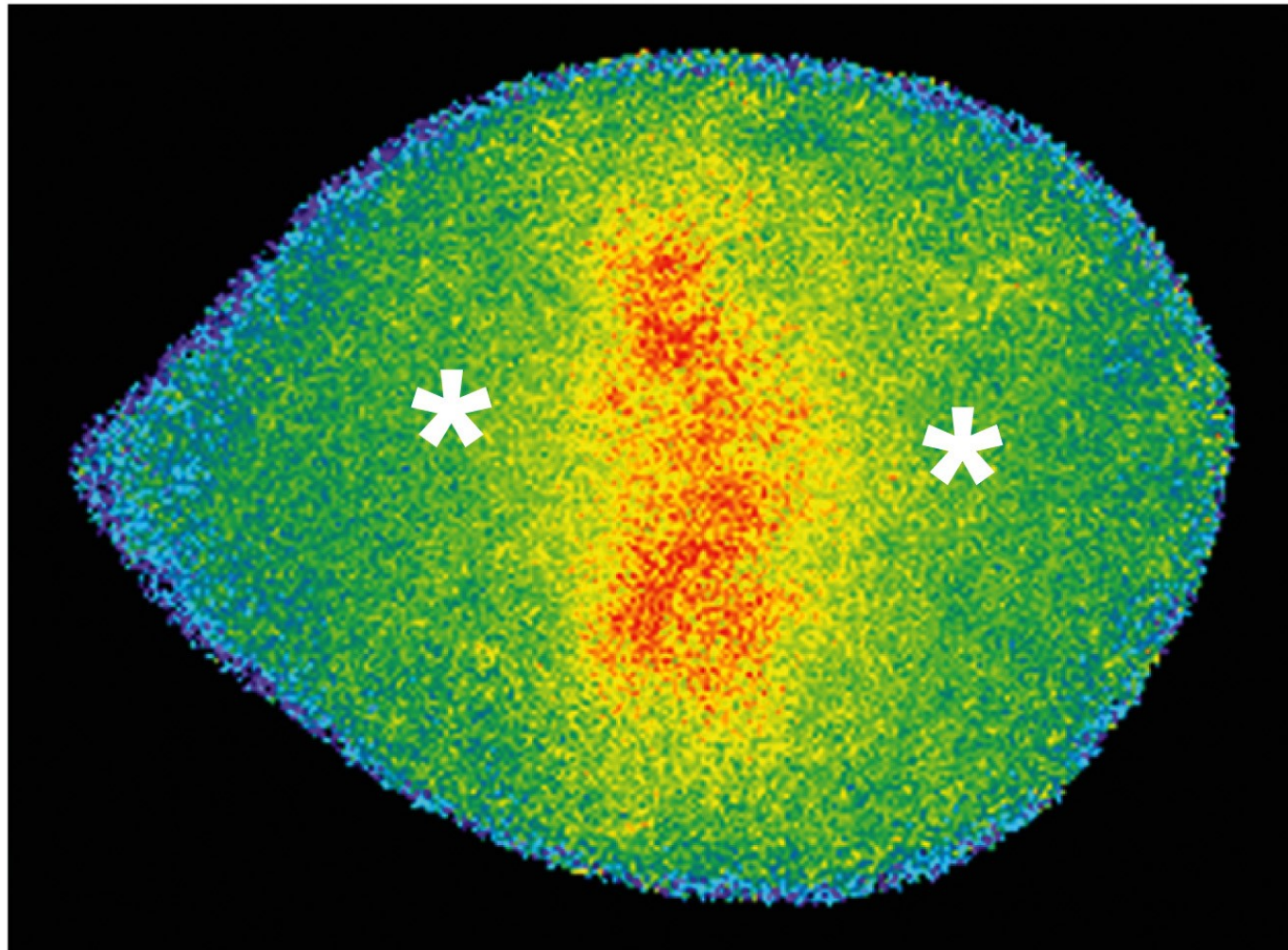
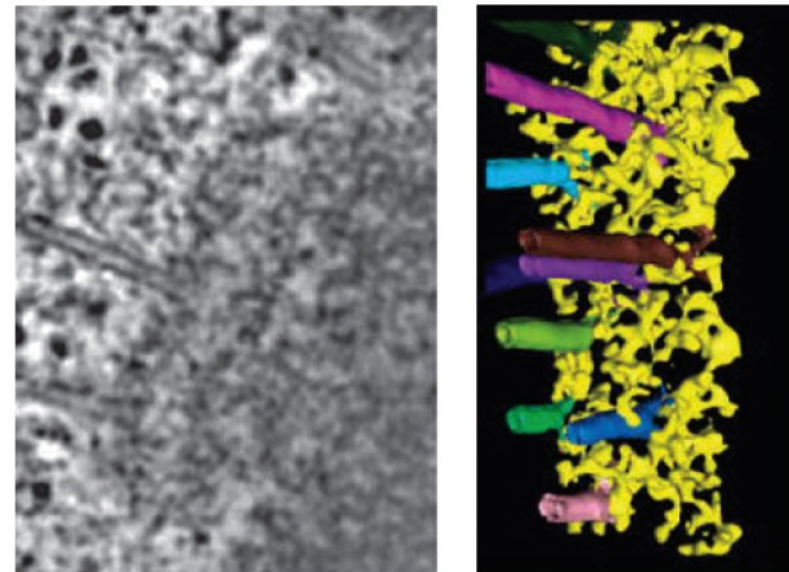


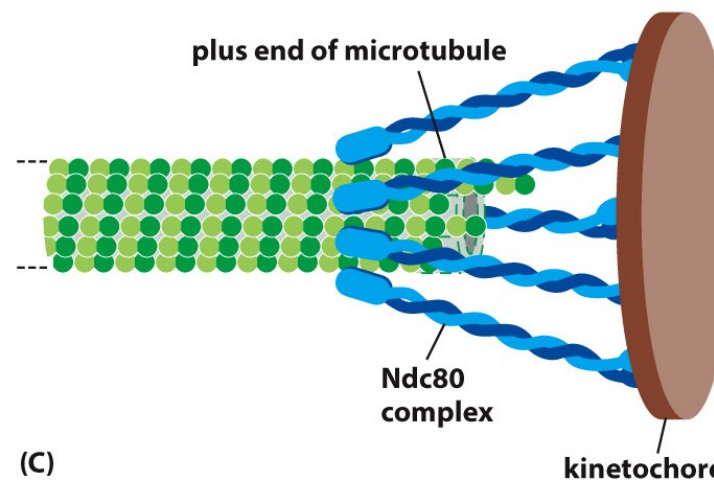
Figure 17-27 Molecular Biology of the Cell 6e (© Garland Science 2015)

# Savčí chromozom – desítky mikrotubulů, spojených komplexem Ndc80

POHYB



(A) 100 nm (B)



# Princip správného připojení mikrotubulů

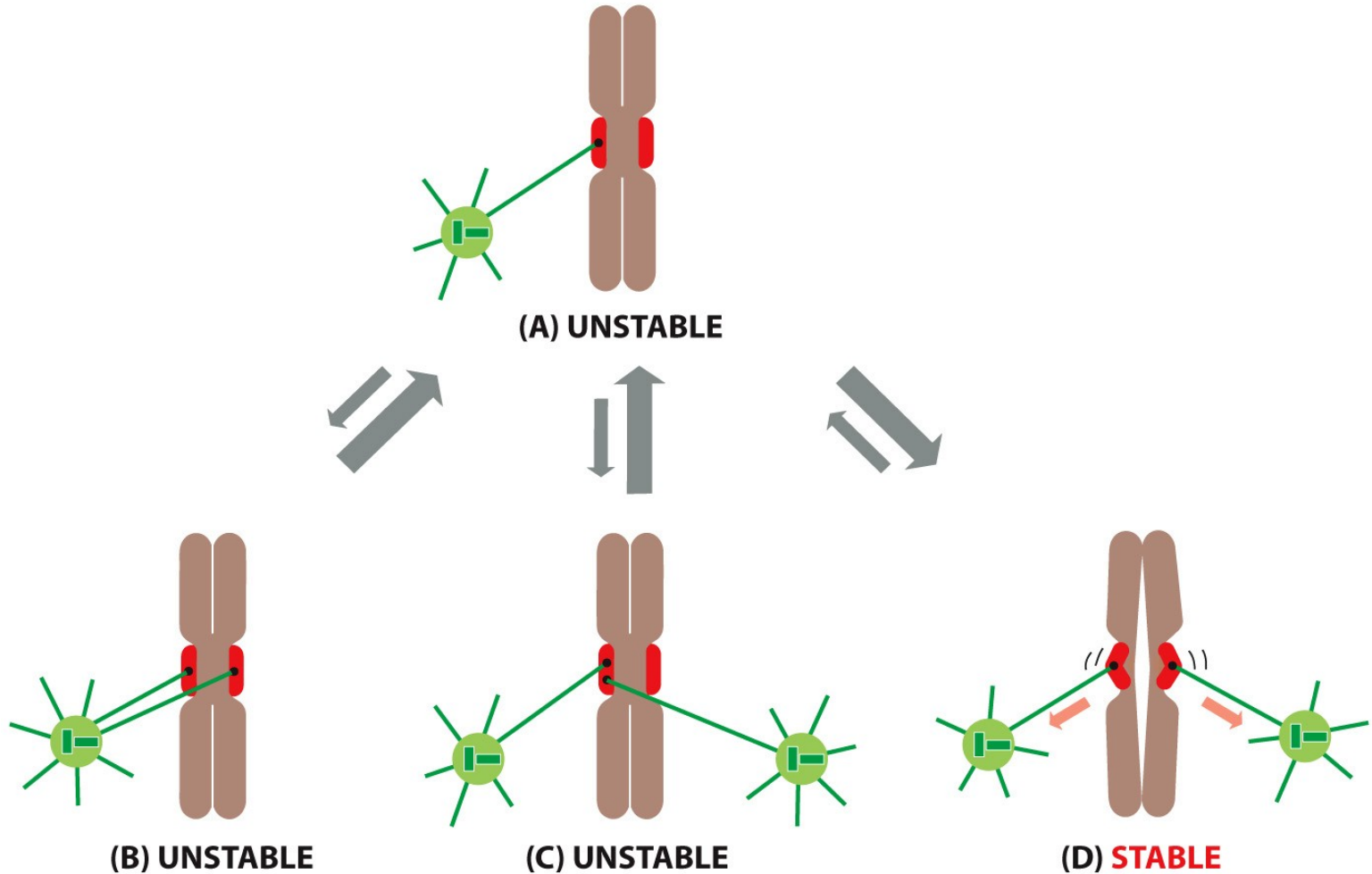
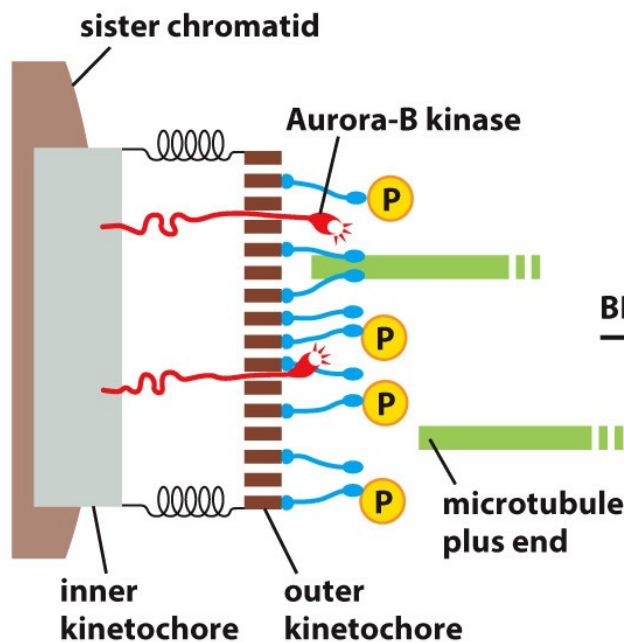


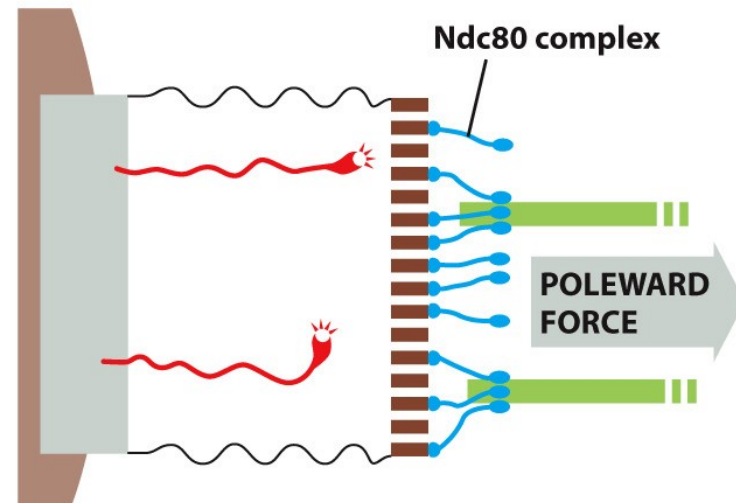
Figure 17-33 Molecular Biology of the Cell 6e (© Garland Science 2015)

# Detekce „pnutí“ v kinetochore – role kinázy Aurora B



(A) LOW TENSION

BI-ORIENTATION

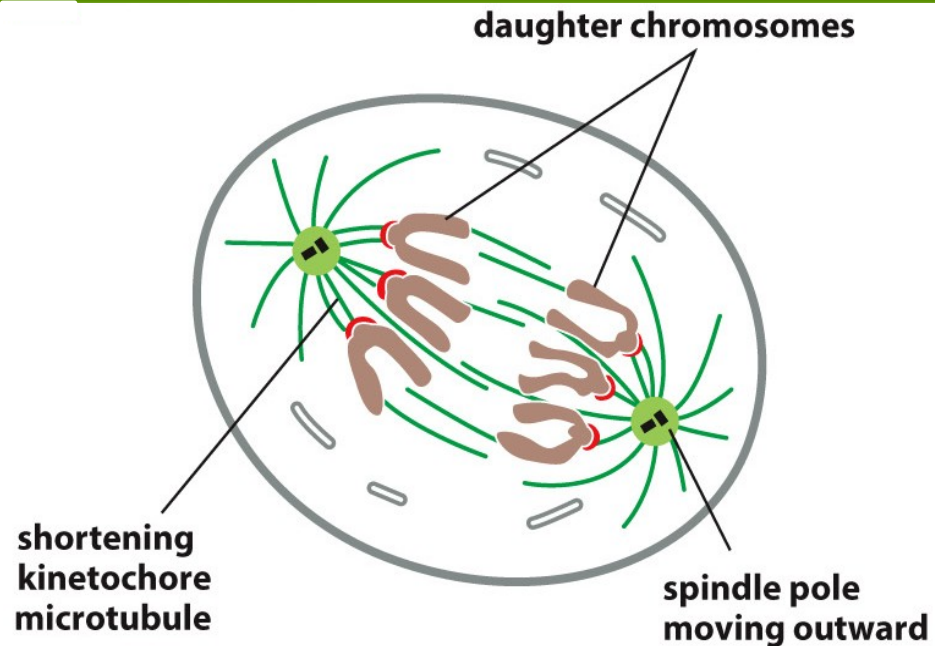


(B) HIGH TENSION

Figure 17-34 Molecular Biology of the Cell 6e (© Garland Science 2015)

# Mechanika buněčného dělení

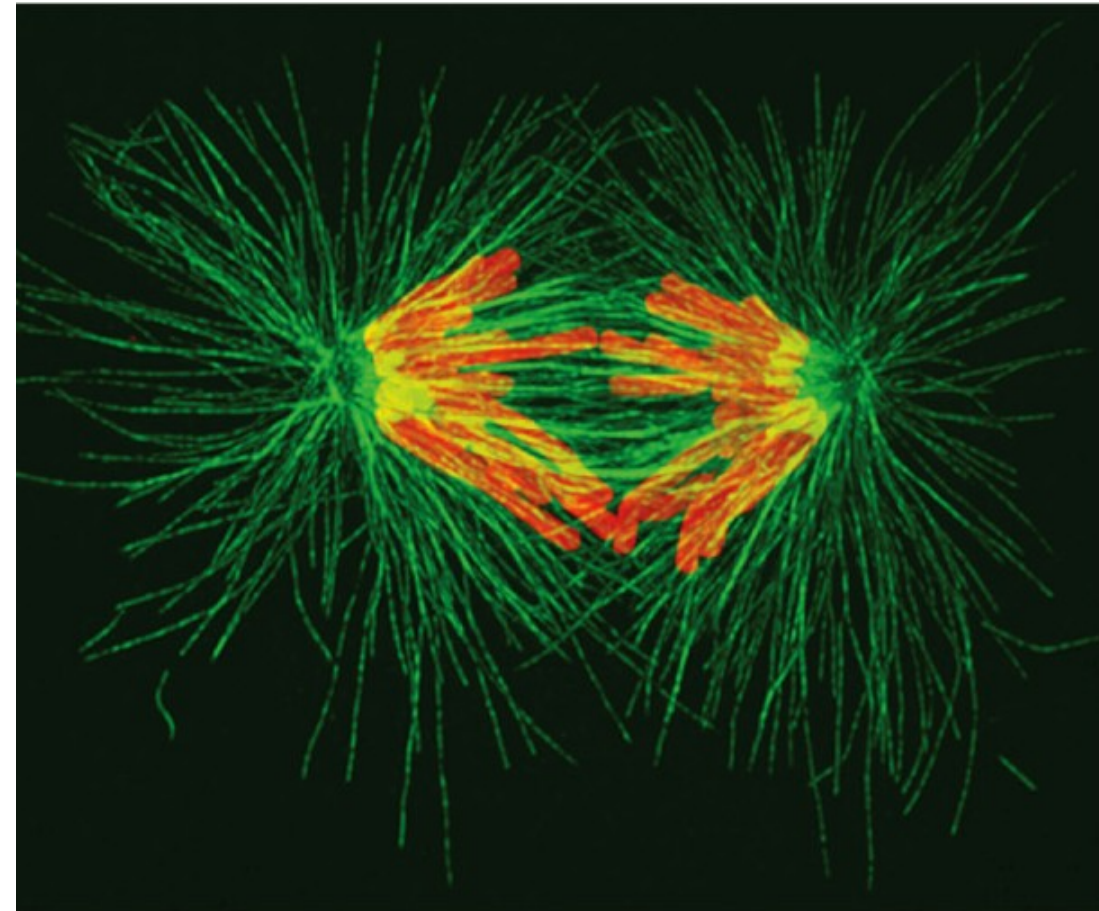
## 4 ANAFÁZE



- ▶ v anafázi se sesterské chromatidy synchronizovaně oddělují a formují tak dva dceřinné chromozomy
- ▶ kinetochorové mikrotubuly se zkracují a póly dělicího vřeténka se ještě vzdalují - každý dceřinný chromozom je tak pomalu tažen směrem k pólům dělicího vřeténka (tzv. segregace chromozomů)

## Mechanika buněčného dělení

### 4 ANAFÁZE



► chromozomy červené,  
mikrotubuly zelené

# Mechanika buněčného dělení

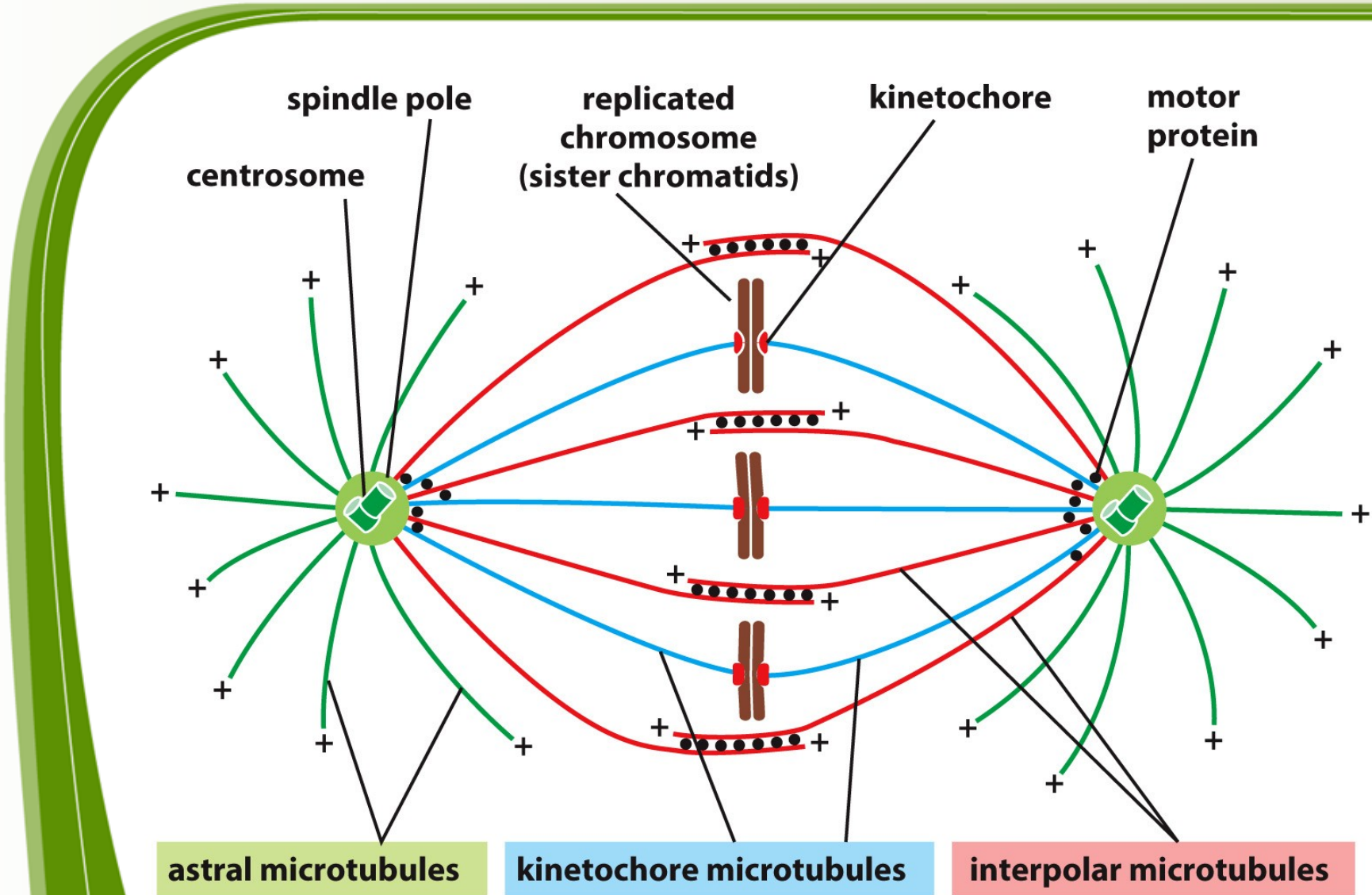
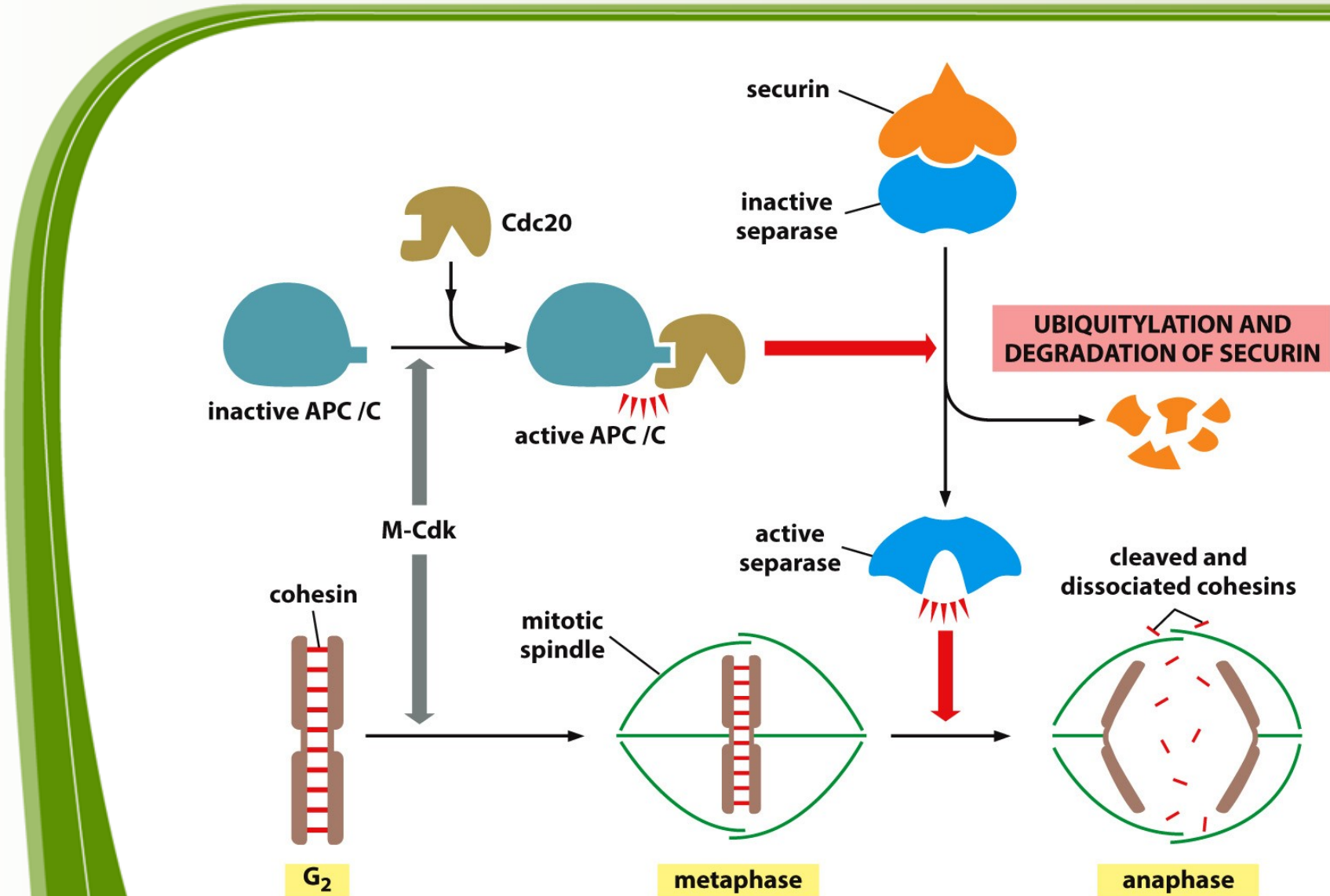


Figure 17-23 Molecular Biology of the Cell 6e (© Garland Science 2015)

# Anafázi spouští aktivace APC/C (anaphase-promoting complex)



# Mechanika buněčného dělení

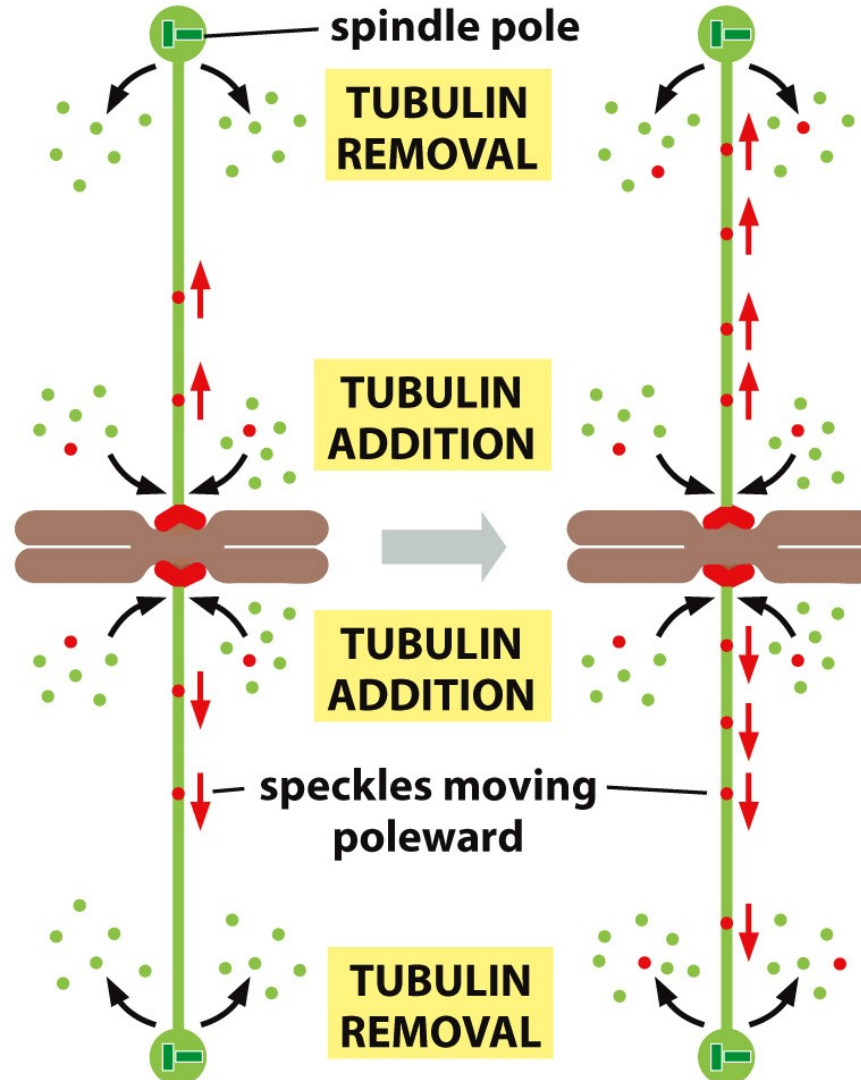


Figure 17-35d Molecular Biology of the Cell 6e (© Garland Science 2015)

## Mechanika buněčného dělení

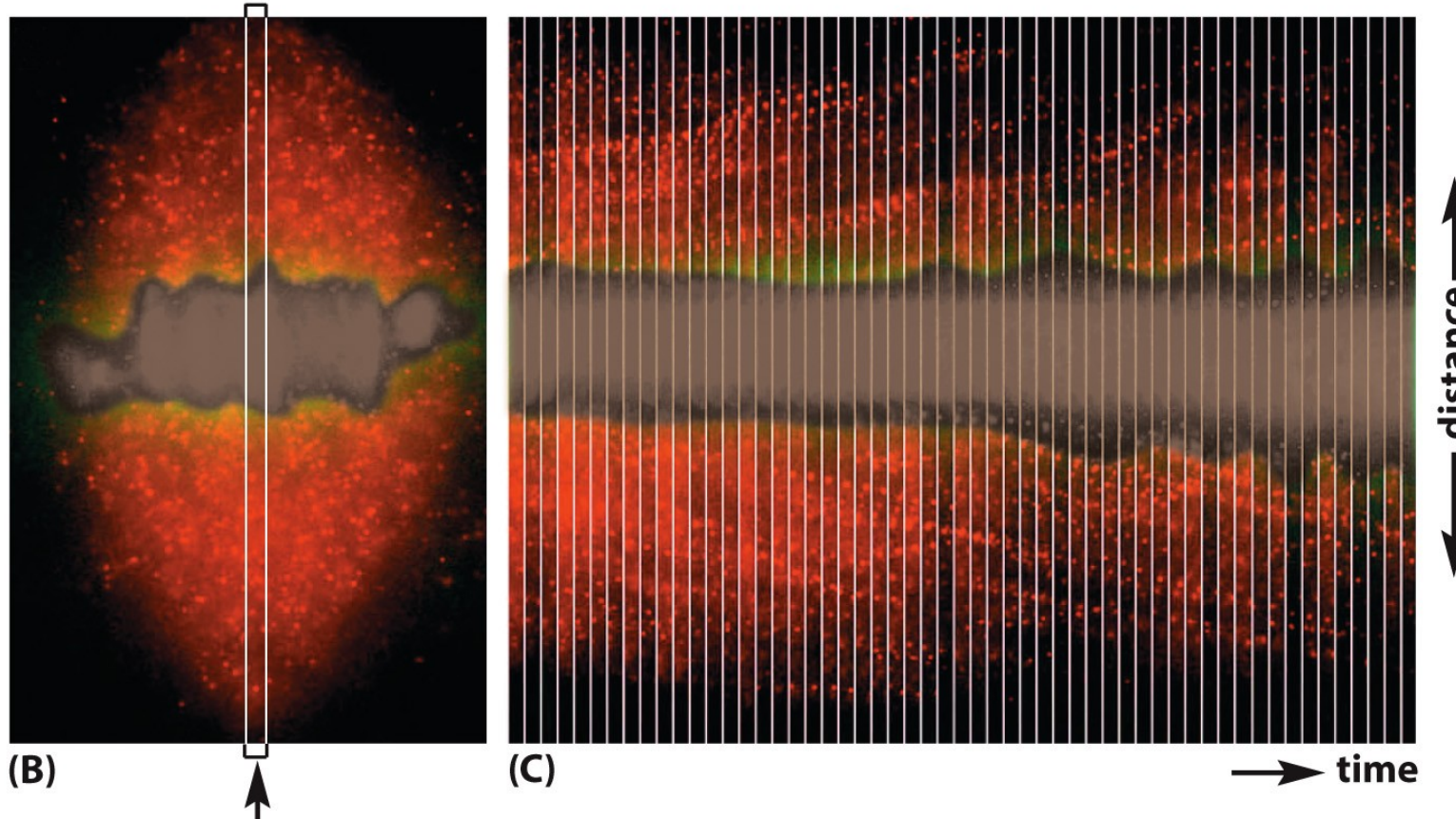


Figure 17-35bc Molecular Biology of the Cell 6e (© Garland Science 2015)

# Mechanika buněčného dělení: kinetochorové proteiny jsou esenciální pro regulaci fyziologické dynamiky mikrotubulů

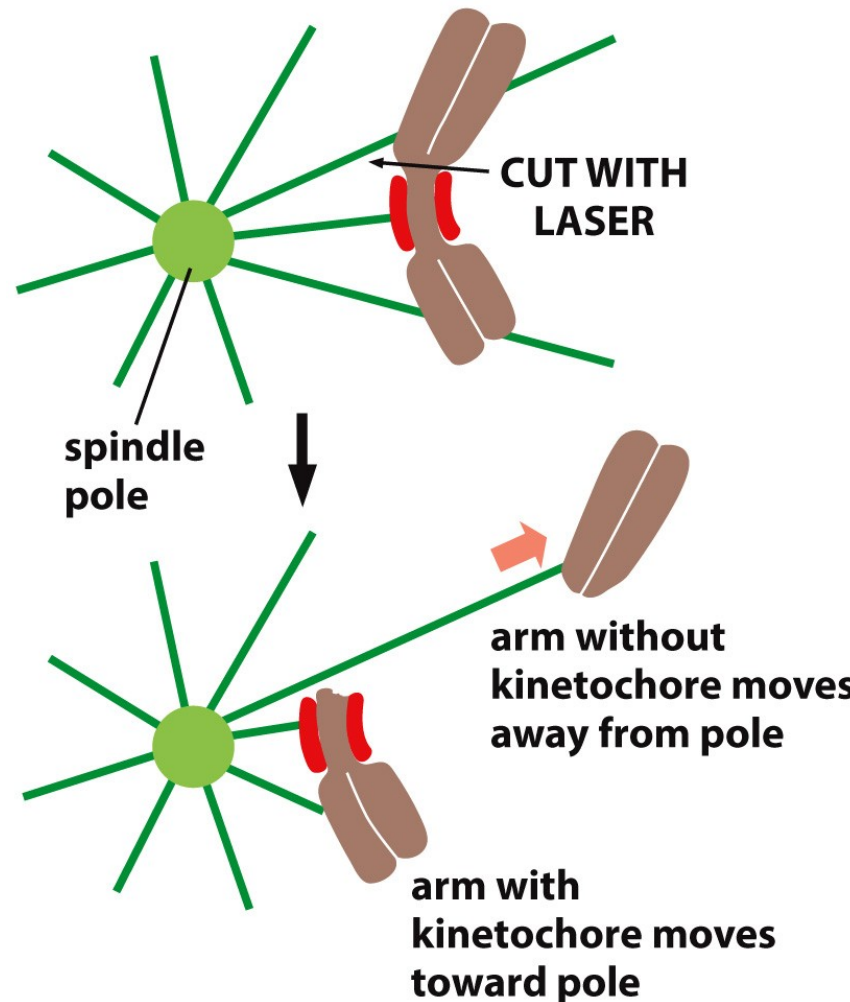


Figure 17-36a Molecular Biology of the Cell 6e (© Garland Science 2015)

# Mechanika buněčného dělení

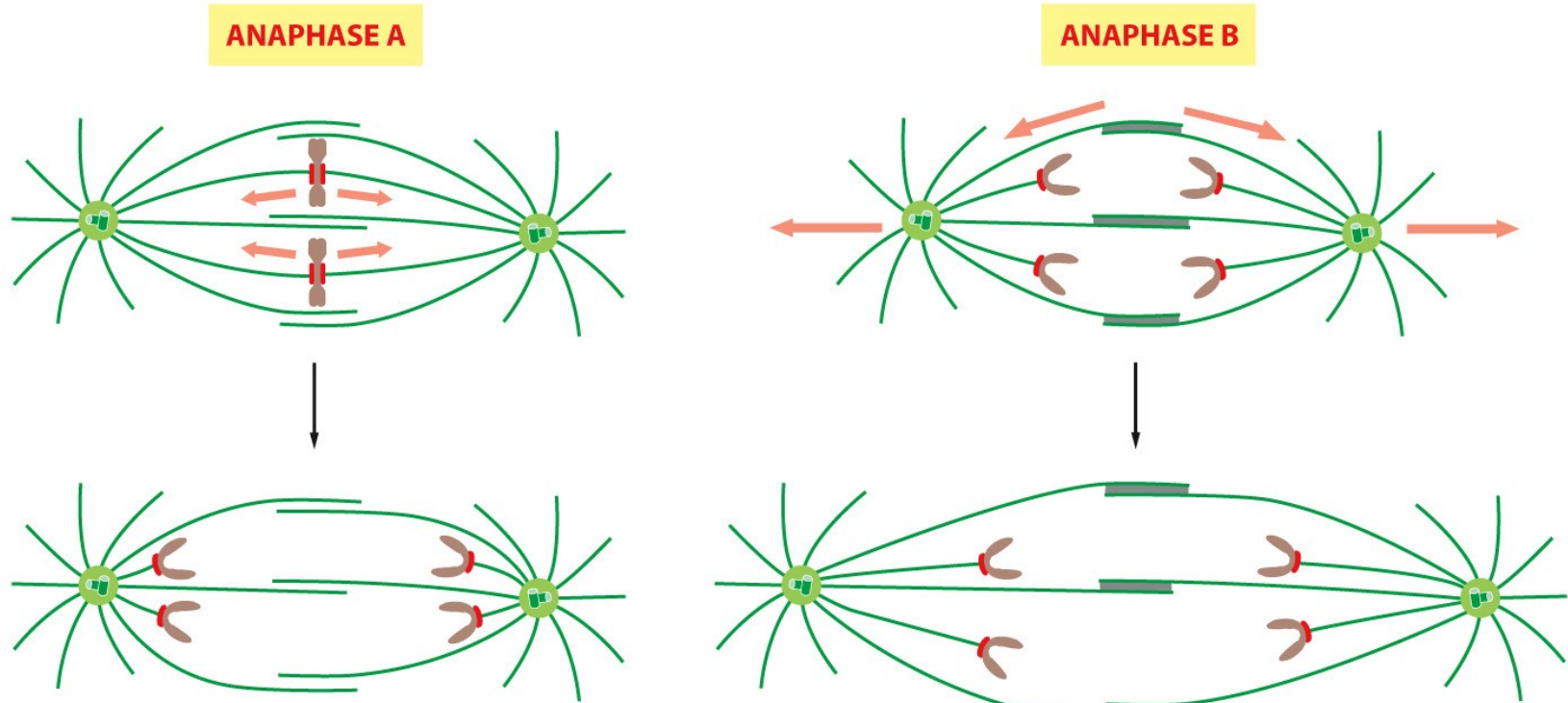


Figure 17-40 Molecular Biology of the Cell 6e (© Garland Science 2015)

# Mechanika buněčného dělení



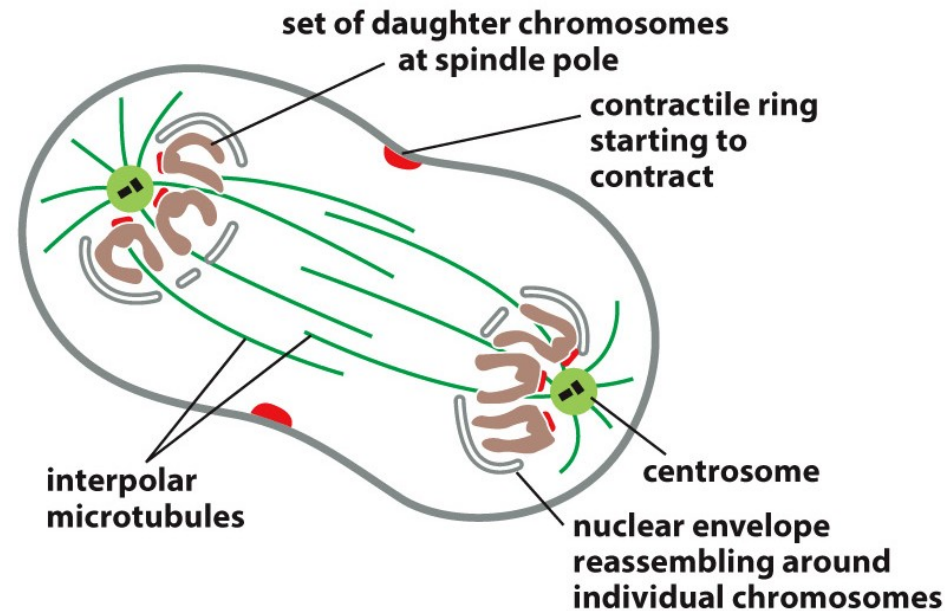
(A)



(B)

# Mechanika buněčného dělení

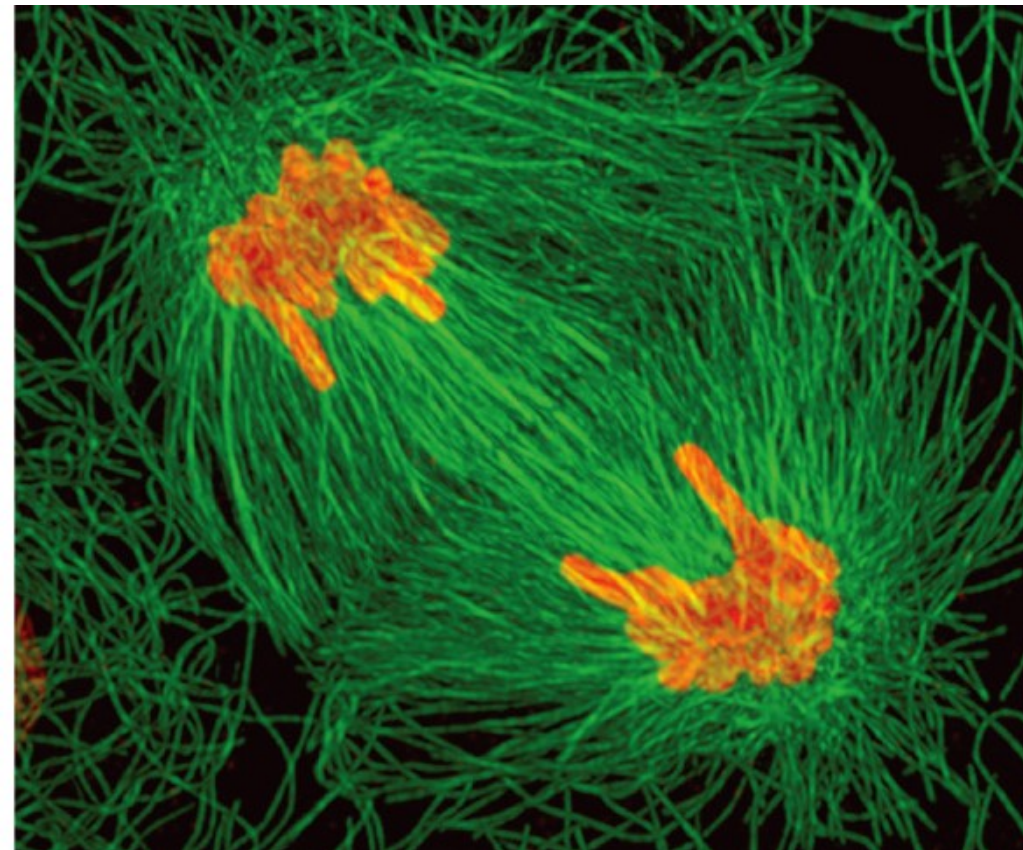
## 5 TELOFÁZE



- ▶ dvě sady dceřinných chromozomů se dostávají k pólům dělicího vřeténka, dekondenzují a kolem každé sady se vytváří nová jaderná membrána
- ▶ v buňce se tak nacházejí dvě jádra, což značí, že se buňka nachází v závěrečné fázi mitózy
- ▶ začíná se vytvářet kontraktilelní prstenec

## Mechanika buněčného dělení

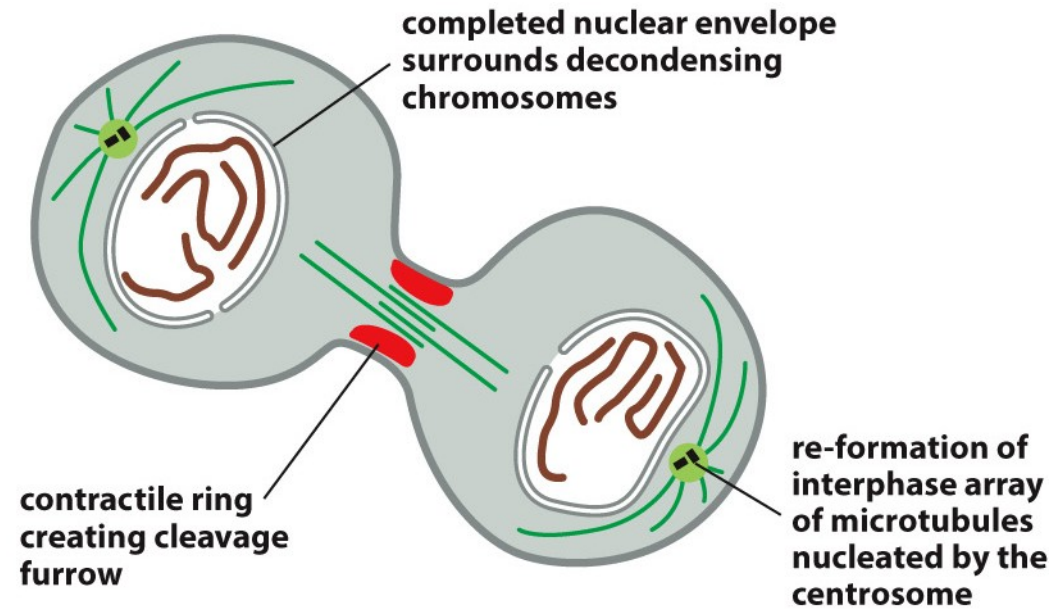
### 5 TELOFÁZE



► chromozomy červené,  
mikrotubuly zelené

# Mechanika buněčného dělení

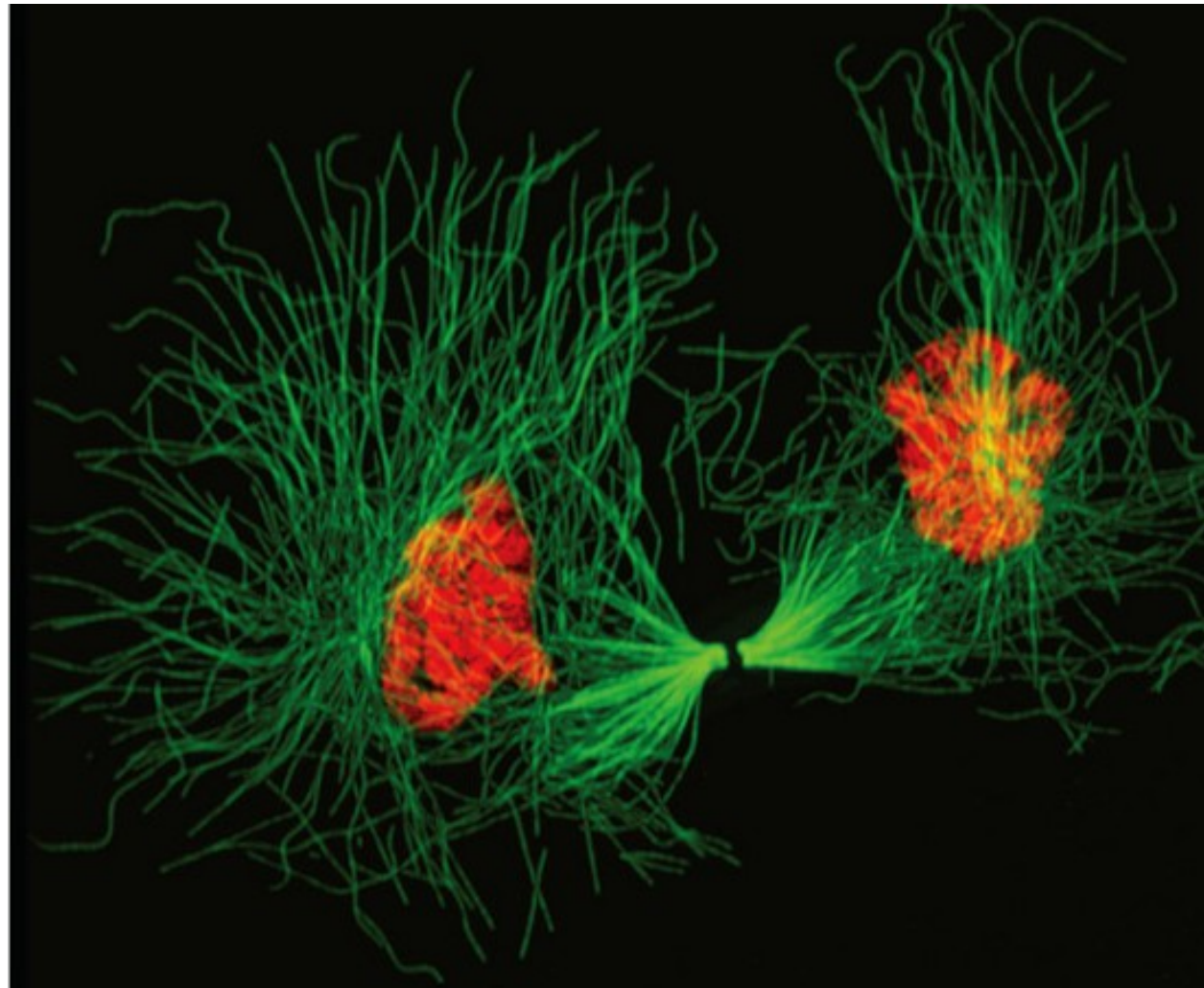
## 6 CYTOKINEZE



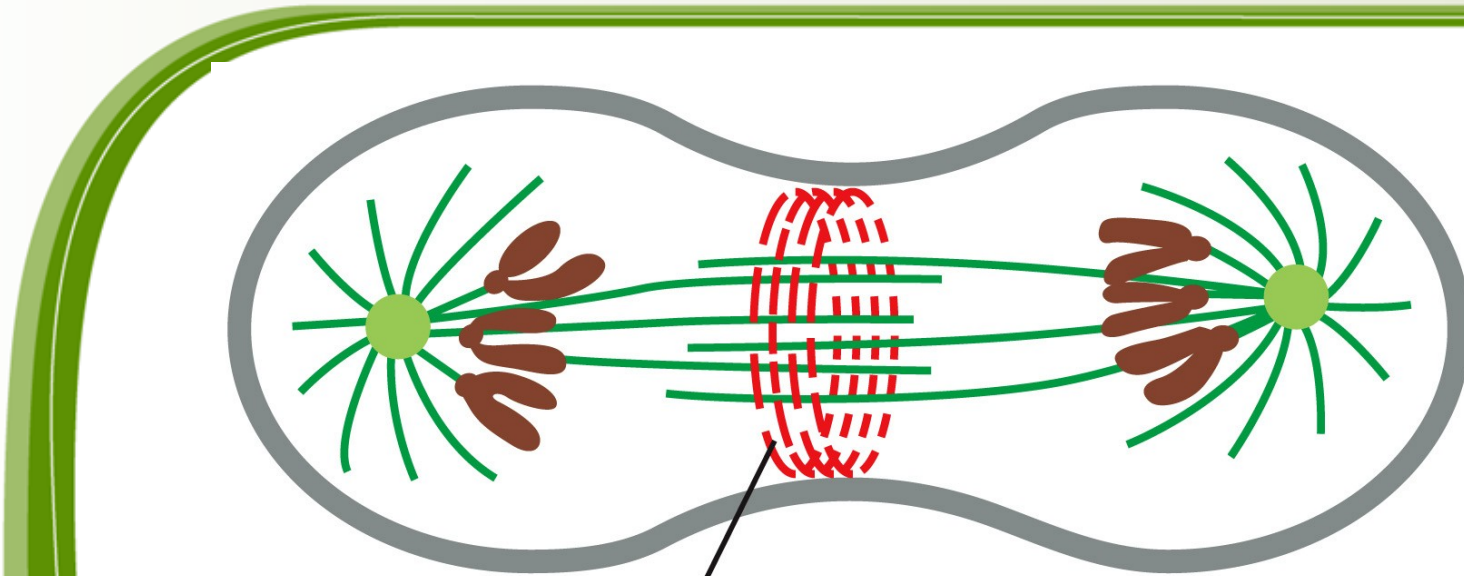
- kontraktilní prstenec aktinových a myosinových vláken stahuje buňku, rozděluje cytoplazmu a vytváří dvě dceřinné buňky s vlastním jádrem

## Mechanika buněčného dělení

### 6 CYTOKINEZE



## Mechanika buněčného dělení



**actin and myosin filaments of  
the contractile ring**

Figure 17-41a Molecular Biology of the Cell 6e (© Garland Science 2015)

# Mechanika buněčného dělení

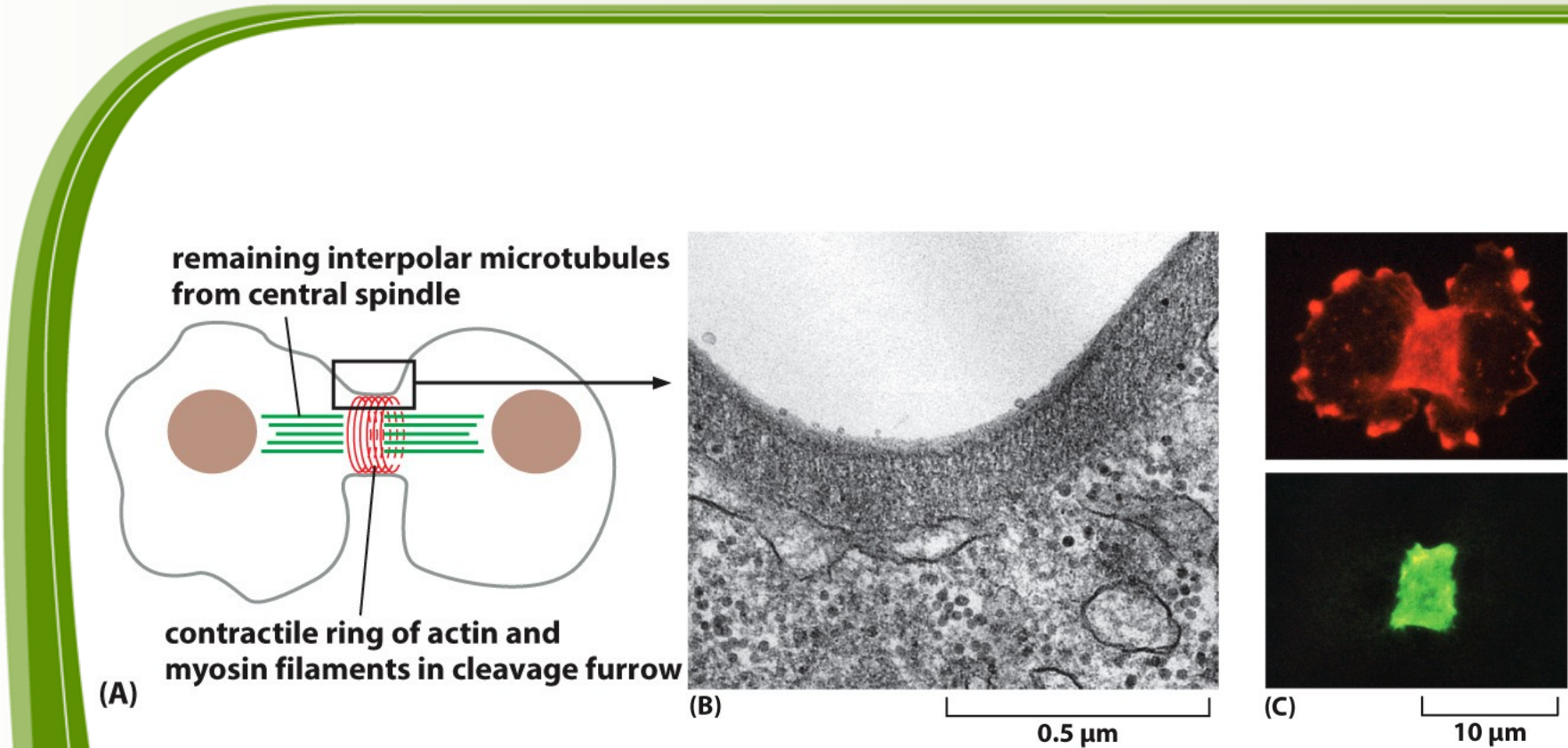


Figure 17-42 Molecular Biology of the Cell 6e (© Garland Science 2015)

# Mechanika buněčného dělení

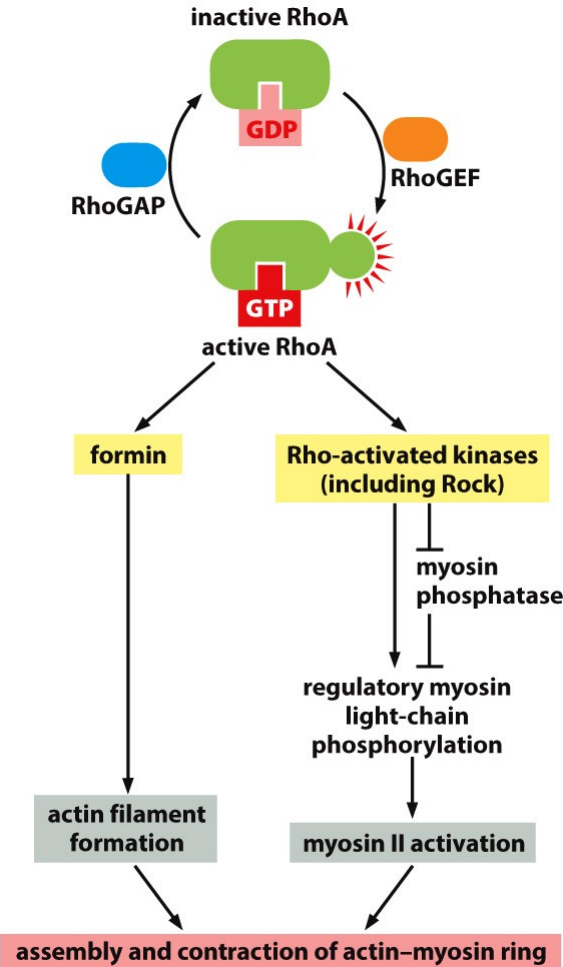


Figure 17-44 Molecular Biology of the Cell 6e (© Garland Science 2015)



<https://doi.org/10.1038/s41467-021-24474-1> OPEN

Anillin propels myosin-independent constriction of actin rings

Ondřej Kučera<sup>1,5</sup>, Valerie Siahaan<sup>1</sup>, Daniel Janda<sup>1</sup>, Sietske H. Dijkstra<sup>1</sup>, Eliška Pilátová<sup>1</sup>, Eva Zatecká<sup>1</sup>, Stefan Diez<sup>2,3,4</sup>, Marcus Braun<sup>1</sup> & Zdenek Lansky<sup>1</sup><sup>✉</sup>

# Mechanika buněčného dělení

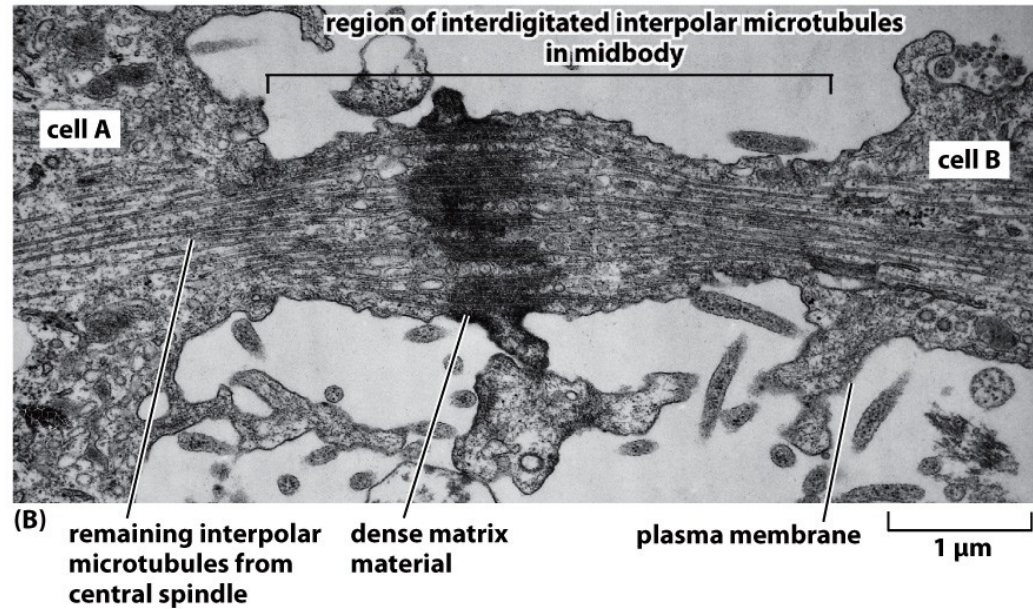
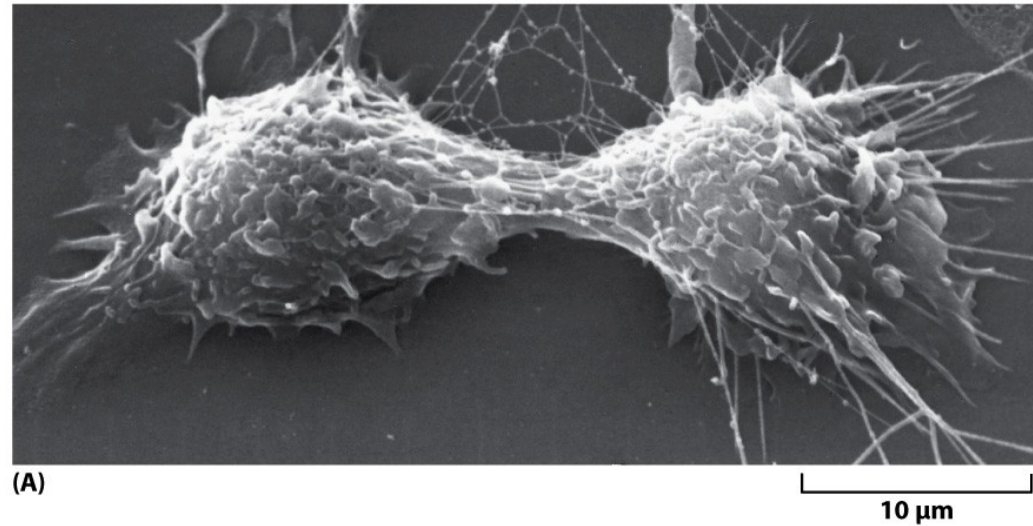


Figure 17-43 Molecular Biology of the Cell 6e (© Garland Science 2015)